

Ruimtevaart: fysische grondslagen



Johan Bleeker

2015

Overzicht

	pag.
○ Transport naar de ruimte	2
○ Ruimteplatformen	9
○ Payloads	22
○ Functionele opbouw van een ruimtevaartuig	27
○ Voortstuwingprincipes	34
○ Astrodynamica	62
○ Expeditie Mars	84
○ Standregeling	98
○ Energieopwekking en Distributie	154
○ Operatie en Exploitatie	172

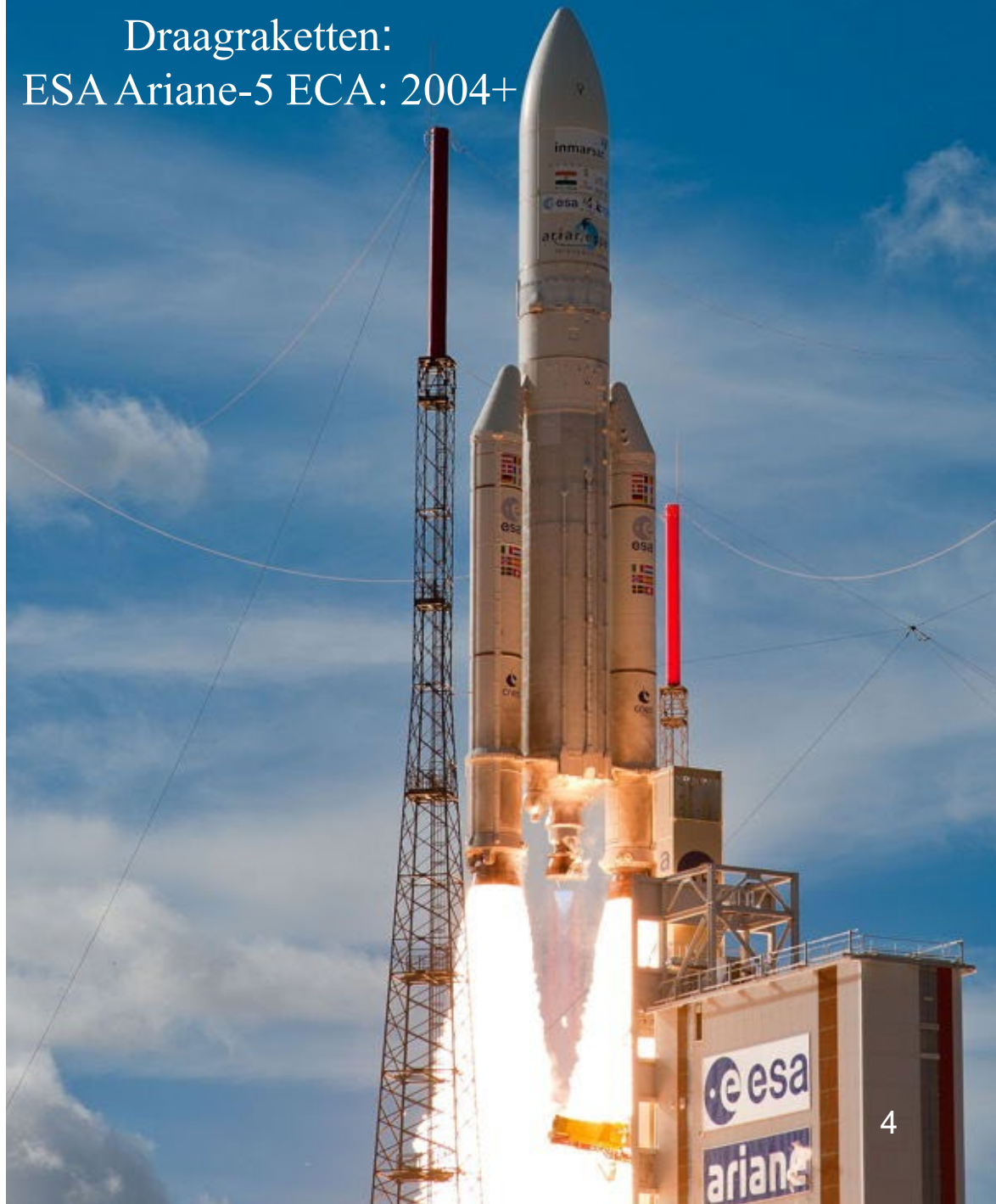
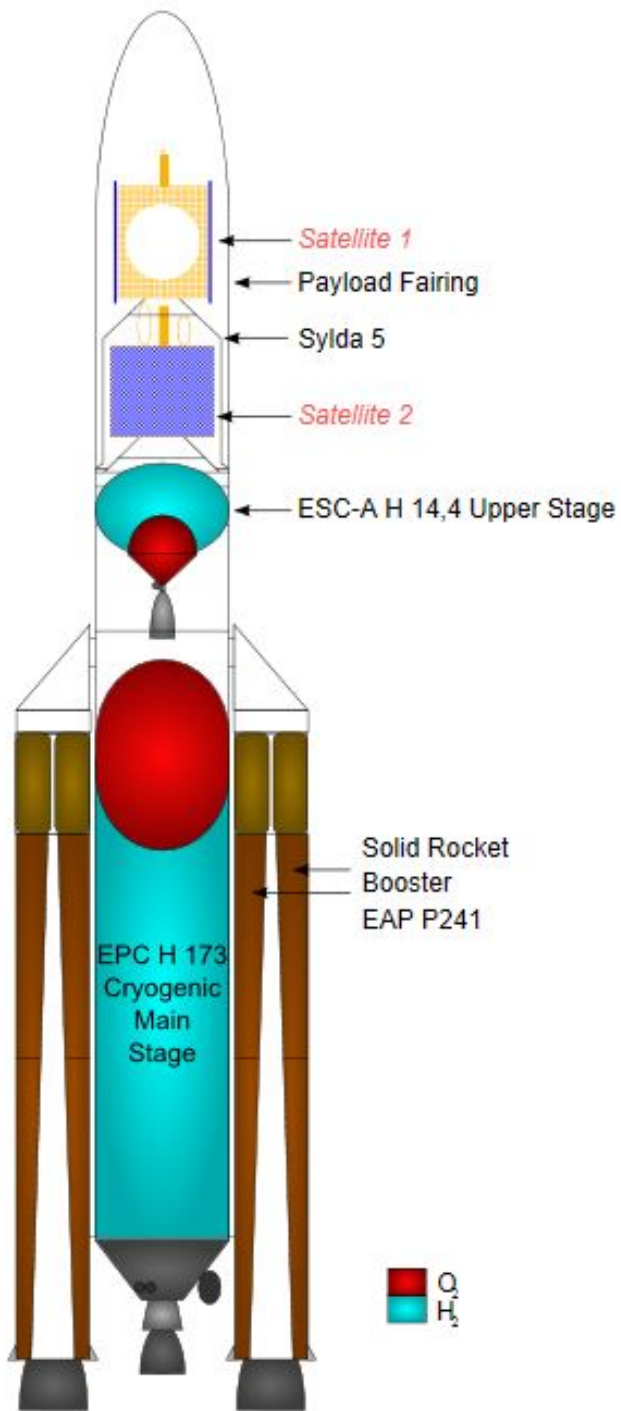
Transport naar de Ruimte

- Stratosferische ballonnen
- Sondeer-/Draagraketten
- Ruimtependels (bemande ruimtevaart)

A large, dark, teardrop-shaped polyethylene stratospheric balloon is shown being inflated against a sunset sky. The balloon is the central focus, with its material appearing as a series of vertical ridges. Two ropes are attached to the sides of the balloon, extending downwards. The sky is a mix of blue, orange, and yellow, with scattered clouds. In the foreground, the silhouettes of trees and a structure are visible against the bright horizon where the sun is setting.

Polyethyleen stratosferische ballon:
> 40 km hoogte

Draagkraketen: ESA Ariane-5 ECA: 2004+



Lancering VEGA-1 13 feb. 2012



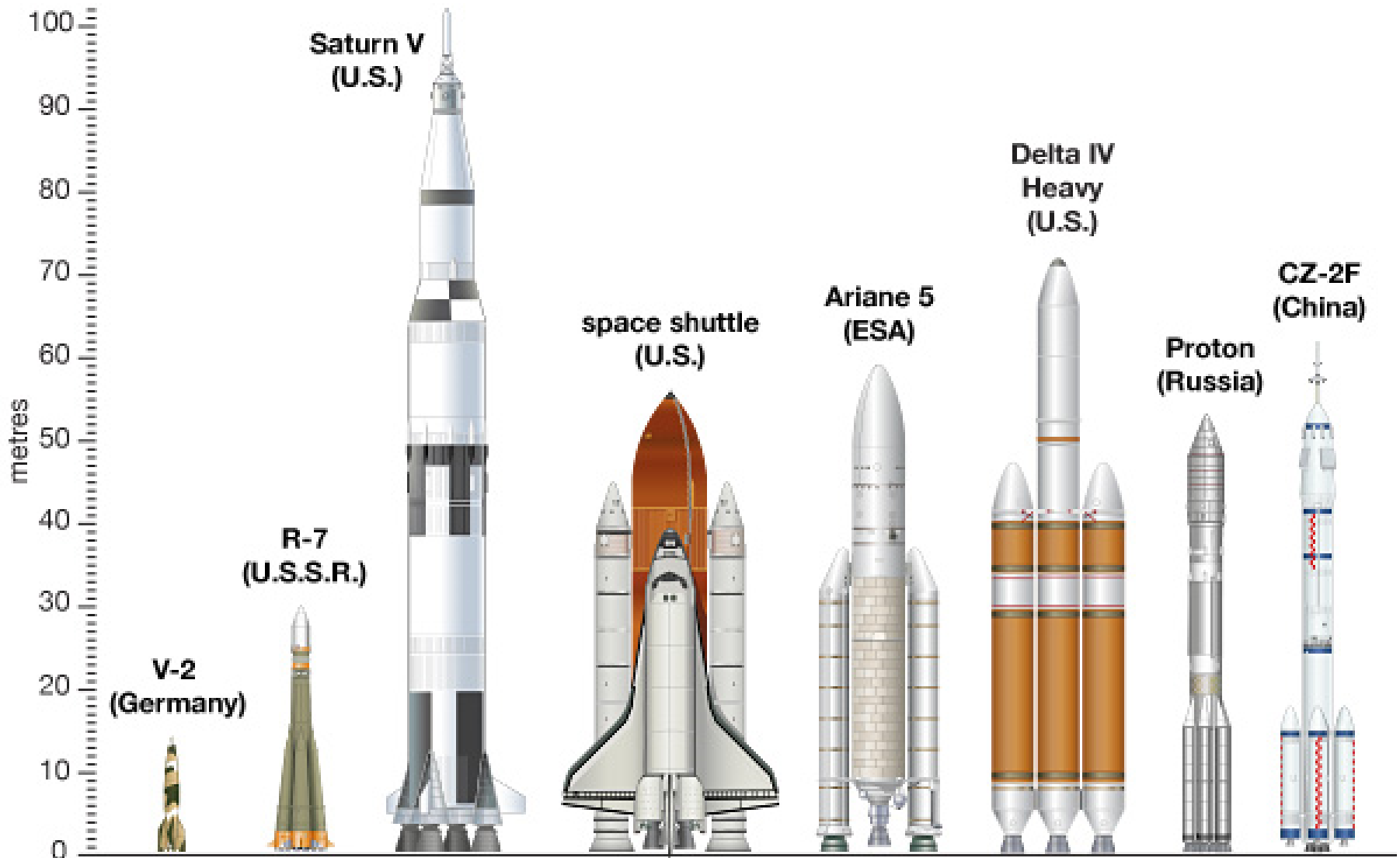


Soyuz-TMA, lift off at Baikonur to ISS

Lift-off Space Shuttle Discovery to ISS



NASA's "man-rated" launchers for low-orbit and lunar missions:
Shuttle 24.4 ton in low orbit, Saturn V 118 ton in low orbit



Ruimteplatformen

- Kunstmaan
- Ruimtesonde
- **Maan-/Planeetlanders,**
- **Ruimtestation**

USSR



Sputnik (medereiziger)

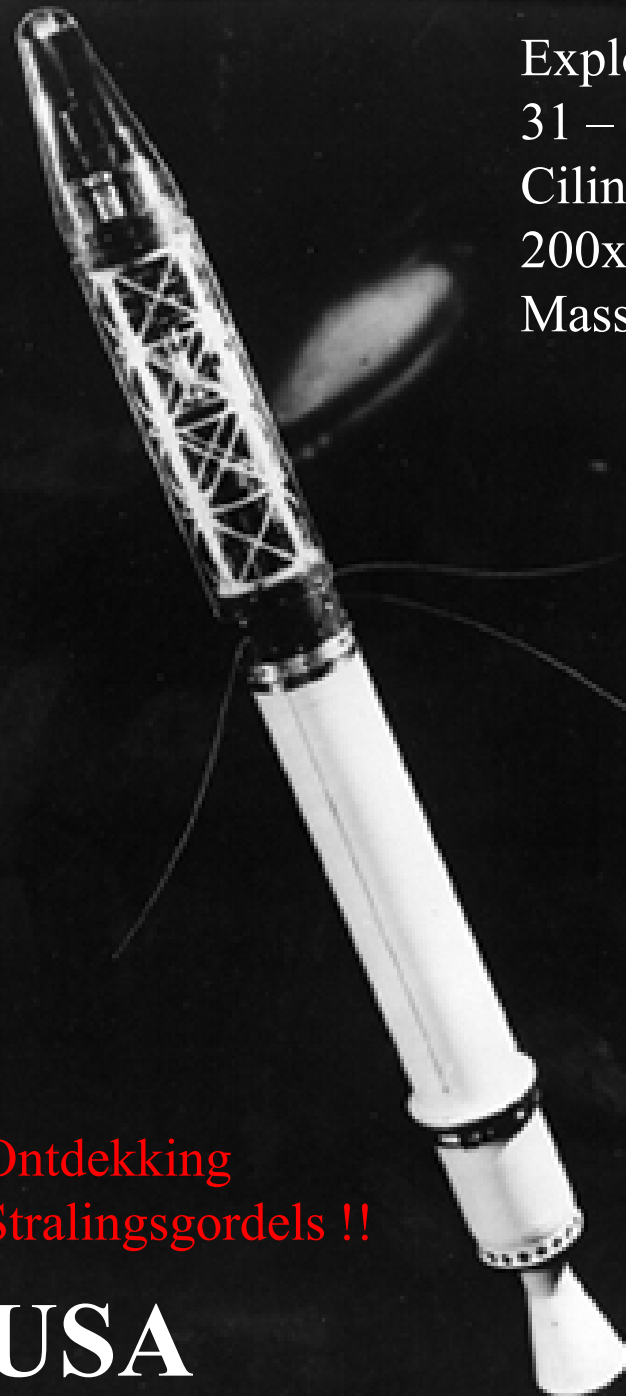
04 - 10 - 1957

Bolvormig:

Diameter = 58 cm

Massa = 84 kg

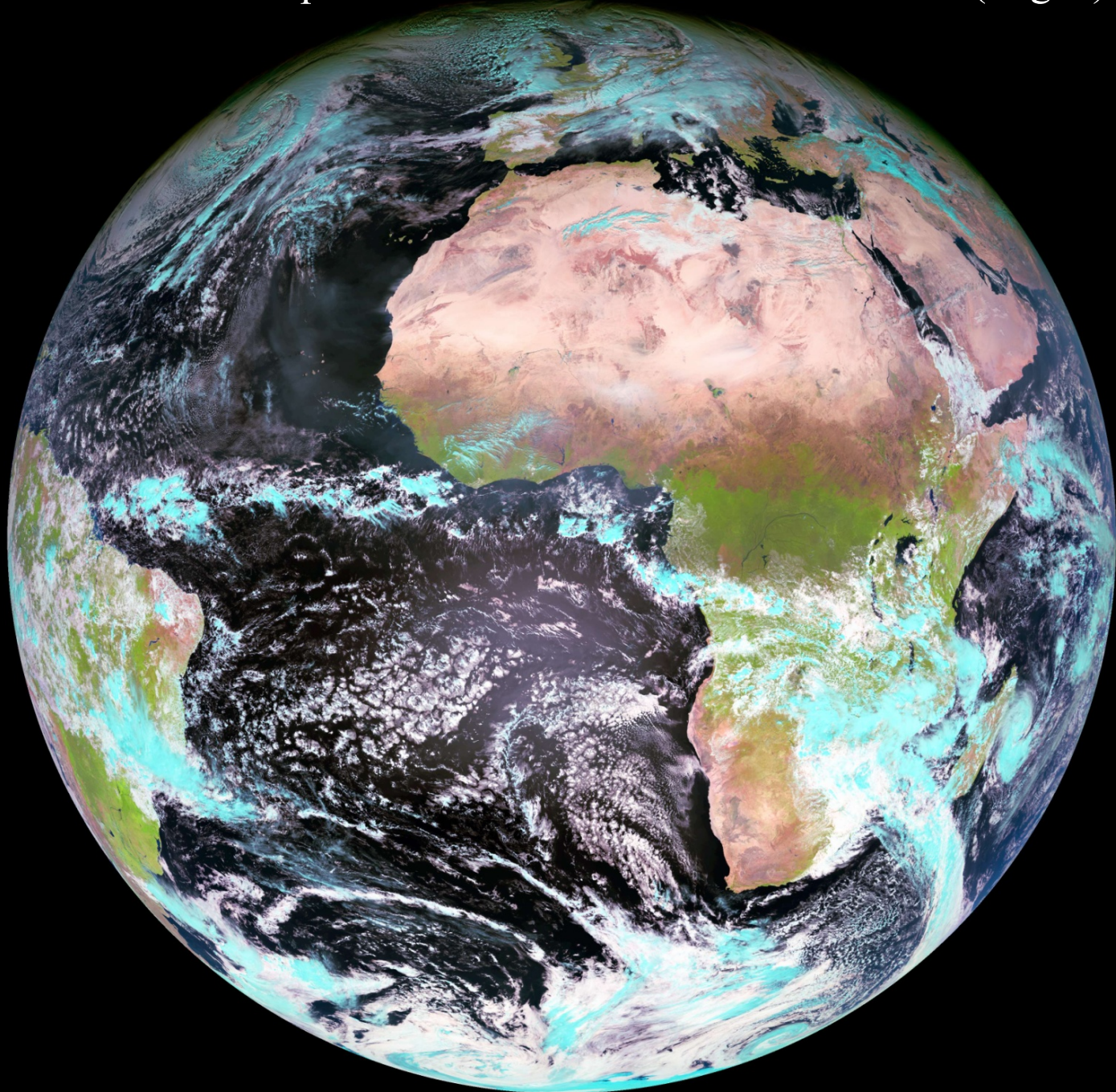
Explorer 1
31 - 01 - 1958
Cilinder:
200x15 cm
Massa = 14 kg



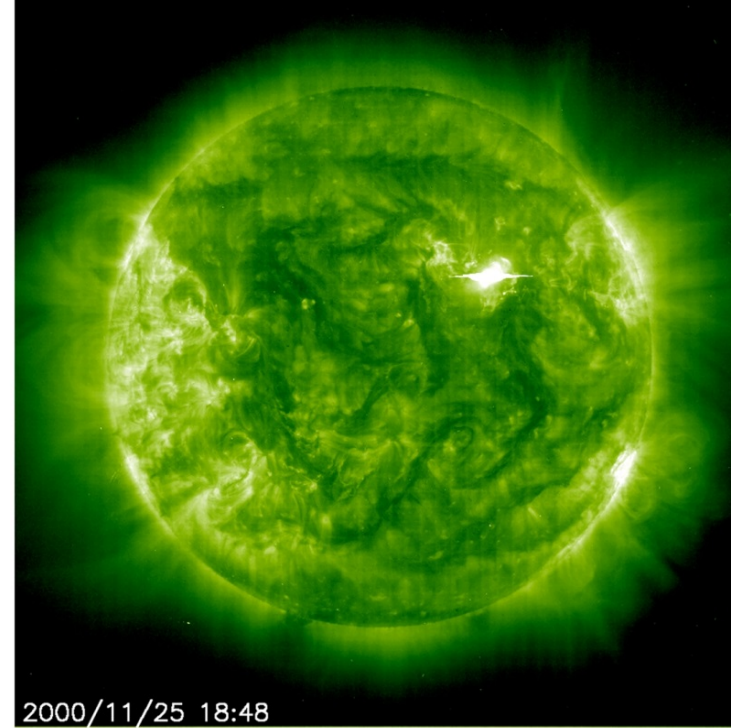
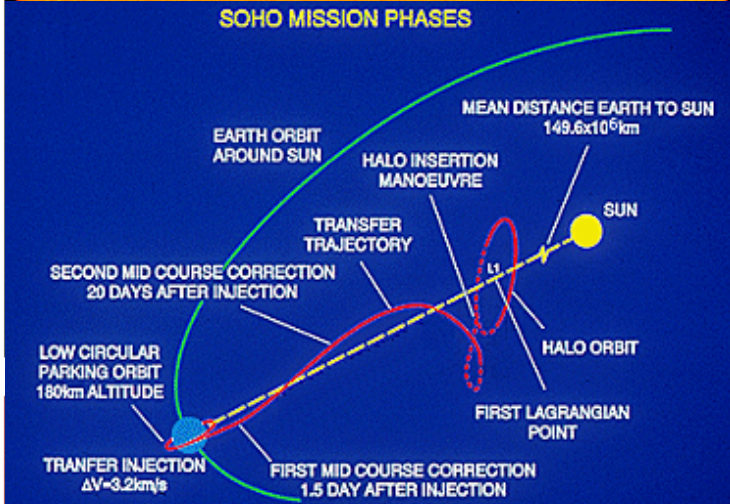
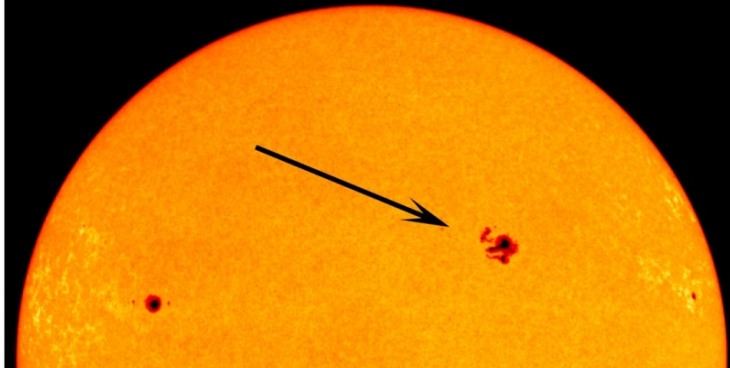
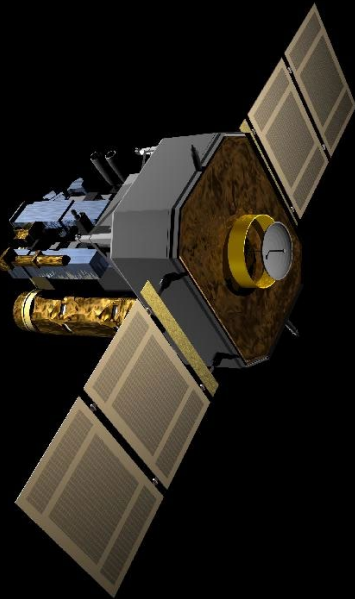
Ontdekking
Stralingsgordels !!

USA

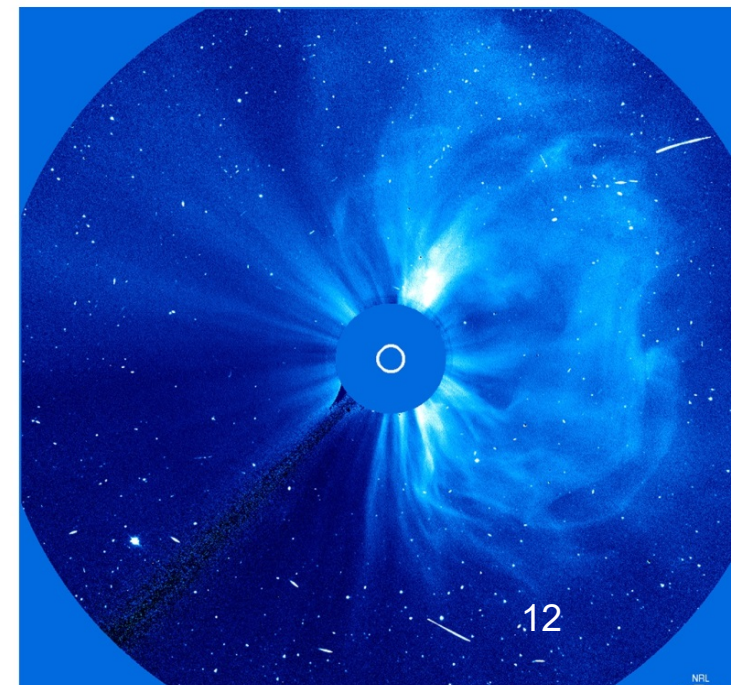
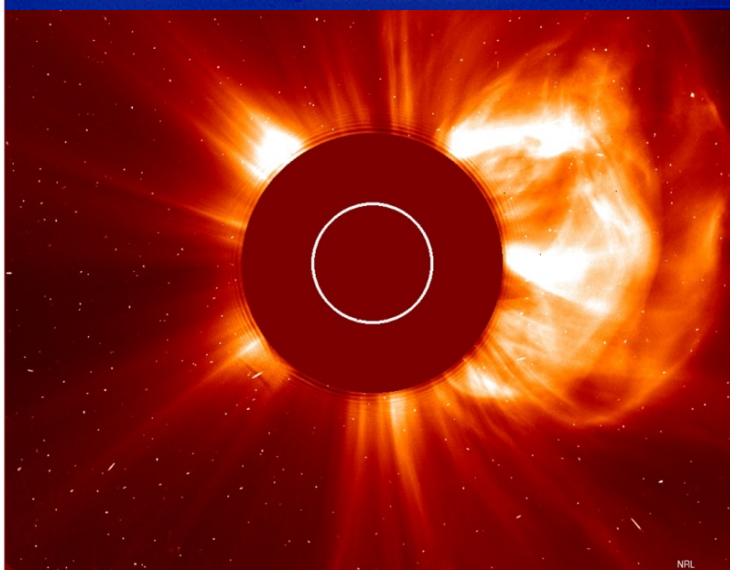
Geostationaire platformen: weersatelliet METEOSAT (2^e gen)

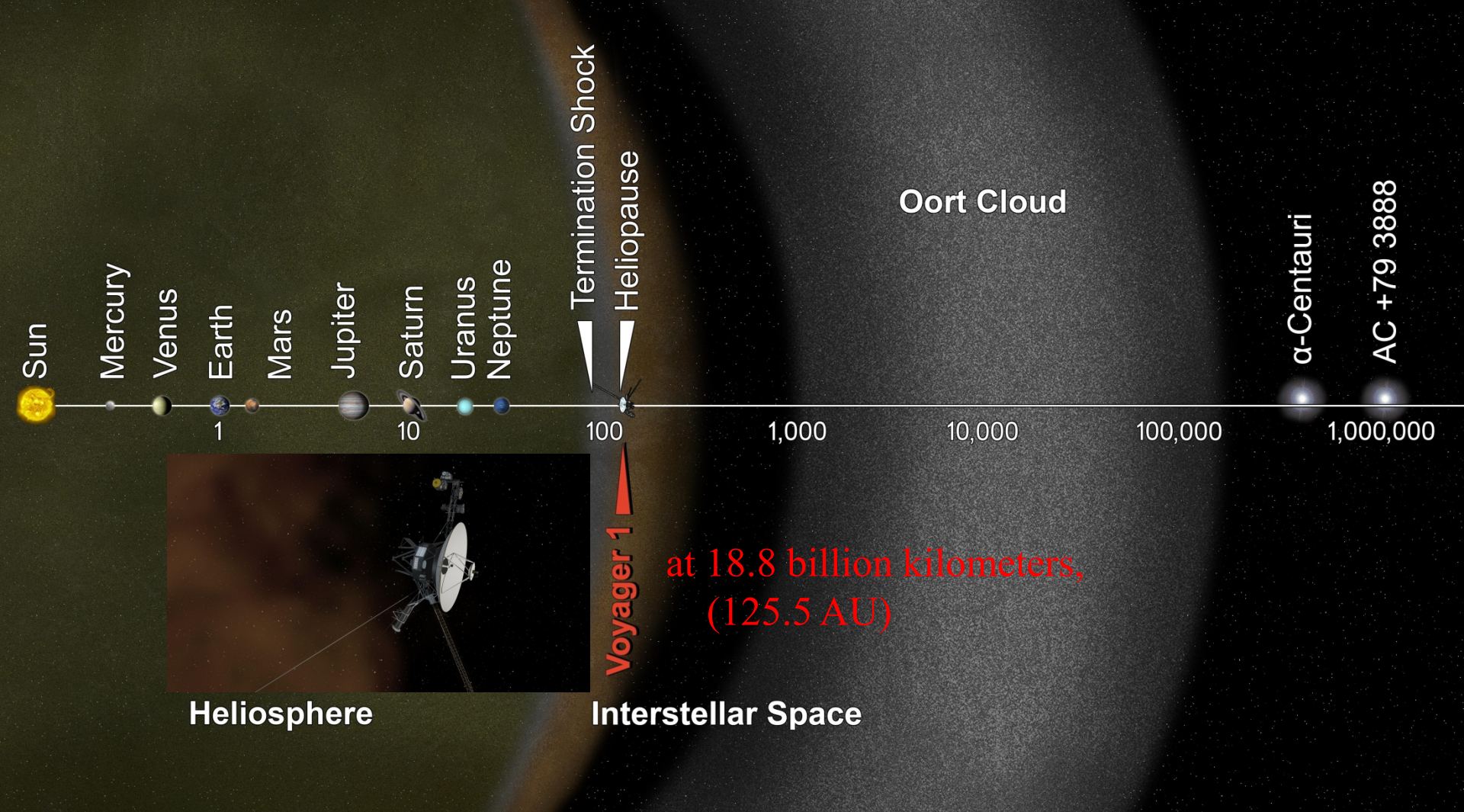


Solar and Heliospheric Observatory (SOHO)



Development of Sun spot into CME





Voyager 1 at the edge of the solar system crossing the heliopause

Landers en “Rovers”

- Maan: **Lunar Excursion Module**
- Mars: **Vikings, Spirit, Opportunity
Phoenix, MSL – Curiosity**
- Saturnus maan Titan: **Huygens**
- Komeet Churyumov-Gerasimenko: **Philae**



MSL-Curiosity panoramic view of Mount Sharp during search for "habitable sites" containing embedded (past) microbial life





Huygens Ruimtesonde:
Geland op het oppervlak van de Saturnus-maan TITAN op
14 jan 2005 met overtrekkende schaduw van de parachute.

Philae-lander op de komeet
P67/Churyumov-Gerasimenko

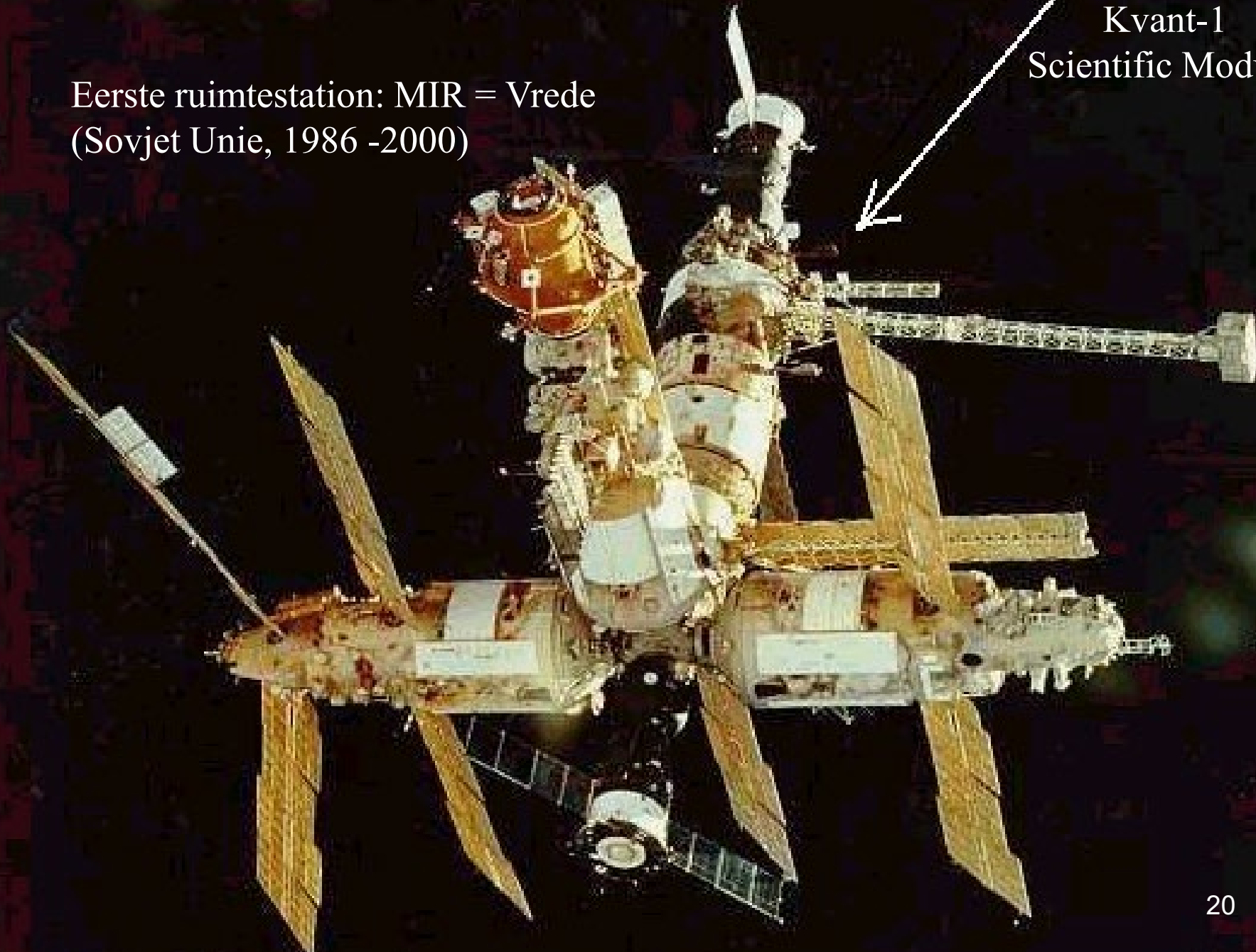


Ruimtestations

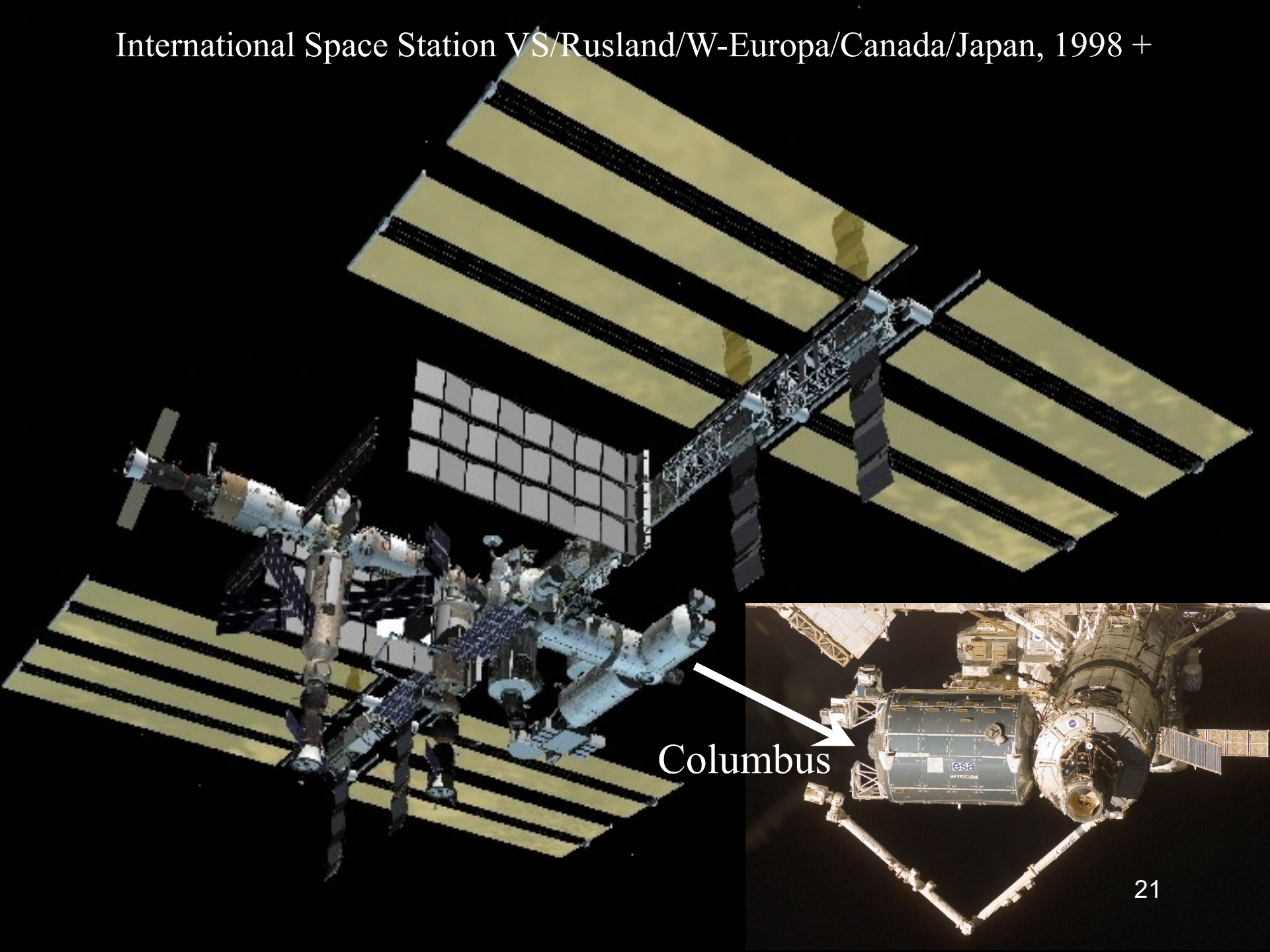
- MIR (USSR)
- International Space Station
(USA, Rusland, West-Europa,
Canada, Japan)

Eerste ruimtestation: MIR = Vrede
(Sovjet Unie, 1986 -2000)

Kvant-1
Scientific Module



International Space Station VS/Rusland/W-Europa/Canada/Japan, 1998 +



Columbus

Nyttige lading (“payload”)

- Sensoren/sensorsystemen
- Robots
- **Mensen**



1997



Service in:

1993

1997

1999

2002

2009

IPSTAR1 (Thaicom4)
Launched by Ariane in
geostationary orbit 2005

97 Transponders on 6.5 ton spacecraft
High speed spot beams for fast internet
service in India, East Asia & Australia



- Functionele opbouw ruimtevaartuig
- Voortstuwingprincipes

Functionele opbouw ruimtevaartuig

- Hoofdelementen
- Payloads
- Subsystemen

Functionele opbouw: hoofdelementen

- Nuttige lading of “Payload”
 - Missie specifieke uitrusting of instrumentarium
- Ruimtevaartuigbus of “Spacecraft Bus”
 - Draagt of bevat de payload en voorziet in alle ondersteunende (“housekeeping”) functies
 - De Payload en de Spacecraft Bus zijn (1) gescheiden modules of zijn (2) als totaliteit geïntegreerd.
- Aanpassingsstuk met draagraket: “Booster Adapter”
 - Vormt de mechanische koppeling tussen raket en vaartuig
- Voortstuwingsmodule of “Propulsion Module”
 - Gebruik: baaninjectie, baancorrectie, snelheidscorrectie, standregeling

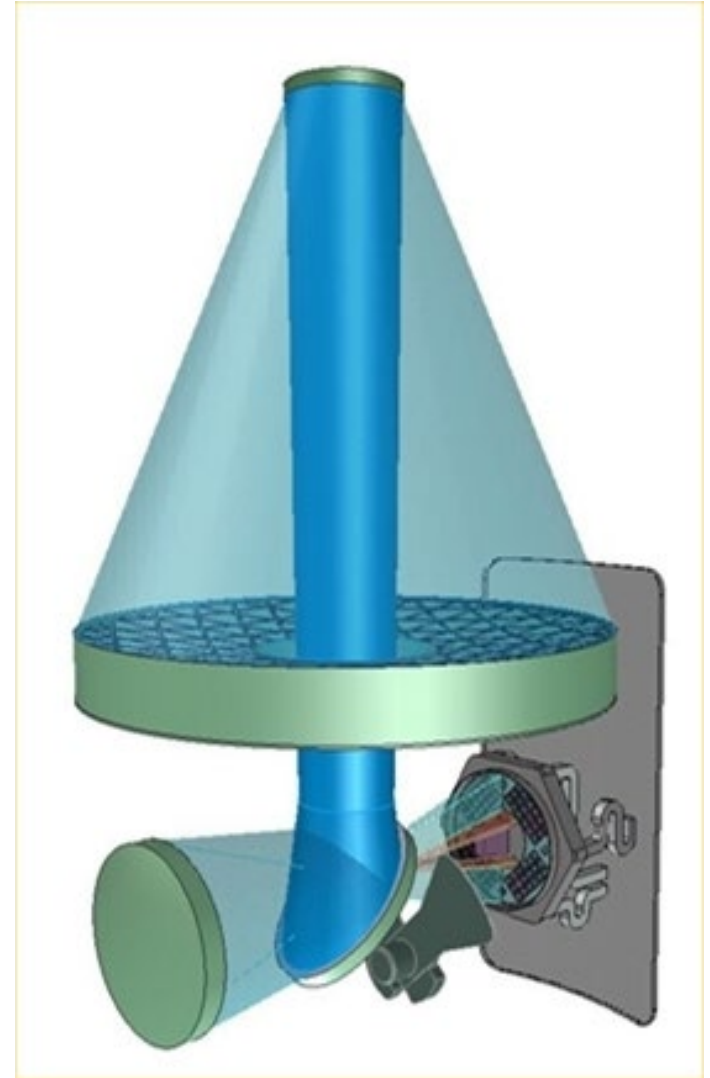
Functionele opbouw: Payload

1. Payload

(gescheiden module of integraal subsysteem)

Vb. Stralingsdetectie:

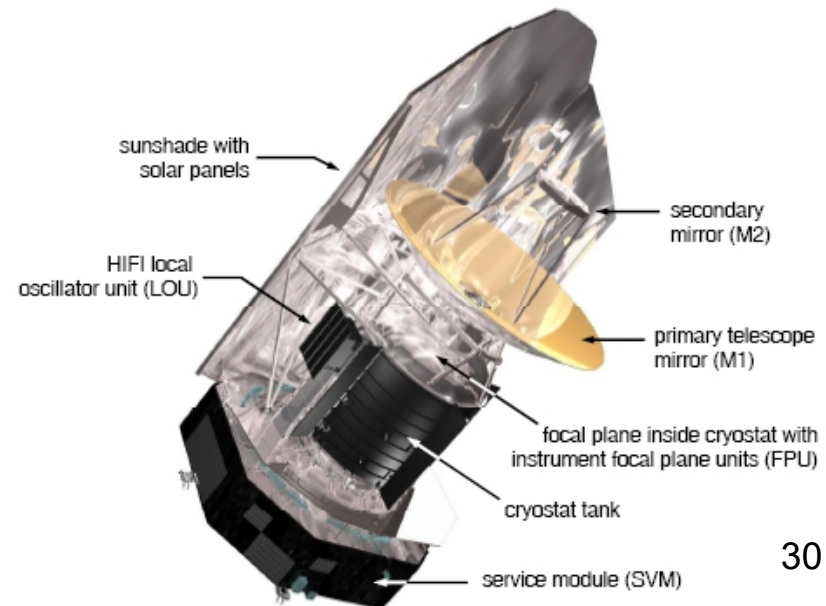
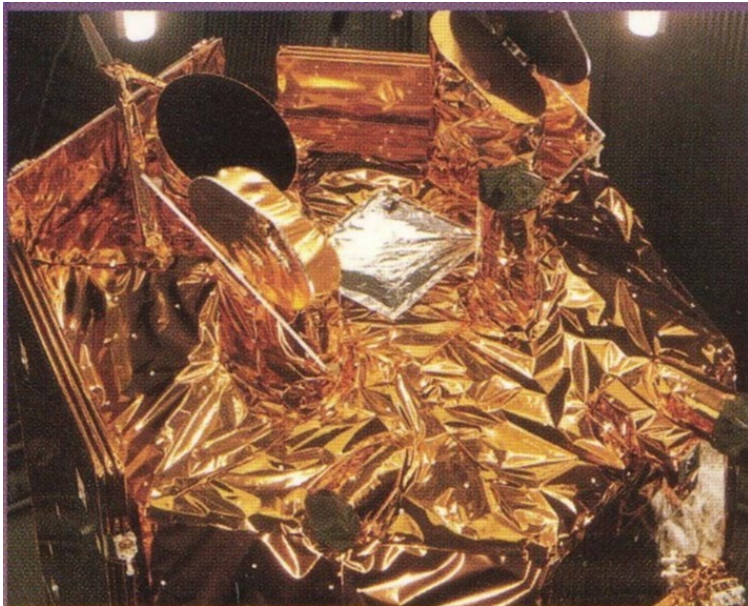
- Antennes
- (Quasi-)optica
- Afscherming
- Filtering/dispersie
- Stralingssensoren



Functionele opbouw: subsystemen

2. Warmtehuishouding en koeling (\downarrow milliKelvins)

- Multilagen
- Coatings
- Actieve en Passieve Koelers:
 - Stralers
 - Cryostaten
 - Gesloten-cyclus koelers
 - Adiabatrische demagnetisatie koelers (ADR)



Functionele opbouw: subsystemen

3. Energieopwekking en distributie

- Brandstofcellen
- Hoog-rendement zonnecellen
- Radio-isotoop aangedreven thermo-elektrische generatoren (RTG's)
- Kernsplijting aangedreven thermo-elektrische generatoren (kernreactoren)

Functionele opbouw: subsystemen

4. Standregeling en –meting

- Gyro's
- Reactiewielen
- Control Moment Gyro's (CMG's)
- Magnetometers
- Zon-/Stersensoren
- Stuurketten
- Gesloten cognitieve systemen (expert systems)

Functionele opbouw: subsystemen

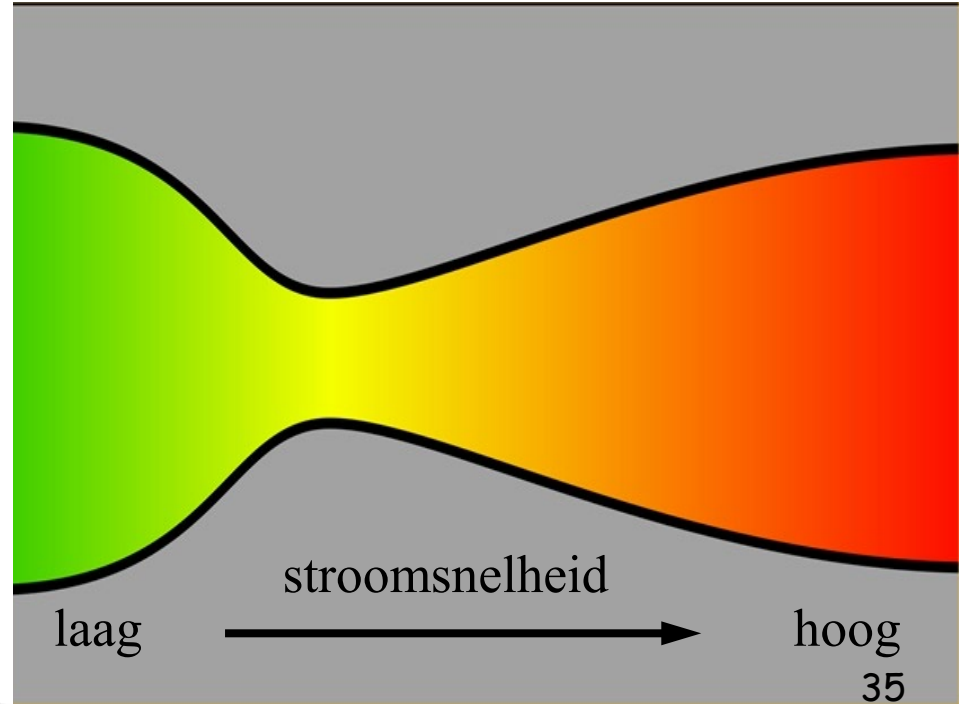
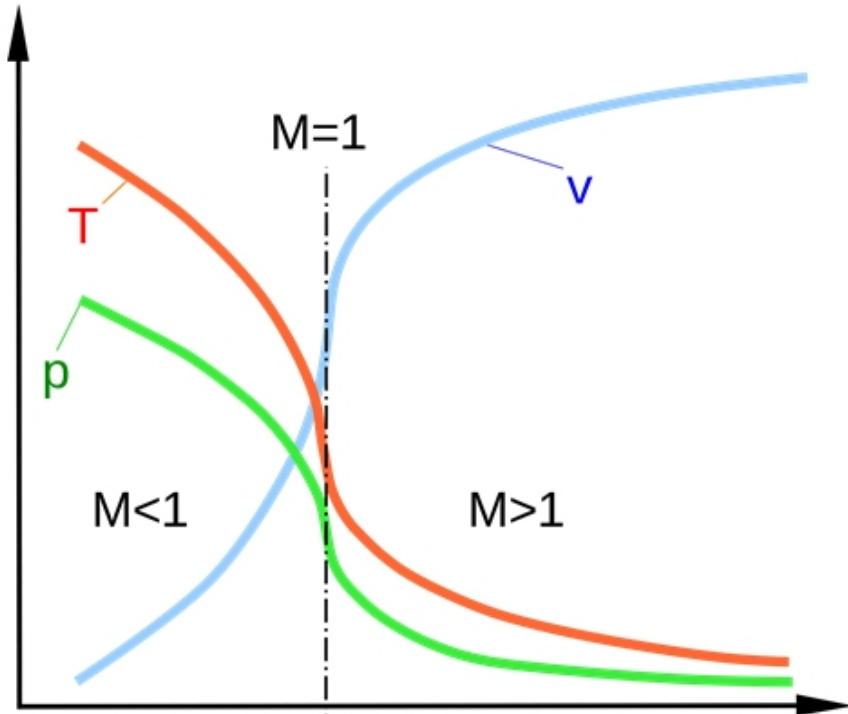
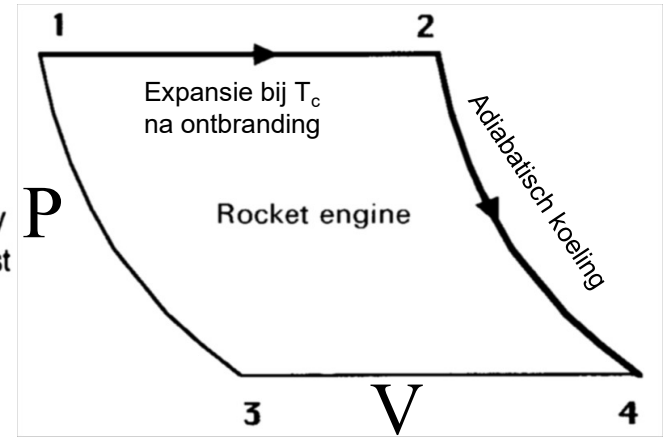
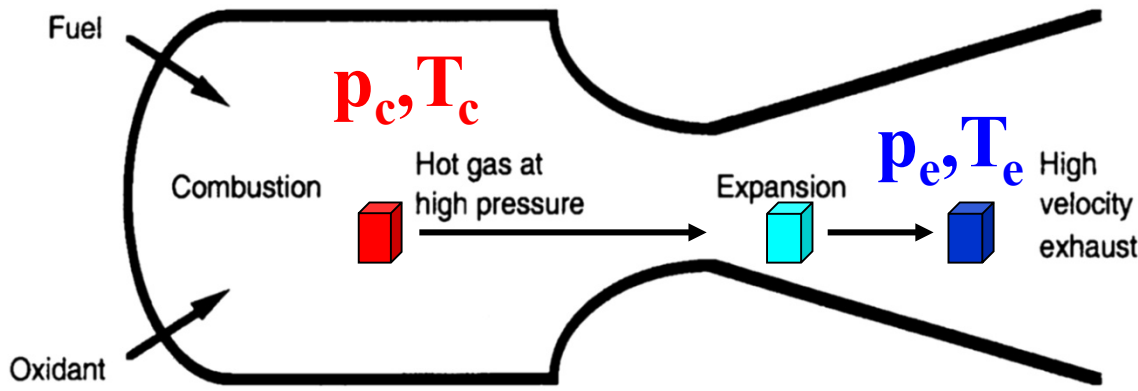
5. Informatieverwerking en –transport

- Commando-opslag en -distributie (input: "uplink" telecommand)
- Data-conditionering (= signaalbewerking)
- Data-compressie
- Data-opslag
- Data-transport (input: "downlink" telemetrie)

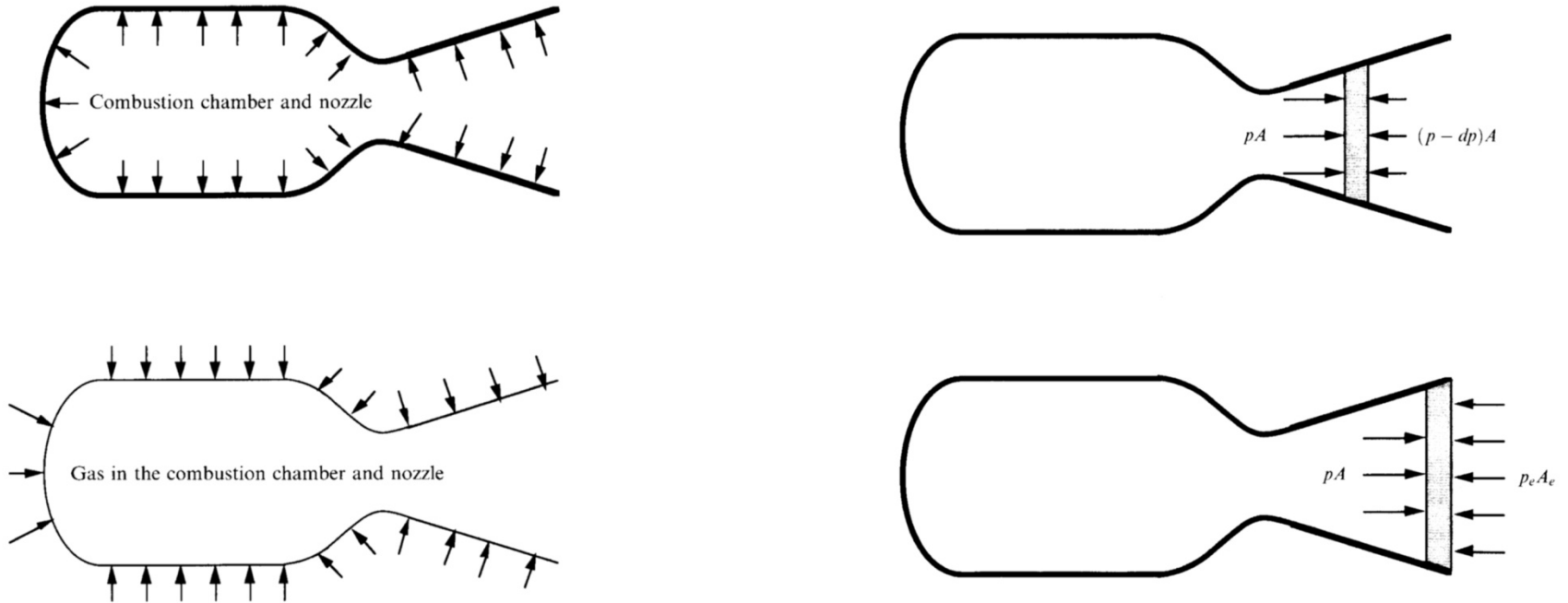
Voortstuwing

- De raketmotor als warmtemotor
- Chemische voortstuwing
- De raketvergelijking
- De brandstofmultiplicator
- Elektrische voortstuwing
- Nucleaire voortstuwing

de raketmotor als warmtemotor: v_{ex}



'Stuwkrachtvergelijking' voor een warmtemotor



Versnellende kracht voor gasstroom:

$$F_{\text{gas}} = \oint p dA - p_e A_e = \dot{M} v_e, \quad \dot{M} = \text{massastroom} \quad v_e = \text{uitstroomsnelheid}$$

Versnellende kracht op de raket:

$$F_{\text{raket}} = \oint p dA - p_a A_e, \quad p_a = \text{atmosferische druk}$$

Substitutie van $\oint p dA$ uit F_{gas} geeft de stuwkrachtvergelijking:

$$F_{\text{raket}} = \dot{M} v_e + A_e (p_e - p_a)$$

Stuwkrachtvergelijking: de uitstroomsnelheid v_e

Enthalpie per massa eenheid $H = U(\text{inwendige energie}) + pV \rightarrow$ een temperatuursverandering ΔT geeft een enthalpieverandering $\Delta H = c_p \Delta T$, waarin c_p de soortelijke warmte is bij constante druk.

De enthalpie van het gas in de verbrandingskamer wordt omgezet in kinetische energie van een massastroom ΔM aan de uitgang van de raketmotor:

$$\Delta H_T = c_p \Delta M (T_c - T_e) = \frac{1}{2} \Delta M v_e^2 \rightarrow$$

$$v_e^2 = 2c_p (T_c - T_e) \rightarrow \text{voor adiabatische expansie geldt:}$$

$$pV^\gamma = C_1 \quad \text{en} \quad T p^{\frac{(1-\gamma)}{\gamma}} = C_2 \quad (\gamma = \text{adiabatische index} = \frac{c_p}{c_v}) \rightarrow$$

$$v_e^2 = \frac{2\gamma}{(\gamma-1)} \frac{RT_c}{\mu} \left[1 - \left(\frac{p_e}{p_c} \right)^{\frac{(\gamma-1)}{\gamma}} \right],$$

met $\mu =$ mol. gewicht uitlaatgasstroom en R de universele gasconstante.

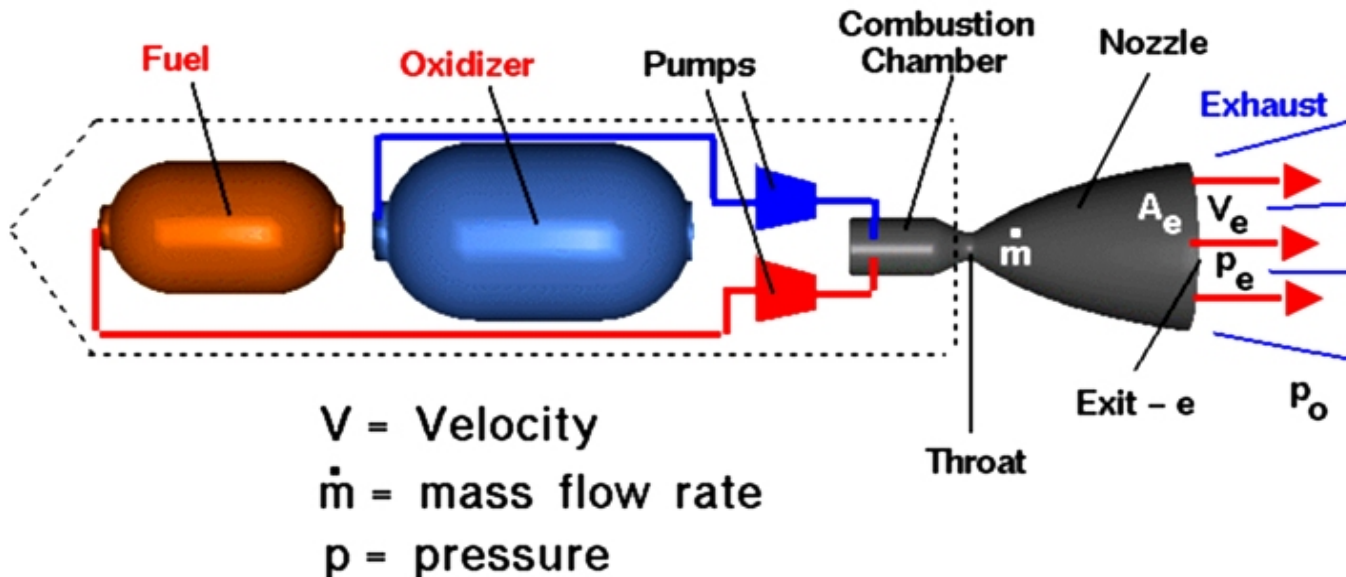
$$v_e^2 = \frac{2\gamma}{(\gamma-1)} \frac{RT_c}{\mu} = \text{maximaal voor } p_e = 0, \quad \gamma \approx \frac{6}{5} !$$

Typische uitstroomsnelheden v_e

- 1,7 – 2,9 km/sec voor "liquid monopropellants"
 - 2,9 – 4,5 km/sec voor "liquid bipropellants"
 - 2,1 – 3,2 km/sec voor "solid propellants"
- ❖ v_e wordt vaak gegeven als "specifieke impuls" (specific impulse):

$$I_{sp} = v_e / g_e \text{ (sec)}, \quad g_e = 9,8 \text{ m/sec}^2$$

Liquid bipropellant raketmotor: Space Shuttle Main Engine



Stuwkrachtvergelijking: de massastroom \dot{M}

De continuïteitsvergelijking voor de massastroom :

$\dot{M} = \rho v A = \text{constant}$, ρ = dichtheid in een willekeurig punt, v en A : snelheid en doorsnede - oppervlak in dat punt.

De toestandsvergelijkingen van het stromende gas :

Ideale gaswet : $pV = nRT \rightarrow p = \frac{\rho RT}{\mu} \rightarrow \rho_c = p_c \frac{\mu}{RT}$, n = aantal mol's gas (SI : kilogrammoleculen)

Adiabatische gaswet $pV^\gamma = \text{constant} \rightarrow \frac{\rho}{\rho_c} = \left(\frac{p}{p_c}\right)^{\frac{1}{\gamma}} \rightarrow \rho = \frac{\mu p_c}{RT_c} \left(\frac{p}{p_c}\right)^{\frac{1}{\gamma}}$

Invullen van ρ en v (zie formule uitstroomsnelheid) in de continuïteitsvergelijking levert, na enige manipulatie, voor de massastroom :

$$\dot{M} = p_c A_{\text{throat}} \left\{ \gamma \left(\frac{2}{\gamma+1} \right)^{\frac{(\gamma+1)}{(\gamma-1)}} \frac{\mu}{RT_c} \right\}^{\frac{1}{2}} \Rightarrow \text{invullen in } F_R = v_e \dot{M} + A_e (p_e - p_a)$$

levert de thermodynamische stuwkracht ("thrust") vergelijking van de raketmotor :

$$F_R = p_c A_{\text{throat}} \left\{ \frac{2\gamma^2}{\gamma-1} \left(\frac{2}{\gamma+1} \right)^{\frac{(\gamma+1)}{(\gamma-1)}} \left[1 - \left(\frac{p_e}{p_c} \right)^{\frac{(\gamma-1)}{\gamma}} \right] \right\}^{\frac{1}{2}} + A_e (p_e - p_a)$$

In vacuüm ($p_a = 0$) en $\frac{p_e}{p_c} = 10^{-3} \Rightarrow$ voor de Ariane - 5 Vulcain - 2 motor ($\gamma = 1,2$) :

$A_{\text{throat}} \approx 0,07\text{m}^2$, $p_c = 110\text{bar}$ ($1.1 \times 10^7 \text{Nm}^{-2}$), expansieverhouding $\frac{A_e}{A_{\text{throat}}} \approx 60$

Stuwkracht Vulcain - 2 $\rightarrow F_R \approx 1,4 \text{ MegaNewton} \Leftrightarrow \text{SSME} \approx 2,3 \text{ MegaNewton}$

Betekenis stuwkrachtcoëfficiënt C_F

De stuwkrachtcoëfficiënt wordt gedefinieerd als :

$$C_F = \frac{F_R}{p_c A_{\text{throat}}}$$

C_F is een maat voor het rendement waarmee de "nozzle" energie onttrekt aan het hete gas in de verbrandingskamer, alle parameters kunnen direct experimenteel worden gemeten!

Invullen van de thermodynamische uitdrukking voor F_R geeft :

$$C_F = \left\{ \frac{2\gamma^2}{\gamma-1} \left(\frac{2}{\gamma+1} \right)^{\frac{\gamma+1}{\gamma-1}} \left[1 - \left(\frac{p_e}{p_c} \right)^{\frac{\gamma-1}{\gamma}} \right] \right\}^{\frac{1}{2}} + \frac{A_e}{A_{\text{throat}}} \left(\frac{p_e}{p_c} - \frac{p_a}{p_c} \right)$$

In vacuum ($p_a = 0$) en met een perfecte "nozzle" ($p_e = 0$) :

$$C_F = \left\{ \frac{2\gamma^2}{\gamma-1} \left(\frac{2}{\gamma+1} \right)^{\frac{\gamma+1}{\gamma-1}} \right\}^{\frac{1}{2}}, \text{ voor } \gamma = 1,2 \text{ volgt } C_F = 2,25$$

Zonder nozzle is er nog steeds stuwkracht, de uitgangsdruk p_e is dan p_{throat} en het uitgangsooppervlak A_{throat} , voor de stuwkrachtcoëfficiënt volgt dan $C_F = 1,24$.

Zonder nozzle (vb. leeglopende ballon) is de stuwkracht dus bijna een factor 2 lager.

C_F toont eveneens maximale stuwkracht indien $p_e = p_a$.

De karakteristieke snelheid c_k

De karakteristieke snelheid c_k is een maat voor het omzettingsrendement van thermische energie in de verbrandingskamer naar een hoge - snelheidsgasstroom aan de uitgang van de raketmotor en wordt gedefinieerd als :

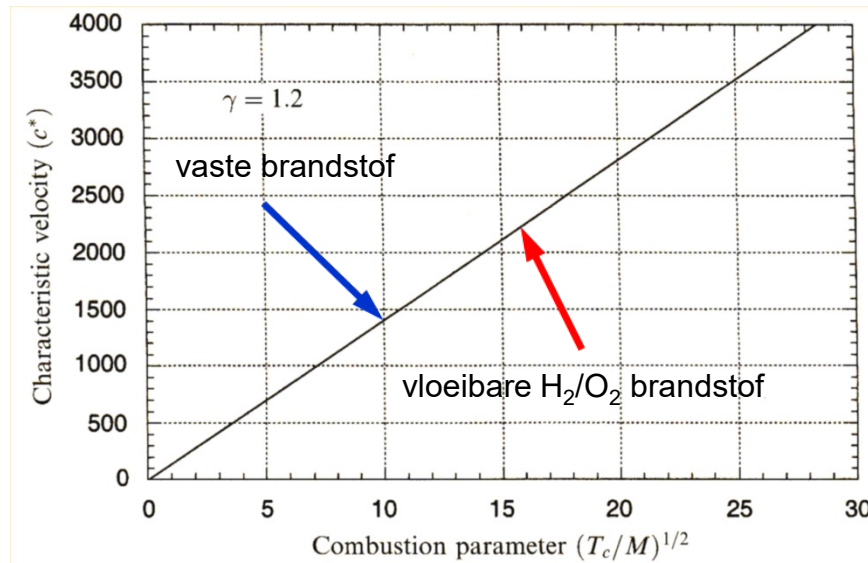
$$c_k = \frac{p_c A_{\text{throat}}}{\dot{M}}, \text{ met de dimensie snelheid (m/sec) en gebaseerd op meetbare grootheden.}$$

Substitutie van de uitdrukking voor de massastroom \dot{M} levert de thermodynamische uitdrukking :

$$c_k = \left\{ \gamma \left(\frac{2}{\gamma + 1} \right)^{\frac{(\gamma+1)}{(\gamma-1)}} \frac{\mu}{RT_c} \right\}^{-\frac{1}{2}}, \text{ evenredig met } \sqrt{T_c/\mu} = \text{de verbrandingsparameter}$$

Combinatie van de uitdrukkingen voor de karakteristieke snelheid c_k en de stuwkrachtparameter C_F :

$$F_R = \dot{M} c_k C_F, \text{ het product van } c_k \text{ en } C_F \text{ geeft de "effectieve" uitstroomsnelheid } u_e = c_k C_F$$



Stuwkracht, Stuwvermogen en Totale Impuls

- Stuwkracht = impuls per eenheid van tijd:

$$F_R = \dot{M}u_e \quad (\text{Newton})$$

\dot{M} = massastroom (kg/sec)

$u_e = c_k C_F = v_e + A_e(p_e - p_a) / \dot{M}$ = effectieve uitstroomsnelheid (m/sec)

- Stuwvermogen = energiestroom (Joule/sec = Watt):

$$P = \frac{1}{2} \dot{M}u_e^2 = \frac{1}{2} F_R u_e \quad (\text{Watt})$$

- Totale Impuls = F_R geïntegreerd over de totale stuwtijd t :

$$I_{\text{tot}} = F_R t \quad (\text{Newton}\cdot\text{seconden})$$

Voortstuwing: de "Raket vergelijking"

Eerste formulering door Konstantin Tsiolkovsky: Integratie van de wet van impulsbehoud:

Raketmotor met effectieve gasuitstroomsnelheid v_e :

$$dI = 0 \rightarrow Mdv + v_e dM = 0 \rightarrow \int_0^{\Delta v} dv = -v_e \int_{M_0}^M \frac{dM}{M},$$

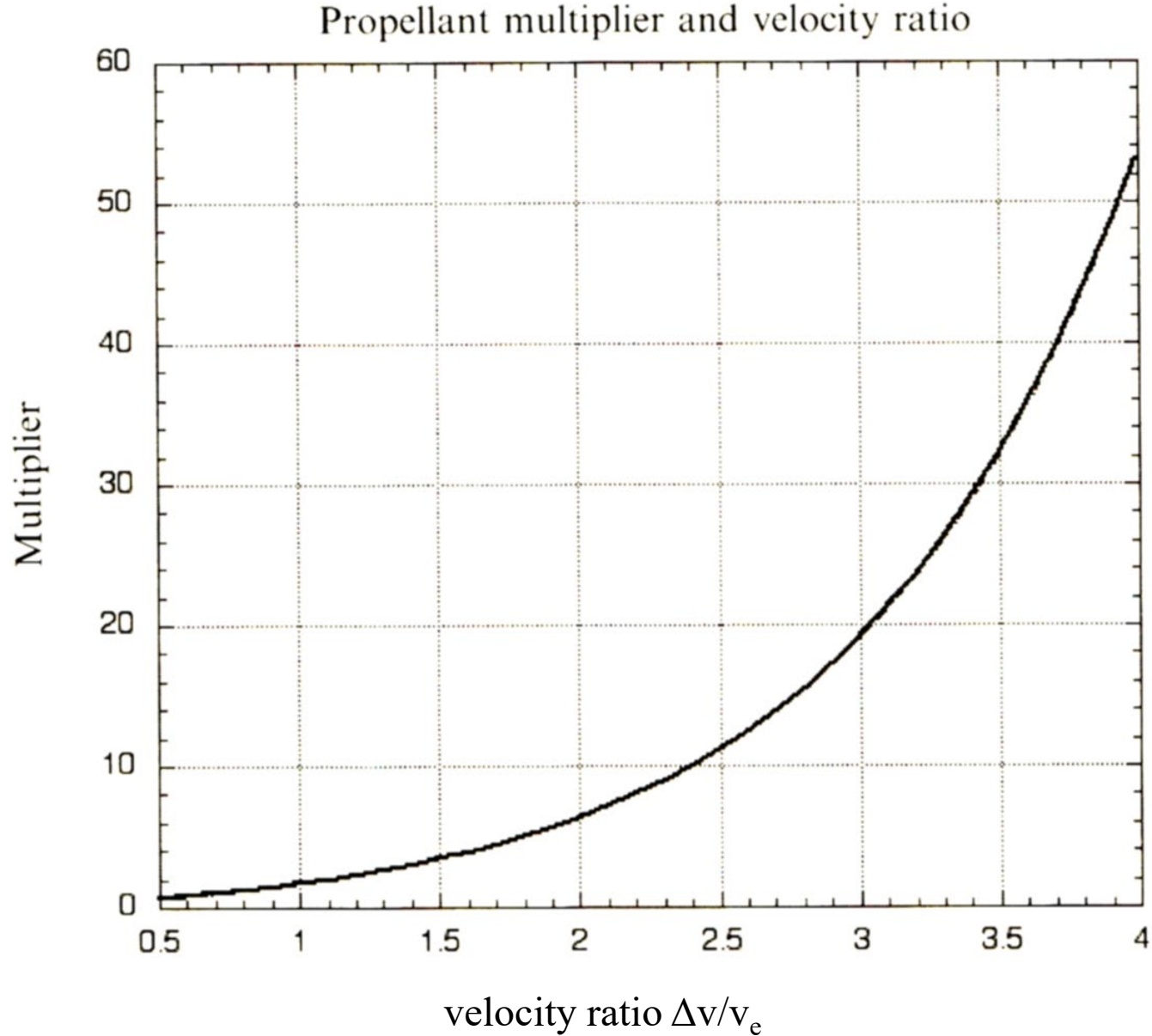
met M_0 de massa bij ontsteking en M de actuele massa \rightarrow

$$\Delta v = v_e \ln \left(\frac{M_0}{M} \right) = \text{elementaire raketvergelijking}$$

Met $M_0 = M_d + M_f$, M_d de "dry mass" en M_f de "fuel mass":

$$\frac{M_f}{M_d} = \text{multiplier} = \exp \left(\frac{\Delta v}{v_e} \right) - 1 \rightarrow \text{sterk afhankelijk van } \frac{\Delta v}{v_e}$$

Voortstuwing: de “Raket vergelijking”



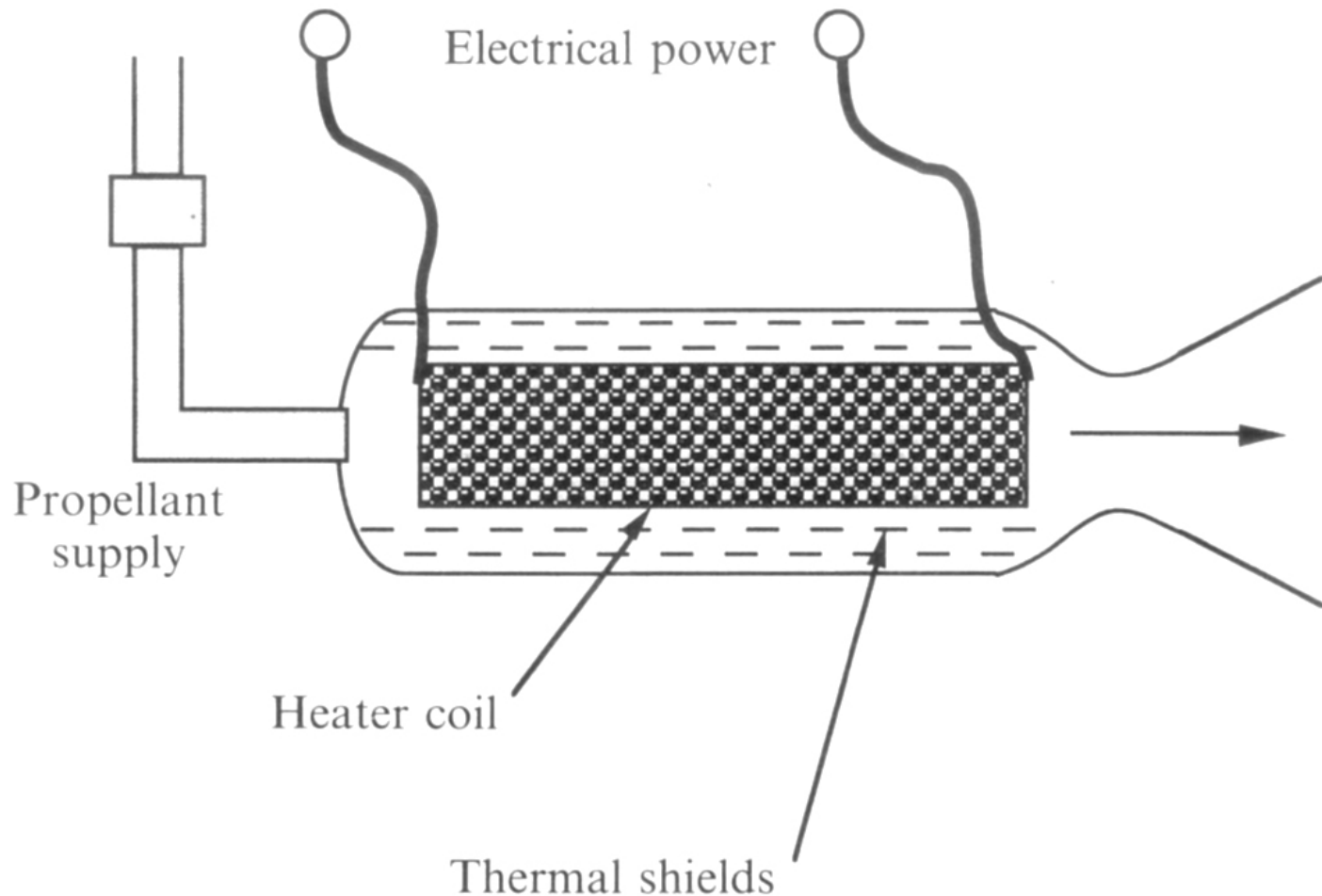
Raketmotor: elektrische voortstuwing

- Chemische voortstuwing : intrinsieke beperking doordat niet meer energie beschikbaar is voor de raket dan aanwezig in de **toegevoerde brandstof** !
- Elektrische voortstuwing: elektrische energie wordt **toegevoerd aan de stuwstof** en wordt geleverd door een externe krachtbron!

Elektrische voortstuwing onder te verdelen in:

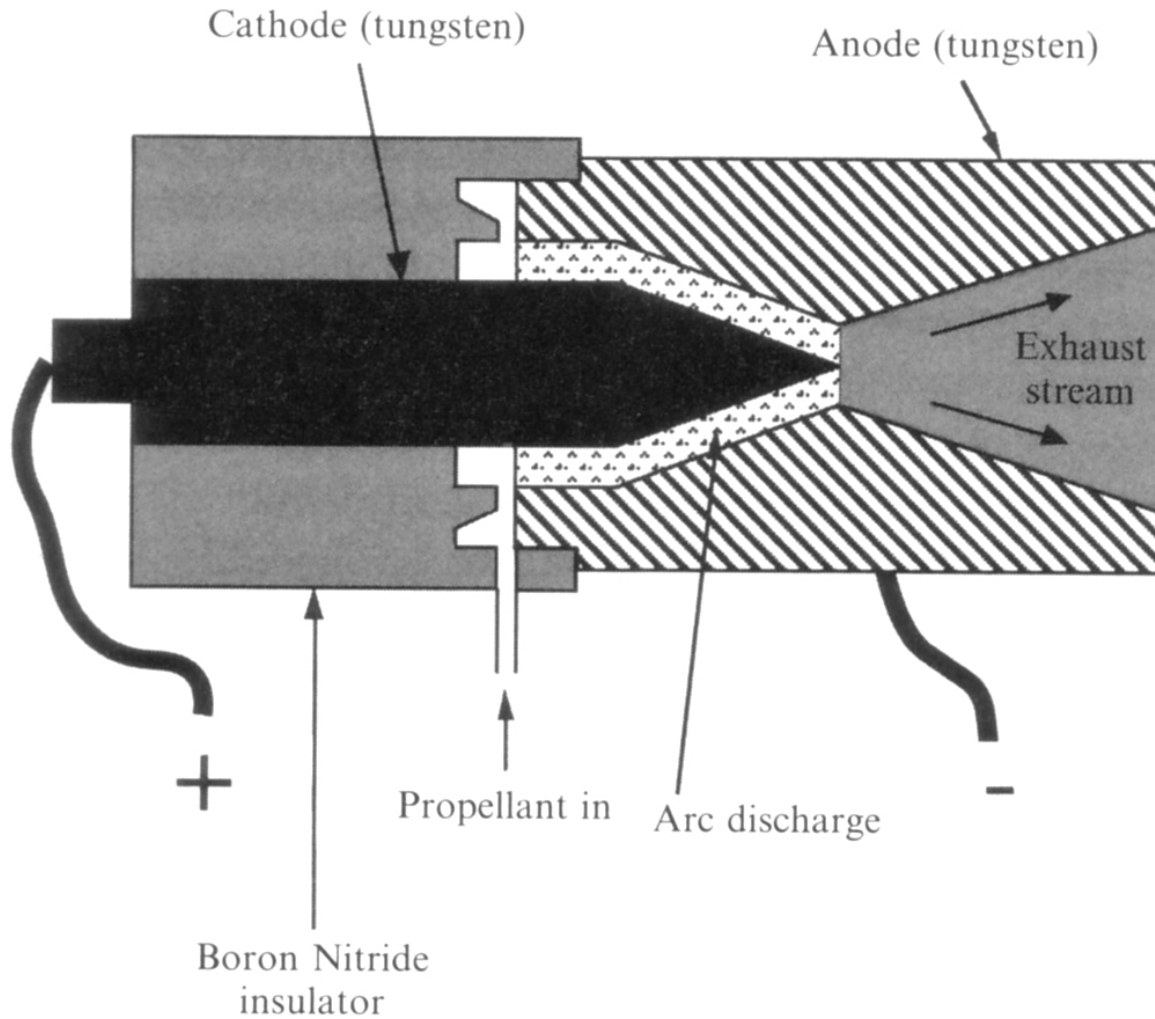
- Electro-thermische thrusters, elektrisch gedreven
- Boogontlading thrusters (arc-jet thrusters), elektrisch gedreven
- Ionen thrusters, electromagnetisch gedreven
- Plasma thrusters, electromagnetisch gedreven

Principe electrothermische thruster (resisto-jet)



Maximaal ≈ 2200 K voor Ohmse verhitting, $v_e \approx 10$ km/sec voor waterstof, 3 km/sec voor hydrazine (groter molecuulgewicht). Laag thrust vermogen 0,5-1,0 kW, gebruik voor standregeling en voor N-Z station keeping voor telecommunicatie satellieten. 46

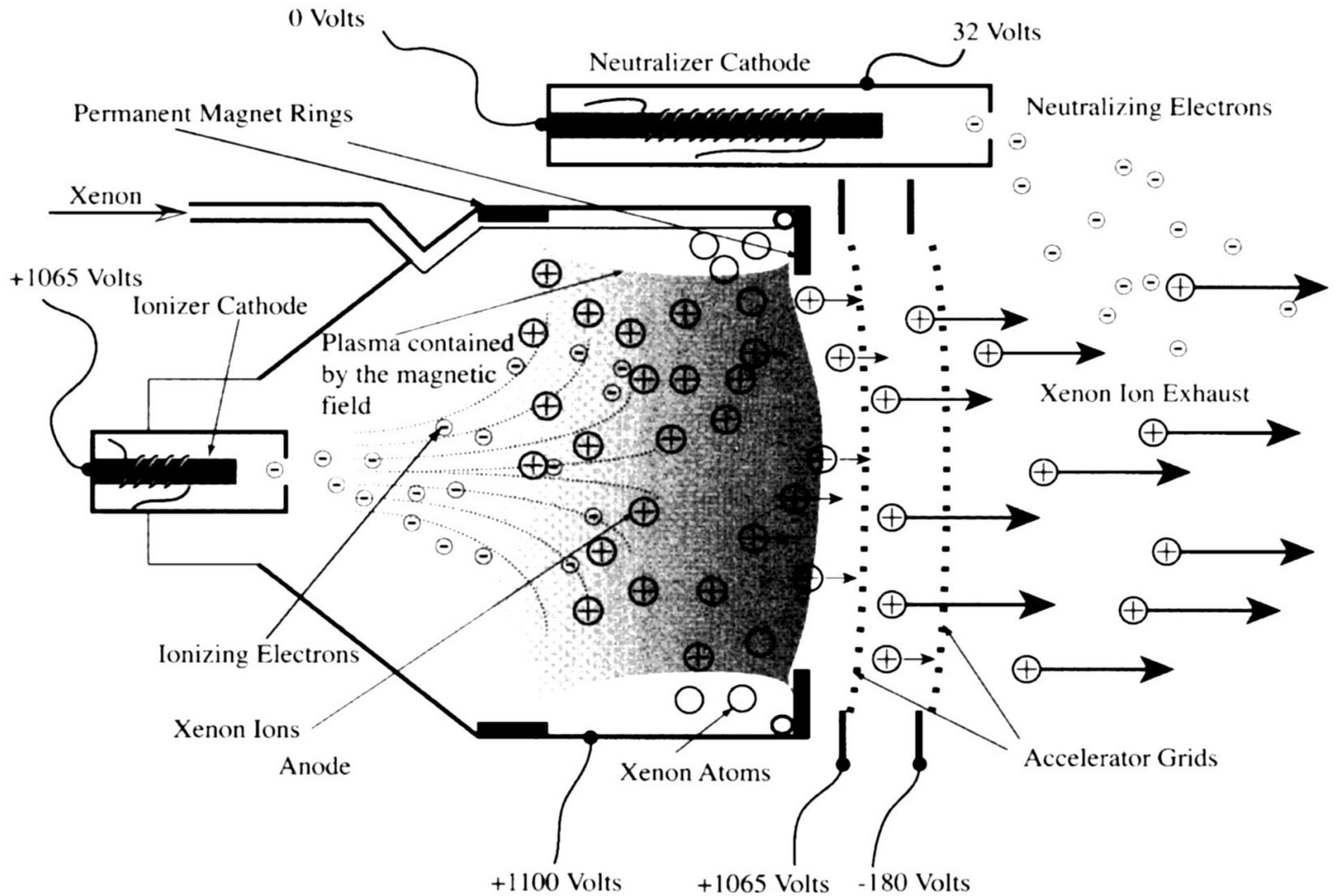
Principe Arc-jet thruster



Stuwgas: waterstof ($v_e \approx 20$ km/sec), hydrazine ($v_e \approx 6$ km/sec)

Lage thrust (2-3 kW), N-Z "station keeping" voor telecommunicatie satellieten 47

Principe van een ionen-thruster



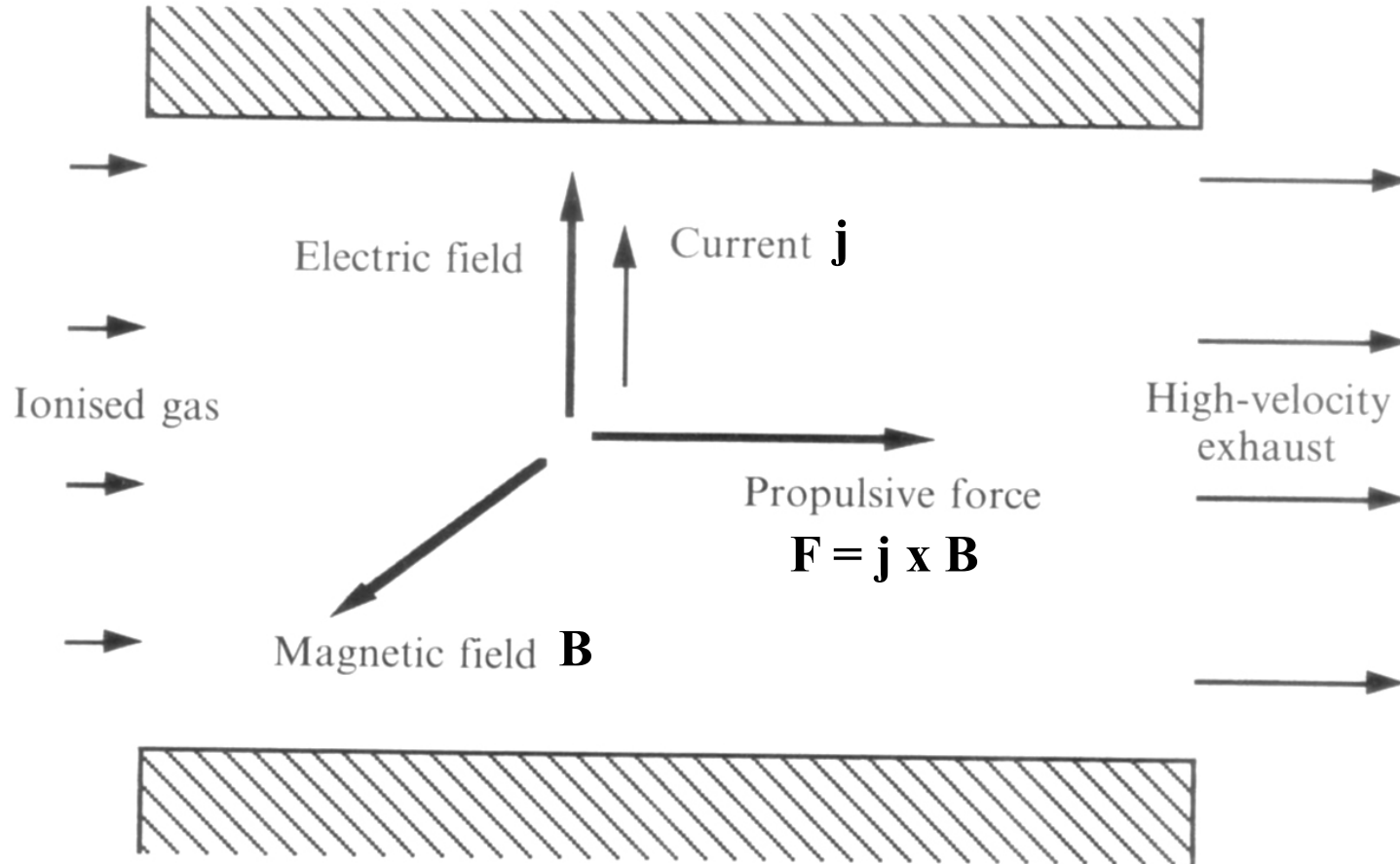
Ionenmotor: versnelling Xe-ionen tussen roosters, $v_e \sim 20 \text{ km/s}$
Vb. NSTAR Deep Space 1 (asteroïde fly-by)

Test Xe-ionenmotor NSTAR voor Deep Space 1



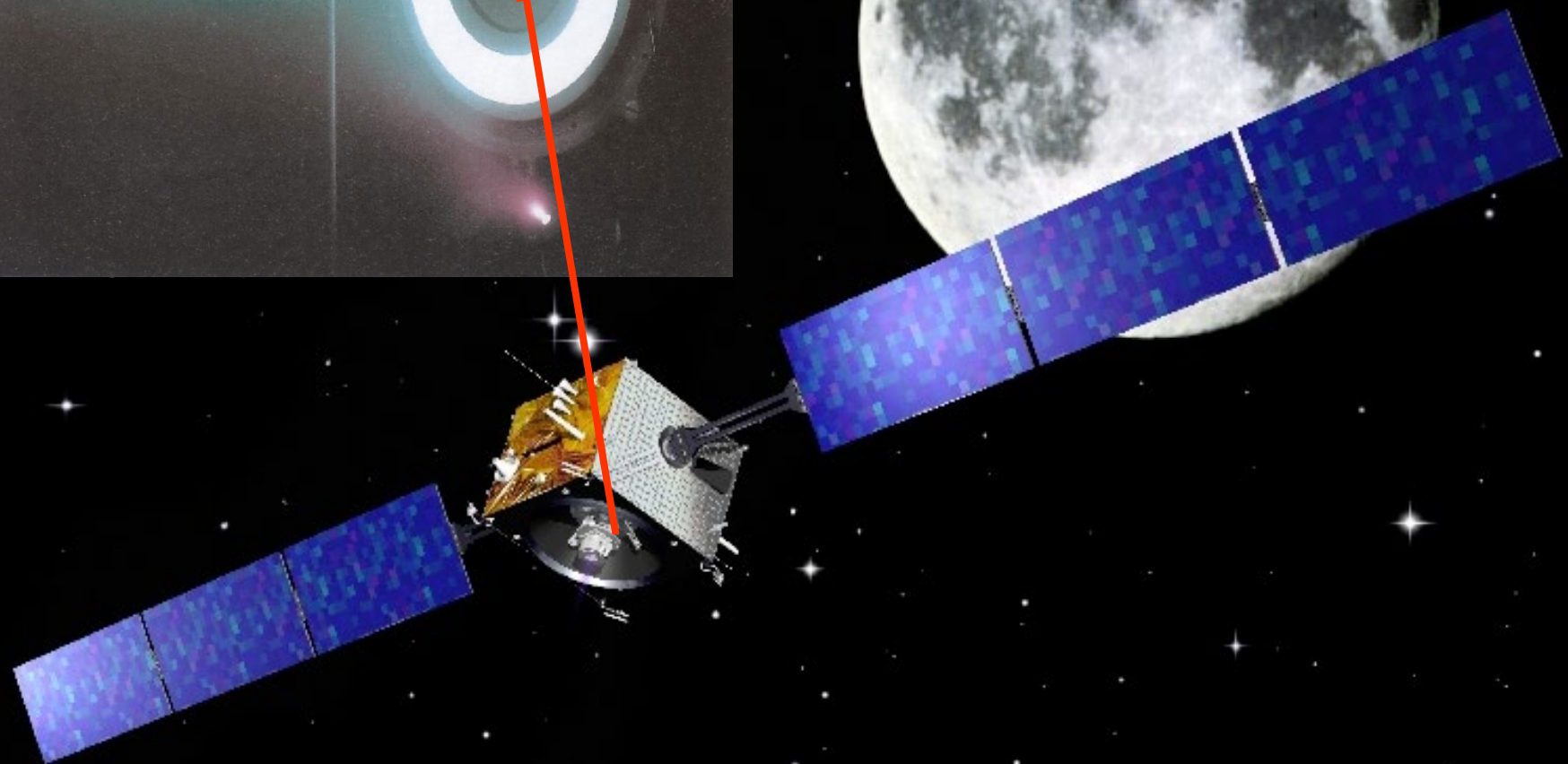
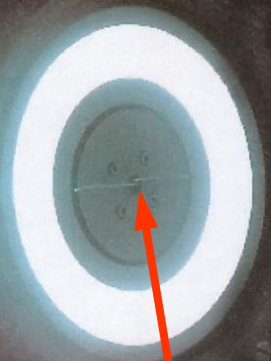
30 cm, vermogen 500-2300 Watt, v_e tot 30 km/sec

Principe plasma thruster



Theorie (magneto-plasmadynamica) ontwikkeld voor het Russische ruimtevaartprogramma, met name de Hall-effect variant. Stuwgas Xe, $v_e \approx 15\text{-}25$ km/sec, lage thrust 1 - 10 kW. Toegepast in SMART-1 (Maan) 50

Test Hall-effect plasma thruster



SMART-1, 2003 – 2006 (controlled lunar impact).
Hall-effect plasma-thruster for lunar trajectory (ESA).

Smart-1 Hall-effect plasma-thruster

Comparison of propulsion technologies

	Chemical		Electric
	Small monopropellant thruster	Fregat Main Engine (S5.92M)	SMART-1 Hall Effect Thruster (PPS-1350)
Propellant	Hydrazine	Nitrogen tetroxide / Unsymmetrical dimethyl hydrazine	Xenon
Specific Impulse (s)	200	320	1640
Thrust (N)	1	1.96×10^4	6.80×10^{-2}
Thrust time (s)	1.66×10^5	877	1.80×10^7
Thrust time (h)	46	0.24	5000
Propellant consumed (kg)	52	5350	80
Total Impulse (Ns)	1.1×10^5	1.72×10^7	1.2×10^6

Fregat produces ~ 14 times the total impulse of SMART-1's engine, but uses nearly 70 times more propellant mass to do so. The hydrazine thruster produces less than a tenth as much total impulse while using 65% of the propellant mass.

Stuwkracht (“thrust”) en –vermogen

Enkele voorbeelden van het ontwikkelde stuwvermogen bij chemische aandrijving :

$$P = \frac{1}{2} F_R u_e \Leftrightarrow \text{Ariane - 5 Upper Stage met 3,25 km/sec} \rightarrow P \approx 45 \text{ MegaWatt}$$

$$\Leftrightarrow \text{Ariana - 5 Vulcain - 2 met 4,00 km/sec} \rightarrow P \approx 2,7 \text{ GigaWatt}$$

$$\Leftrightarrow \text{Space Shuttle Main Engine met 4,55 km/sec} \rightarrow P \approx 5,2 \text{ GigaWatt}$$

Dit stuwvermogen ligt ordes van grootte boven reeël leverbare elektrische vermogens :

Stuwkracht met een 1 MW elektrisch (zonne - energie) aangedreven ruimtesonde met

zonnepanelen : 3000 m^2 oppervlak (55 m lange zijde), massa 24 ton \Rightarrow

$$F_{\text{SEP}} = \frac{2P}{u_e} \rightarrow \text{met } u_e \approx 20 \text{ km/s} \Rightarrow F_{\text{SEP}} \approx 100 \text{ Newton!!}$$

Tijd om een bepaalde Δv te bereiken ($u_e = \text{constant}$) : $t = \frac{M_0 - M}{\dot{M}} = \frac{M_0 u_e}{F_R} \left(1 - \frac{M}{M_0}\right)$

Vb. Invangst vanuit Mars - Aarde hyperbolische baan in cirkelbaan om Aarde : $\Delta v = 3,55 \text{ km/s}$

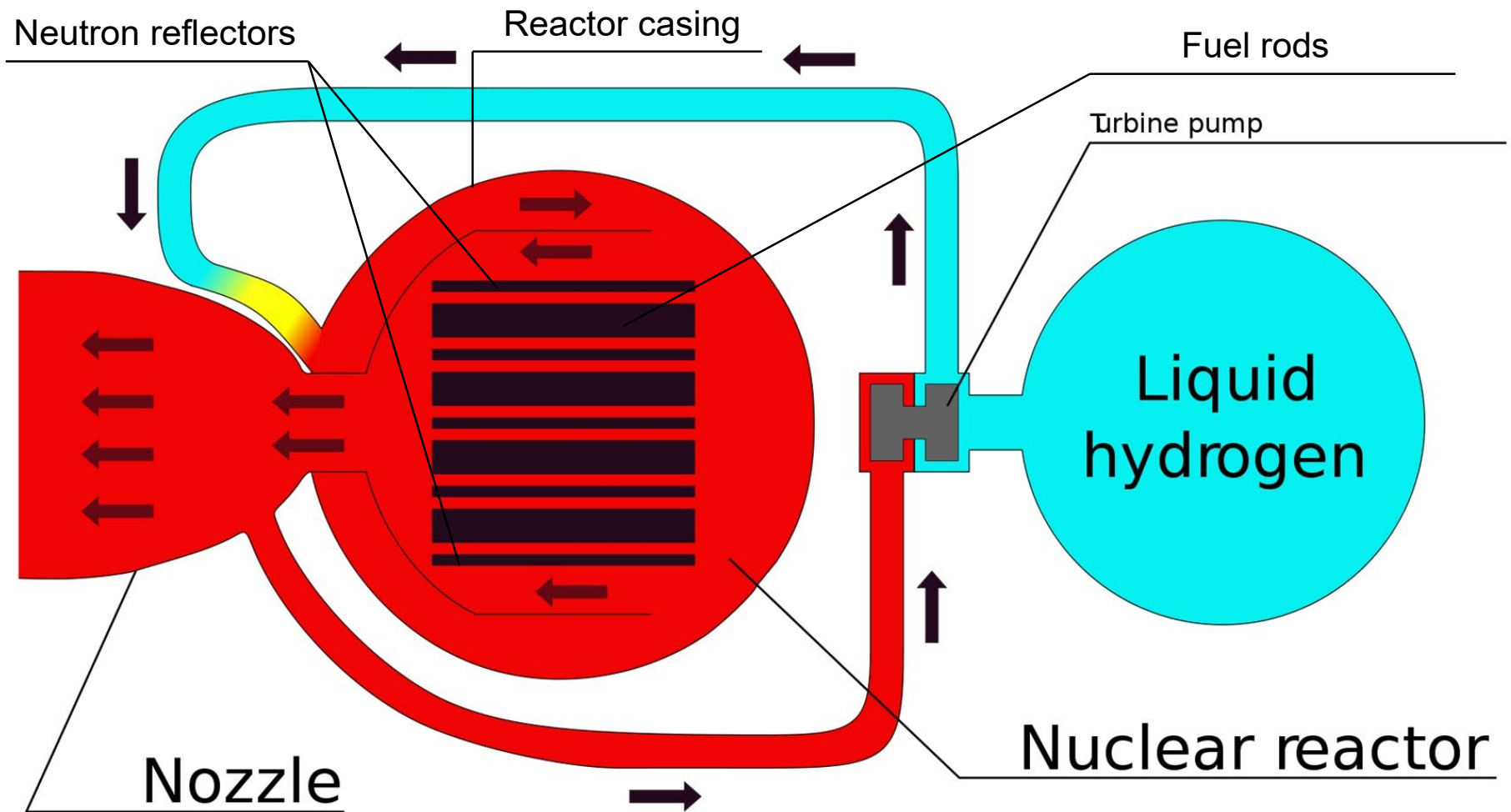
CHEMISCH : Aestus US $M_d \approx 70 \text{ ton}$, $M_f \approx 139 \text{ ton}$, $u_e = 3,24 \text{ km/s} \rightarrow t \approx 4,3 \text{ uur}$

SSME $M_f \approx 83 \text{ ton}$, $u_e = 4,55 \text{ km/s} \rightarrow t \approx 165 \text{ sec}$

ELECTRISCH : Upgraded Xe - drive $M_f \approx 14 \text{ ton}$, $u_e = 20 \text{ km/s} \rightarrow t \approx 32,4 \text{ dagen}$

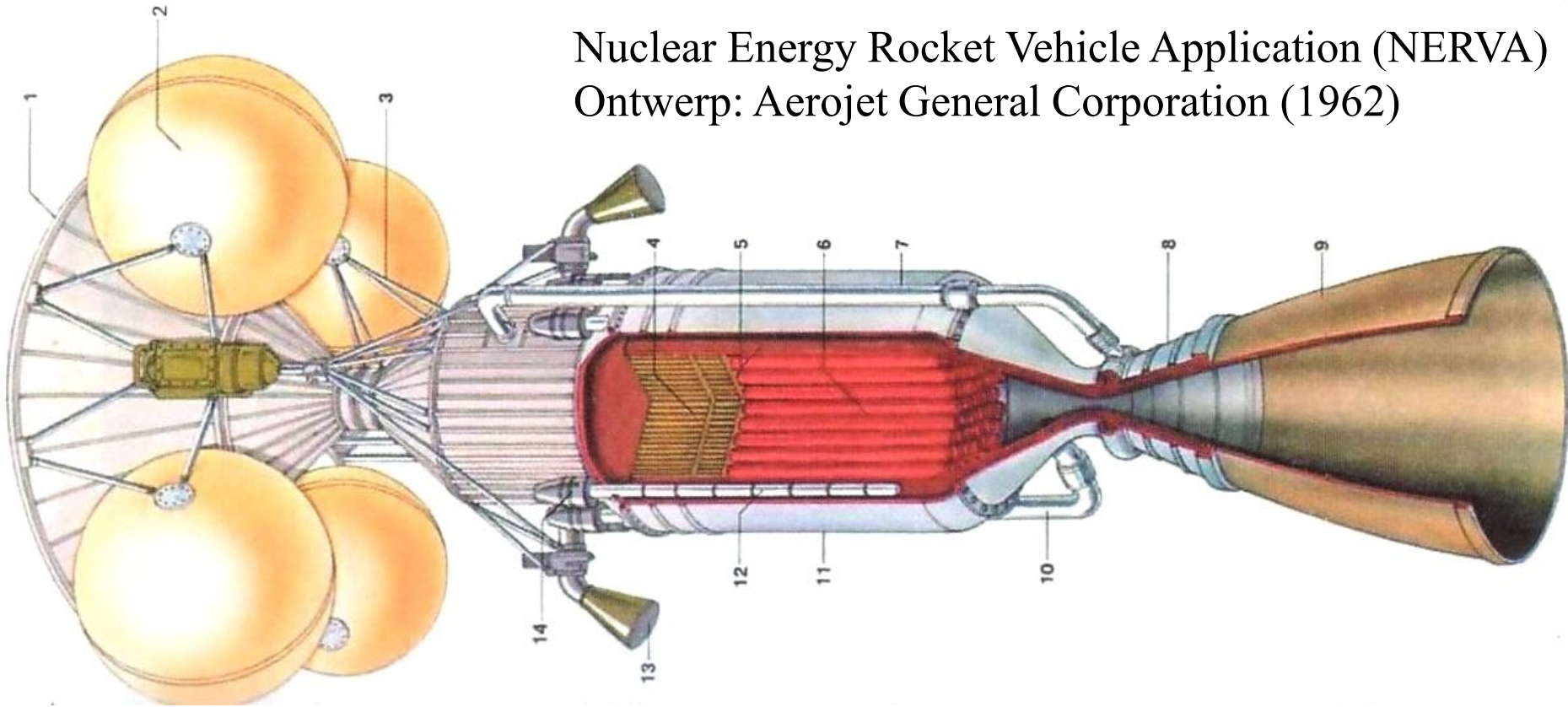
+ zonnepanelen $M_d \approx 94 \text{ ton}$, $M_f \approx 18 \text{ ton}$, $u_e = 20 \text{ km/s} \rightarrow t \approx 41,7 \text{ dagen!!}$ 53

Raketmotor: nucleaire voortstuwing



Nucleair-thermische raketmotor

Nuclear Energy Rocket Vehicle Application (NERVA)
Ontwerp: Aerojet General Corporation (1962)



Vb. NDR (NERVA-derivative) door NASA/DOD (StarWars program).

Reactorkern: Uraniumcarbide (UC_2), Zirconiumcarbide (ZrC)

Mantel $\rightarrow T_{RC} \approx 2500-3000K$, RC-druk ≈ 65 bar, $F=200-300$ kNewton

Verhitting van H_2 -brandstof (ook voor RC-koeling), $u_e \sim (T_{RC}/\mu_H)^{1/2}$

$$u_e \approx 10 \text{ km/s}$$

SSME: thermisch vermogen ↔ stuwvermogen

Stuwvermogen $P_{\text{thrust}} = \frac{1}{2} F v_e \rightarrow \text{SSME} : F = 2,3 \text{ MN}, v_e = 4550 \text{ m/s} : P_{\text{thrust}} \approx 5,2 \text{ GW}$

Warmtemotor gevoed door kernreactor met thermisch vermogen $P_{\text{therm}} \Rightarrow$
maximaal nuttig effect voor omzetting naar arbeid volgens thermodynamica :

$$\eta = 1 - \frac{T_e}{T_c} \quad (\text{Carnot proces})$$

T_c = verbrandings - of reactorkamertemperatuur

T_e = temperatuur van het uitstromende gas

De waarde van T_e/T_c bij operatie in vacuum wordt bepaald door de expansieverhouding A_e/A_{throat} .

Bij adiabatische expansie geldt :

$$\frac{T_e}{T_c} = \left(\frac{p_c}{p_e} \right)^{\frac{1-\gamma}{\gamma}}$$

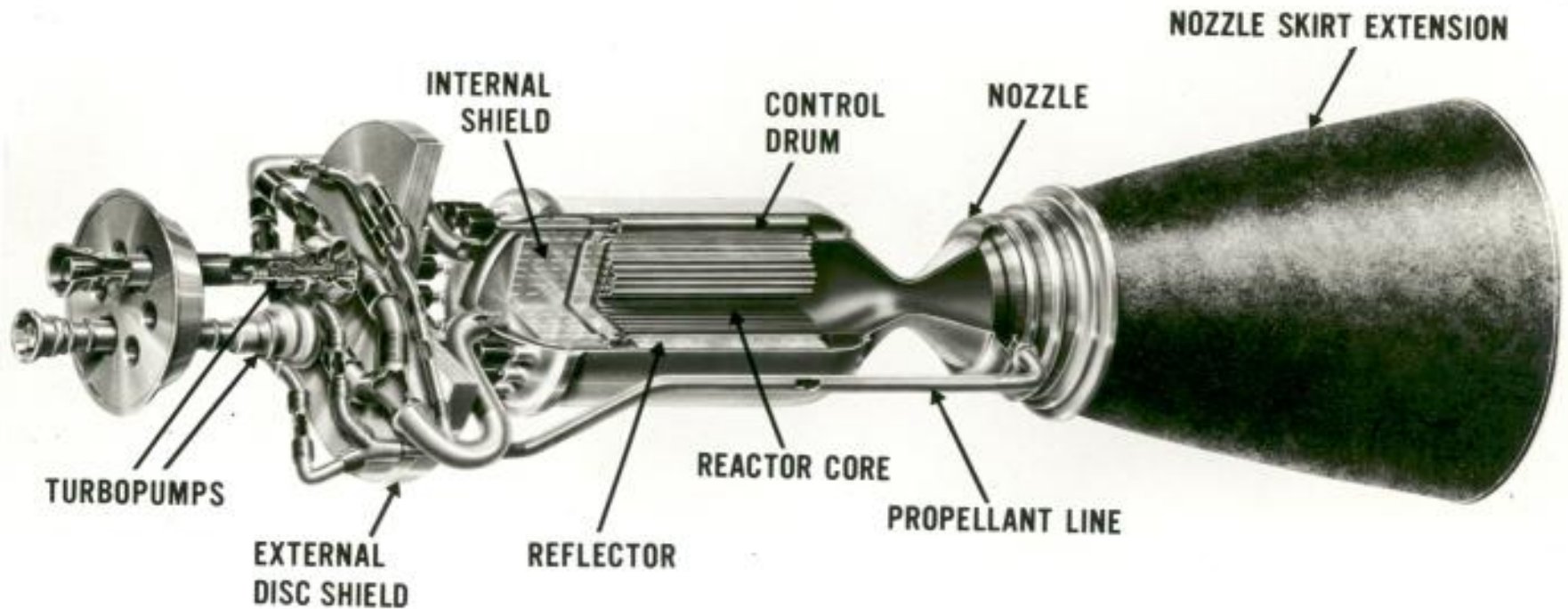
Voor $\gamma = 1,2$ levert de SSME bij een expansieverhouding van 80 :

$$\frac{p_c}{p_e} \approx 1000 \rightarrow \eta \approx 0,7 \rightarrow P_{\text{therm}} \approx 7,6 \text{ GW}$$

Prototype nucleaire reactor

NDR-motor: $P_{\text{therm}}(\text{NDR}) \approx 1,6 \text{ GW} \rightarrow \approx \frac{1}{4} P_{\text{therm}}(\text{SSME})$

$F = 346 \text{ kNewton}$, $v_e = 9250 \text{ m/sec}$, totale massa $\approx 15 \text{ ton}$



Stuwvermogen $P_{\text{stuw}} \approx 1,1 \times 10^9 \text{ Watt}$ ($\eta \approx 0,7$)

US bemande vluchten naar ISS vanaf 2017

7-seater



SpaceX: Dragon-2

7-seater



Boeing CST-100

Space Launch System

Onbemand: vracht 70-130 ton
 Bemand: Orion Multi-Purpose CV
 Shuttle: SRBs, tank, motoren
 Saturn V: 2e cryogene trap

ET Diameter In-Line Core Stage

Eerste lancering: 2017
 Bemand: 2021

Toepassingen:
 NEA
 Maan
 Mars
 Lagrange

335.7'
102.32m

Ø27.5'
8.38m

212.8'
64.86m

176.7'
53.96m

5 Segment SRBs
PBAN Propellant

5 RS-25D/E's



CREW MODULE (above) is larger than the Apollo Command Module developed in the 1960s

ESCAPE TOWER fires to pull the capsule away from the booster in the event of an emergency during launch

CREW MODULE holds four astronauts

HUMAN TO SCALE

SERVICE MODULE carries fuel, solar power panels and equipment

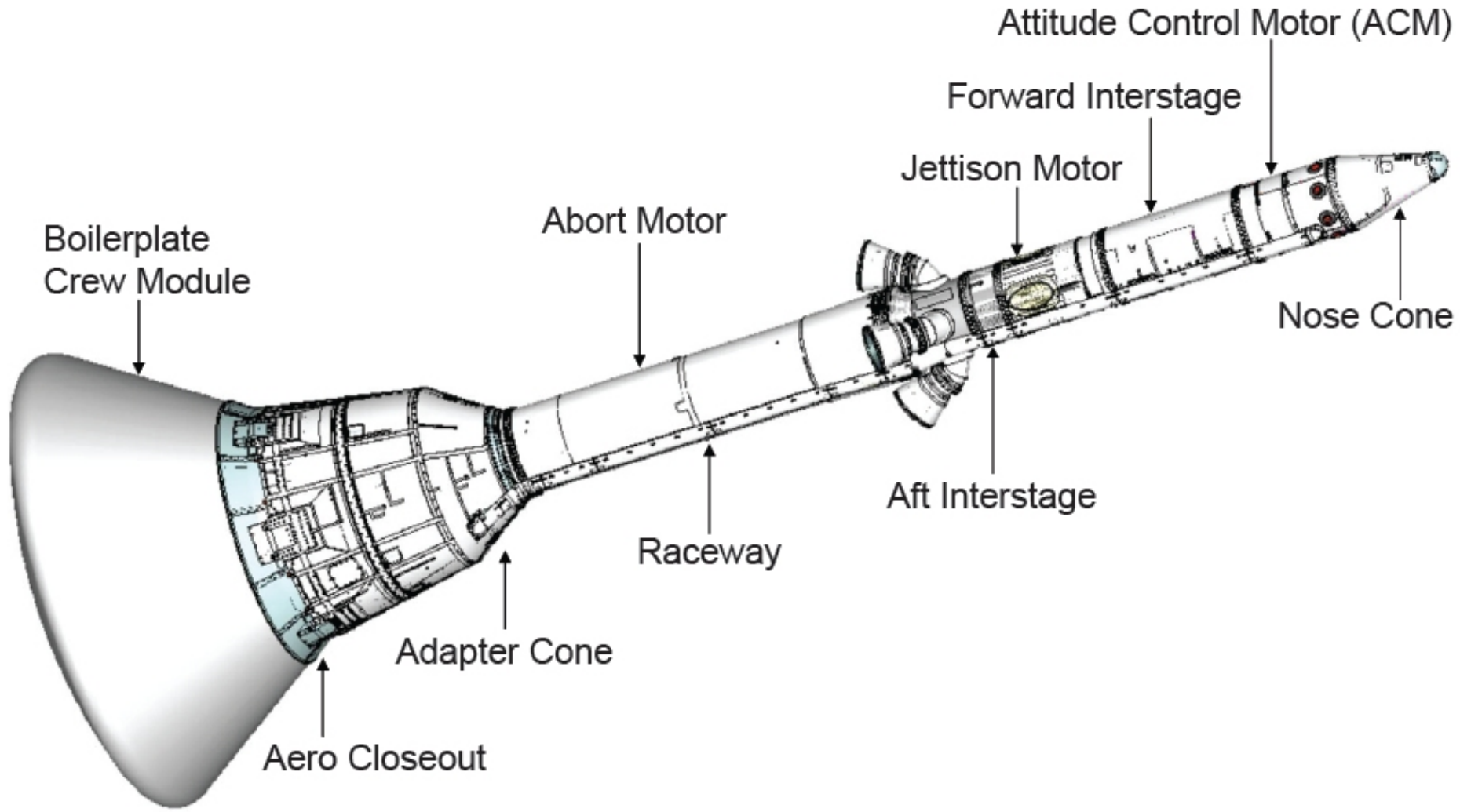
CORE STAGE has the same diameter as the space shuttle's external fuel tank. Its five RS-25D/E engines – modified versions of the shuttle's main engines – are fuelled by liquid hydrogen and liquid oxygen

At liftoff, SLS fires its five liquid-fueled main engines and two solid-fueled boosters

STRAP-ON BOOSTERS are similar to the shuttle's boosters, but are longer because they have additional solid fuel aboard

An advanced version of the SLS would include an additional UPPER STAGE with a single 3-2X engine derived from engines used on the Saturn V moon rocket. The engine burns liquid hydrogen and liquid oxygen

Orion crew capsule Launch Abort System (LAS)



Launch Abort operational sequence

4. Begin Reorientation



6. ACM Damps Out Reorientation
Maneuver Oscillations



5. Reorientation Complete



3. Controlled Coast



2. Abort Motor Burnout



1. ACM & Abort Motor Fire

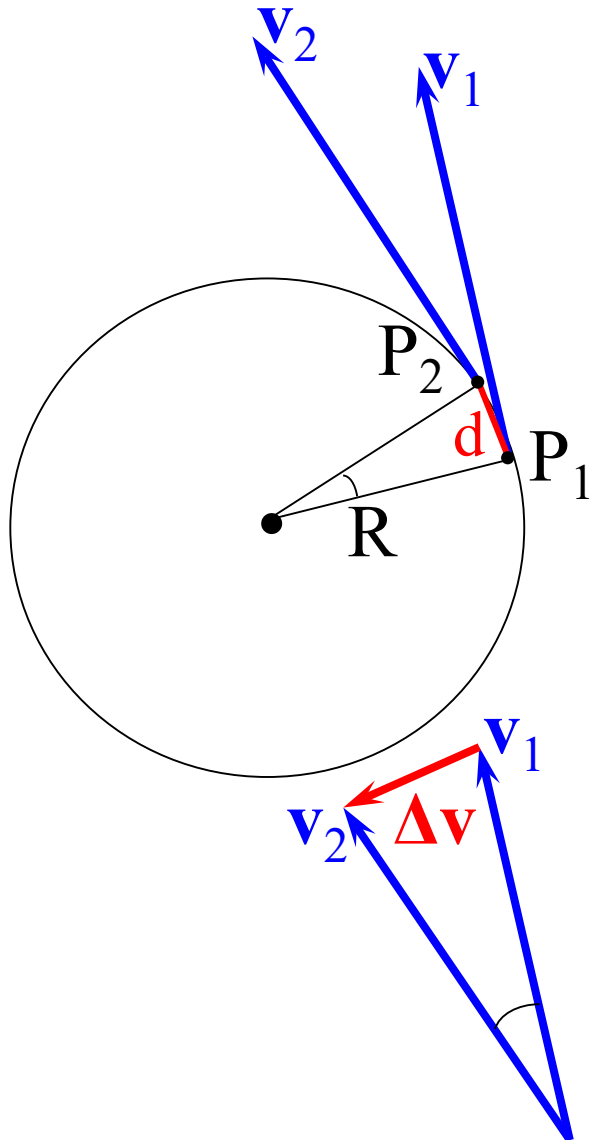


7. LAS Jettison

De natuurkunde van ruimtereizen

- Astrodynamica
- Voorbeeld: bemande missie naar Mars

Cirkelbeweging in een centraal krachtenveld: de centripetale versnelling a

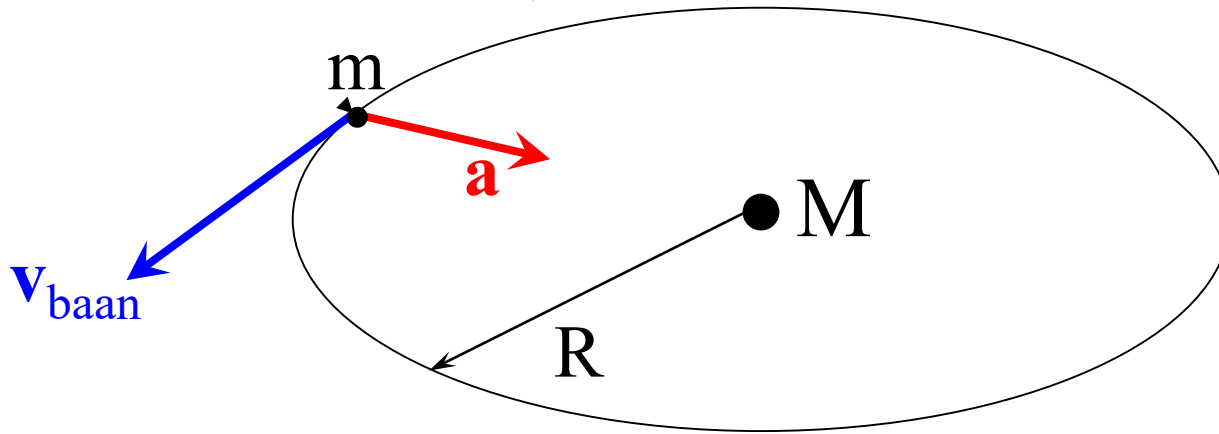


$$|\mathbf{v}_1| = |\mathbf{v}_2| = v$$

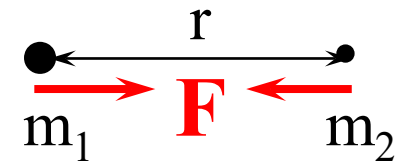
$$\frac{\Delta v}{v} = \frac{d}{R}$$

$$|\mathbf{a}| = \frac{\Delta v}{\Delta t} = \frac{v}{R} \frac{d}{\Delta t} = \frac{v}{R} v = \frac{v^2}{R}$$

Cirkelbeweging van een stoffelijk punt m om een centrale massa M ($m \ll M$): de baansnelheid v_{baan}



Gravitatiewet:



$$F = G \frac{m_1 m_2}{r^2},$$

$$|\mathbf{F}| = F, |\mathbf{v}| = v, |\mathbf{a}| = a, |\mathbf{r}| = r$$

$$G = 6,67 \cdot 10^{-11} \text{N} \cdot \text{m}^2 \cdot \text{kg}^{-2}$$

$$\rightarrow F = G \frac{Mm}{R^2}$$

$$\rightarrow G \frac{Mm}{R^2} = ma = m \frac{v^2}{R}$$

$$\rightarrow G \frac{M}{R^2} = \frac{v^2}{R} \quad \rightarrow |\mathbf{v}_{\text{baan}}| = \left(\frac{GM}{R} \right)^{1/2}$$

De baanperiode voor een circulaire baan: T

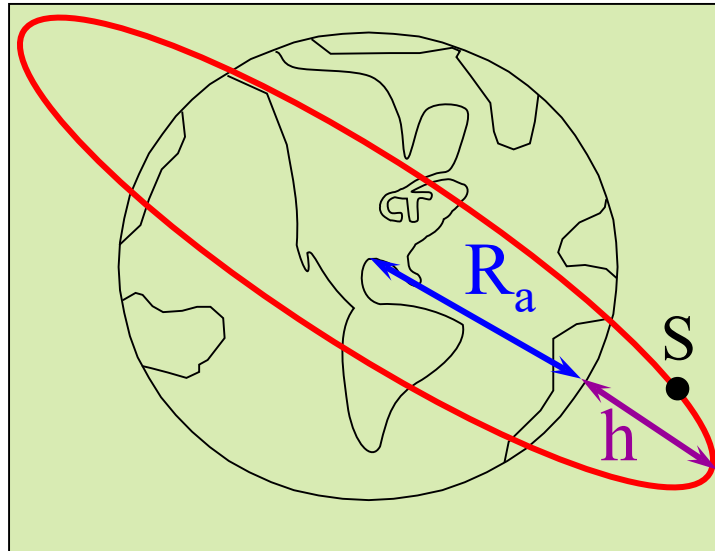
Satelliet in lage baan:

$$R_a = 6400 \text{ km}$$

$$h = 500 \text{ km}$$

$$T = 5684 \text{ sec}$$

$$\approx 95 \text{ min}$$



Maan:

$$R_a = 6400 \text{ km}$$

$$h = 378000 \text{ km}$$

$$T = 2,36 \cdot 10^6 \text{ sec}$$

$$\approx 27,3 \text{ dagen}$$

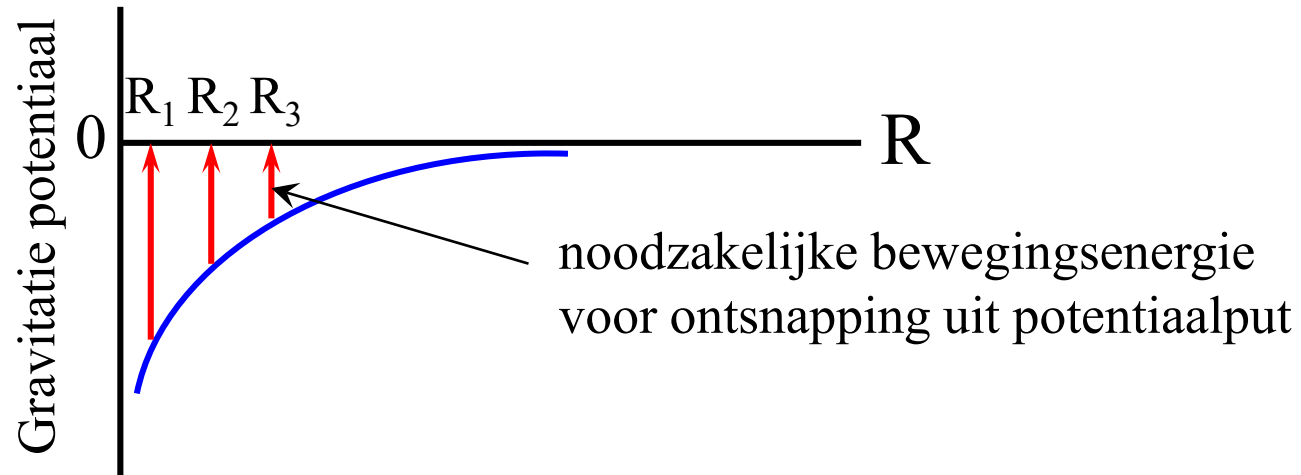
$$v = \frac{2\pi R}{T} \rightarrow \frac{GM}{R^2} = \left(\frac{2\pi R}{T}\right)^2 \frac{1}{R}$$

$$T^2 = \frac{4\pi^2}{GM} R^3 \quad (\text{derde wet van Kepler})$$

$$T^2 = \frac{4\pi^2}{GM} (R_a + h)^3, \text{ met } \frac{1}{M} = \frac{G}{gR_a^2}$$

$$\rightarrow T = 2\pi \left(1 + \frac{h}{R_a}\right) \left(\frac{R_a+h}{g}\right)^{1/2}, \quad g = 9,8 \text{ m. sec}^{-2}$$

De ontsnappingsnelheid: v_e



Energiebehoud (afgesloten system):

$$\frac{1}{2}mv_e^2 + \left(-\frac{GMm}{R}\right) = 0$$
$$\rightarrow v_e = \left(\frac{2GM}{R}\right)^{1/2}$$

Vanaf het aardoppervlak:

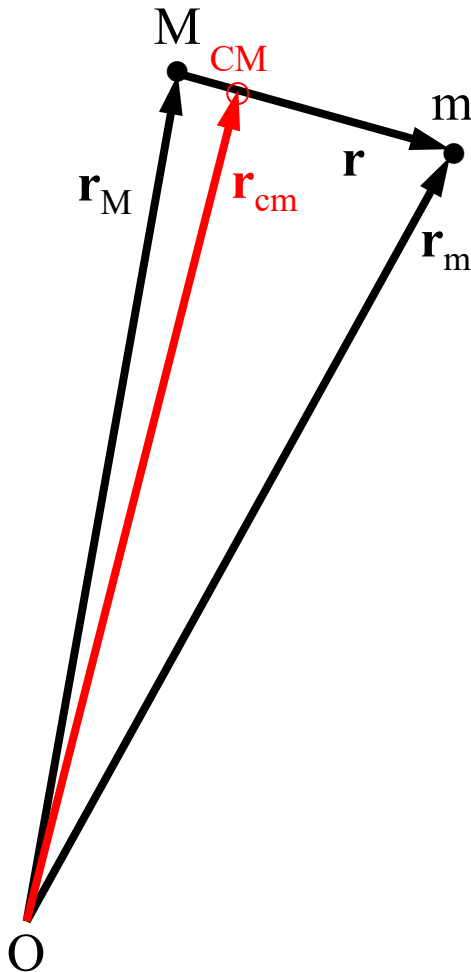
$$R = R_0 = 6400 \text{ km} \rightarrow v_e = 11,2 \text{ km/sec}$$

Op willekeurige positie R:

$$v_e = v_{\text{cirkelbaan}} \cdot \sqrt{2}$$

De tweelichamen-bewegingsvergelijking onder invloed van de zwaartekracht ("two-body equation of motion")

Bewegingsvergelijking voor een ruimtevaartuig met massa m (plaatsvector \mathbf{r}_m) in het veld van een centraal aantrekkingslichaam met massa M (plaatsvector \mathbf{r}_M):



Pas de tweede wet van Newton toe om de versnelling van M en m tengevolge van de gravitatiepotentiaal te berekenen:

$$M\ddot{\mathbf{r}}_M = \frac{GMm}{|\mathbf{r}_m - \mathbf{r}_M|^2} \cdot \frac{(\mathbf{r}_m - \mathbf{r}_M)}{|\mathbf{r}_m - \mathbf{r}_M|} \quad (1)$$

$$m\ddot{\mathbf{r}}_m = \frac{GMm}{|\mathbf{r}_M - \mathbf{r}_m|^2} \cdot \frac{(\mathbf{r}_M - \mathbf{r}_m)}{|\mathbf{r}_M - \mathbf{r}_m|} \quad (2)$$

$$\mathbf{r}_{cm} = \frac{(m\mathbf{r}_m + M\mathbf{r}_M)}{m+M}$$

Optellen van (1) en (2): $\frac{d^2}{dt^2} (m\mathbf{r}_m + M\mathbf{r}_M) = 0 \Rightarrow \ddot{\mathbf{r}}_{cm} = 0$

$\Rightarrow \mathbf{r}_{cm} = \mathbf{c}_1 t + \mathbf{c}_2$ is niet onderhevig aan versnelling \Rightarrow massamiddelpunt (cm) is oorsprong van een inertiaal stelsel.

De vergelijking voor de relatieve beweging van M en m

De relatieve positie van het ruimtevoertuig (m) t.o.v. het aantrekkingslichaam (M) wordt gegeven door de vector $\mathbf{r} = \mathbf{r}_m - \mathbf{r}_M$.

Vergelijking (1) aftrekken van vergelijking (2) en substitutie met \mathbf{r} geeft:

$$\ddot{\mathbf{r}} + \frac{\mu}{|\mathbf{r}|^3} \mathbf{r} = 0 \quad \mu = G(M + m) = \text{gravitatieparameter}$$

Dit is de tweelichamen-vergelijking voor de **relatieve beweging** van het ruimtevoertuig (m) en het aantrekkingslichaam (M) t.o.v. elkaar.

Wiskundig is deze beschrijving identiek met de beweging van een deeltje met gereduceerde massa $m_r = Mm / (M+m)$ in een radiaal gericht centraal-krachtenveld met sterkte $GMm/|\mathbf{r}|^2$. De centraal-krachtenveld en de tweelichamen-formulering zijn dus equivalent. Voor het hier beschreven geval geldt dat de massa van het ruimtevoertuig verwaarloosbaar is t.o.v. van de massa van het aantrekkingslichaam:

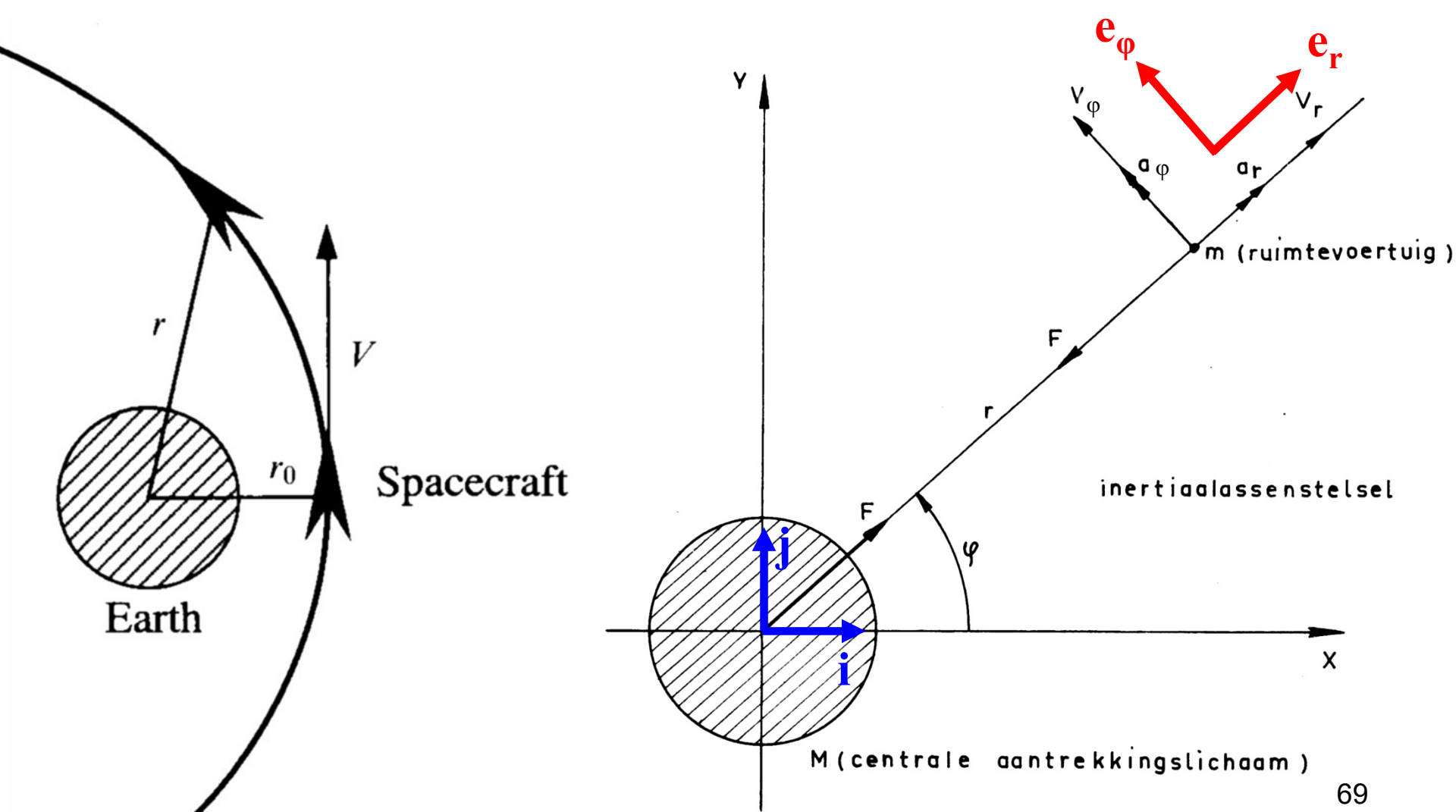
Met $m \ll M \Rightarrow$

$$\ddot{\mathbf{r}} + \frac{GM}{|\mathbf{r}|^3} \mathbf{r} = 0$$

Integratie over weglengte \mathbf{r} levert de **energievergelijking**:

$$\int \ddot{\mathbf{r}} \cdot d\mathbf{r} + \int \frac{GM}{|\mathbf{r}|^3} \mathbf{r} \cdot d\mathbf{r} = \frac{1}{2} |\dot{\mathbf{r}}|^2 - \frac{GM}{|\mathbf{r}|} = C$$

Oplossing algemene bewegingsvergelijking in poolcoördinaten



Oplossingsmethodiek

$$\mathbf{r} = |\mathbf{r}|\cos\varphi \mathbf{i} + |\mathbf{r}|\sin\varphi \mathbf{j} = r\cos\varphi \mathbf{i} + r\sin\varphi \mathbf{j}$$

$$\mathbf{v} = \dot{\mathbf{r}} = [\dot{r}\cos\varphi - (r\sin\varphi)\dot{\varphi}] \mathbf{i} + [\dot{r}\sin\varphi + (r\cos\varphi)\dot{\varphi}] \mathbf{j}$$

Voer de volgende eenheidsvectoren in:

$$\mathbf{e}_r = \cos\varphi \mathbf{i} + \sin\varphi \mathbf{j} \text{ in de richting van toenemende } r \text{ (radiële component)}$$

$$\mathbf{e}_\varphi = -\sin\varphi \mathbf{i} + \cos\varphi \mathbf{j} \text{ in de richting van toenemende } \varphi \text{ (tangentiële component)}$$

$$\mathbf{e}_r \cdot \mathbf{e}_\varphi = 0$$

$$\mathbf{v} = \dot{\mathbf{r}} = \dot{r} \mathbf{e}_r + r\dot{\varphi} \mathbf{e}_\varphi$$

$$\mathbf{a} = \ddot{\mathbf{r}} = (\ddot{r} - r\dot{\varphi}^2) \mathbf{e}_r + (2\dot{r}\dot{\varphi} + r\ddot{\varphi}) \mathbf{e}_\varphi$$

Omdat \mathbf{a} en \mathbf{e}_r tegengesteld langs \mathbf{r} zijn gericht ($\mathbf{a} \cdot \mathbf{e}_r / |\mathbf{a}| = -1$) geldt:

$$\ddot{r} - r\dot{\varphi}^2 + GM/r^2 = 0 \quad \text{en}$$

$$2\dot{r}\dot{\varphi} + r\ddot{\varphi} = 0 \rightarrow \frac{d}{dt}(r^2\dot{\varphi}) = 0 \rightarrow r^2\dot{\varphi} = \text{constant} = |\ell|$$

$|\ell|$ is de grootte van het draai-impulsmoment ℓ per eenheid van massa $\rightarrow \dot{\varphi} = |\ell|/r^2$

Substitutie van $\dot{\varphi}$ levert een differentiaalvergelijking voor r als functie van t :

$$\ddot{r} - \frac{\ell^2}{r^3} = -\frac{GM}{r^2}, \text{ met } \frac{d}{dt} = \dot{\varphi} \frac{d}{d\varphi} \rightarrow \frac{1}{r^2} \frac{d^2 r}{d\varphi^2} - \frac{2}{r^3} \left(\frac{dr}{d\varphi} \right)^2 - \frac{1}{r} = -\frac{GM}{\ell^2},$$

los op via $u = 1/r$:

$$r = \frac{\ell^2 / (GM)}{1 + \left(\frac{\lambda \ell^2}{GM} \right) \cos(\varphi - \varphi_0)} \quad (\lambda, \varphi_0 \text{ nader te bepalen constanten}) \quad 70$$

De kegelsneden r en baanexcentriciteit ε

Kies voor de beginfase $\varphi_0=0$, voor het periapsispunt r_p van de baan geldt $\varphi=0$.

Normering van r op r_p geeft:

$$r/r_p = \frac{1+\lambda\ell^2/(GM)}{1+\left(\frac{\lambda\ell^2}{GM}\right)\cos\varphi}, \text{ met de excentriciteit } \varepsilon = \left(\frac{\lambda\ell^2}{GM}\right) \rightarrow r/r_p = \frac{1+\varepsilon}{1+\varepsilon\cos\varphi}$$

De waarde van de constante λ kan worden afgeleid uit de energievergelijking:

$$\frac{1}{2}(\dot{r}^2 + r^2\dot{\varphi}^2) - \frac{GM}{r} = \text{constant} = W(\text{totale energie})$$

Met $u = 1/r$ en $\frac{d}{dt} = \dot{\varphi} \frac{d}{d\varphi}$ kan de totale energie W worden uitgedrukt in u , φ en ℓ :

$$W = \frac{1}{2}\ell^2\left(\frac{du}{d\varphi}\right)^2 + \frac{1}{2}\ell^2u^2 - GMu, \text{ invullen van } u \text{ en } \left(\frac{du}{d\varphi}\right) \text{ leidt tot de waarde van } \lambda:$$

$$\lambda = \frac{1}{\ell} \left(2W + \frac{(GM)^2}{\ell^2} \right)^{\frac{1}{2}} \text{ en voor } \varepsilon = \left(\frac{\lambda\ell^2}{GM} \right) = \left(1 + 2W \left(\frac{\ell}{GM} \right)^2 \right)^{\frac{1}{2}}$$

Voor het periapsis (perigeum) punt geldt: $\ell = r_p v_p$ en $W = \frac{1}{2}v_p^2 - \frac{GM}{r_p}$, er volgt voor

$$\varepsilon = \left(\frac{r_p v_p^2}{GM} - 1 \right) \text{ en } r = \frac{\ell^2/(GM)}{1+\varepsilon\cos\varphi} = \frac{a(1-\varepsilon^2)}{1+\varepsilon\cos\varphi}, \text{ met } a = r_p/(1-\varepsilon)$$

De baansnelheid v : de vis-viva vergelijking

Vergelijking van energiebehoud zegt:

$$\frac{1}{2}v^2 - \frac{GM}{r} = \frac{1}{2}v_p^2 - \frac{GM}{r_p}, \text{ substitutie met:}$$

$$r_p = a(1 - \varepsilon) \text{ en}$$

$$v_p = \sqrt{\frac{GM}{a}} \sqrt{\frac{1+\varepsilon}{1-\varepsilon}} \text{ (volgt uit uitdrukking voor } \varepsilon) \rightarrow$$

$$W = \text{specifieke baanenergie} = \frac{1}{2}v^2 - \frac{GM}{r} = -\frac{GM}{2a} \rightarrow$$

$$v^2 = GM \left(\frac{2}{r} - \frac{1}{a} \right) \text{ (vis-viva vergelijking)}$$

- De specifieke baanenergie W (energie per eenheid van massa van de satelliet) hangt alleen af van de halve-lange-as a .
- De baansnelheid v hangt slechts af van de actuele waarde van r en de halve-lange-as a van de kegelsnede.

Algemene oplossing van de bewegingsvergelijking in centrale-kracht velden in (r, φ) -coördinaten

Oplossing van de bewegingsvergelijking levert kegelsneden voor de gevolgde banen p die, uitgedrukt in poolcoördinaten als volgt kunnen worden geschreven:

$$\frac{r}{r_p} = \frac{1 + \varepsilon}{1 + \varepsilon \cos \varphi} \quad \text{met excentriciteit} \quad \varepsilon = \left(\frac{r_p V_p^2}{GM} - 1 \right)$$

$\varepsilon = 0$ cirkelbaan

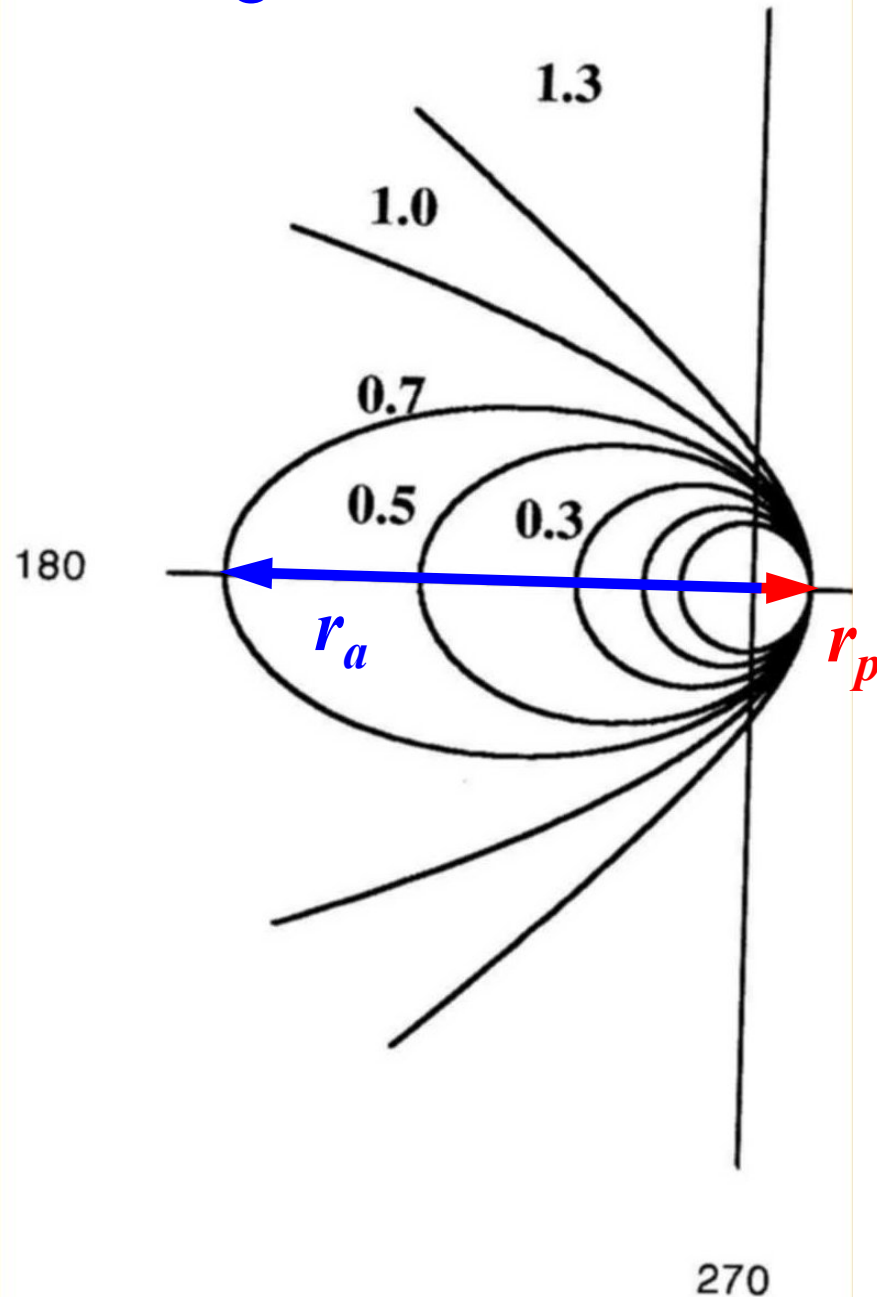
$0 < \varepsilon < 1$ ellipsbaan

$\varepsilon = 1$ parabolische baan

$\varepsilon > 1$ hyperbolische baan

$r_p, V_p =$ periapsis-afstand, snelheid .

baangeometrieën



baansnelheden in perigeum

Circulaire baan:

$$v_p = v_c = \sqrt{GM/r_p}$$

Parabolische baan:

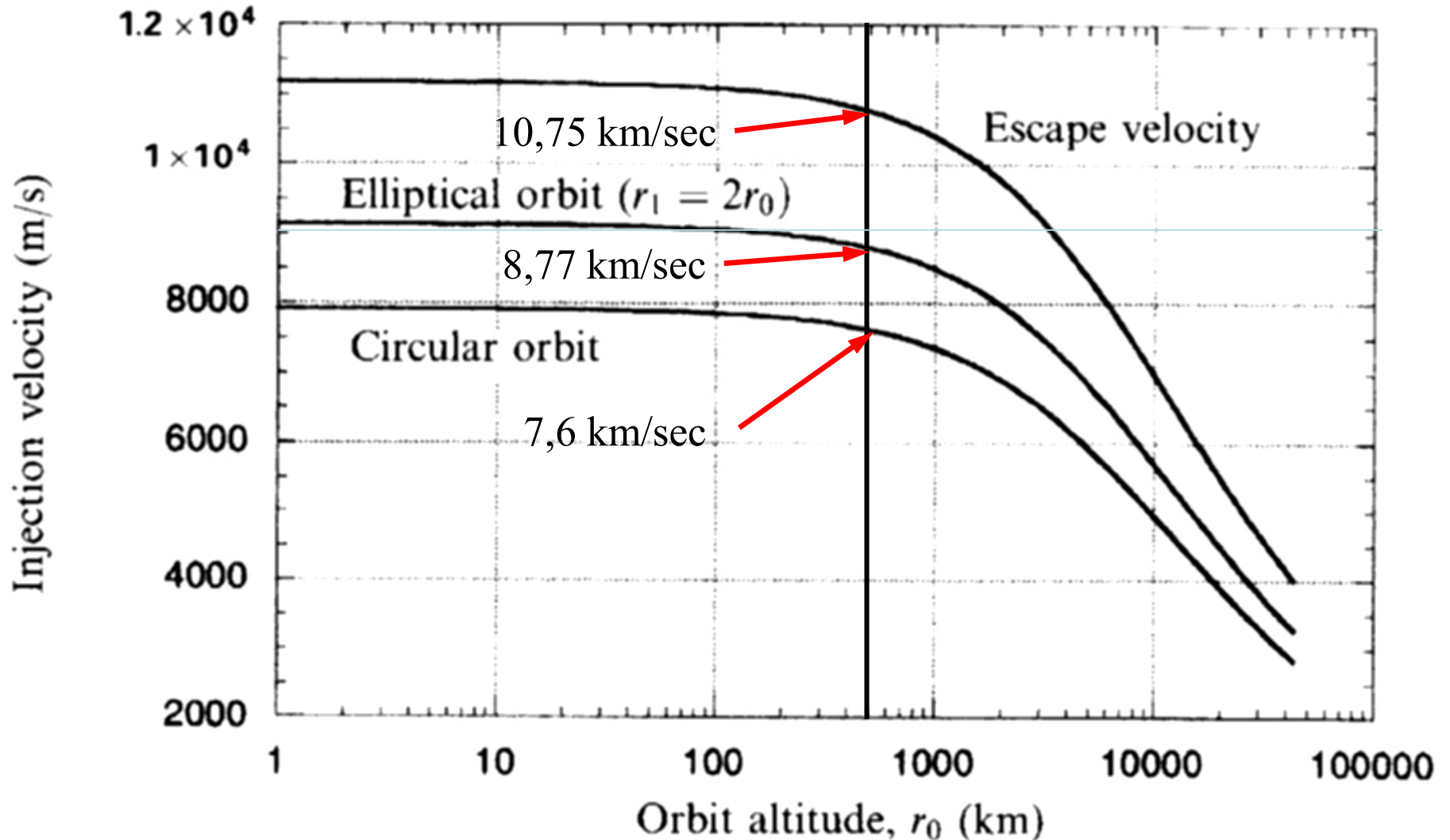
$$v_p = \sqrt{2GM/r_p}$$

Elliptische baan:

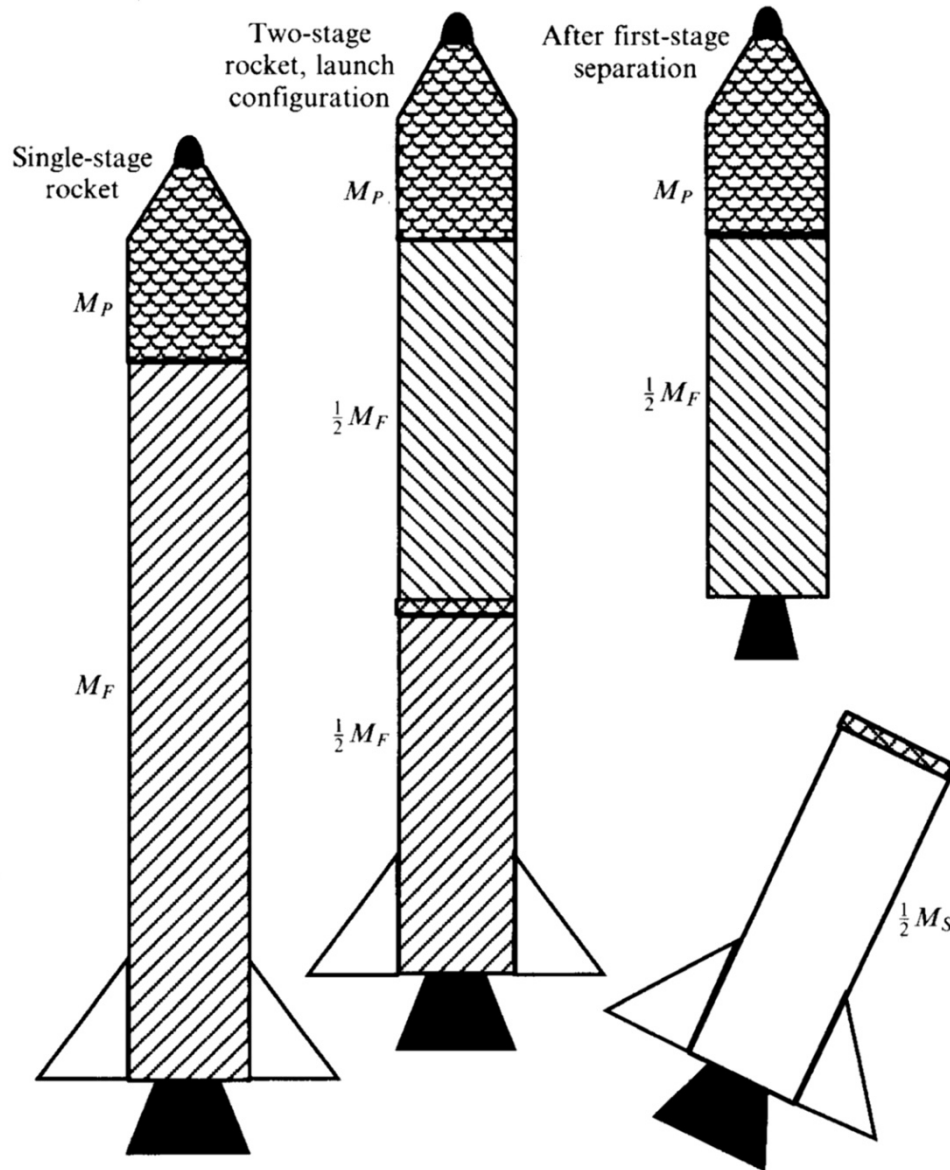
$$\frac{v_p}{v_c} = \sqrt{1 + \frac{r_a - r_p}{r_a + r_p}}$$

$$\frac{v_a}{v_p} = \frac{r_p}{r_a}$$

Injectie snelheden \leftrightarrow baanhoogte (perigeum)



Δv -winst bij meertrapsaandrijving



Raketvergelijkingen:

Eentrap- massaverhouding:

$$R_0 = (M_s + M_f + M_p) / (M_s + M_p)$$

Tweetraps-massaverhoudingen:

$$R_1 = (M_s + M_f + M_p) / (M_s + \frac{1}{2} M_f + M_p)$$

$$R_2 = (\frac{1}{2} M_s + \frac{1}{2} M_f + M_p) / (\frac{1}{2} M_s + M_p)$$

Snelheden:

$$v_{1traps} = u_e \ln R_0$$

$$v_{2traps} = u_e \ln R_1 + u_e \ln R_2$$

Voorbeeld:

Raket (incl. payload) = 100 ton

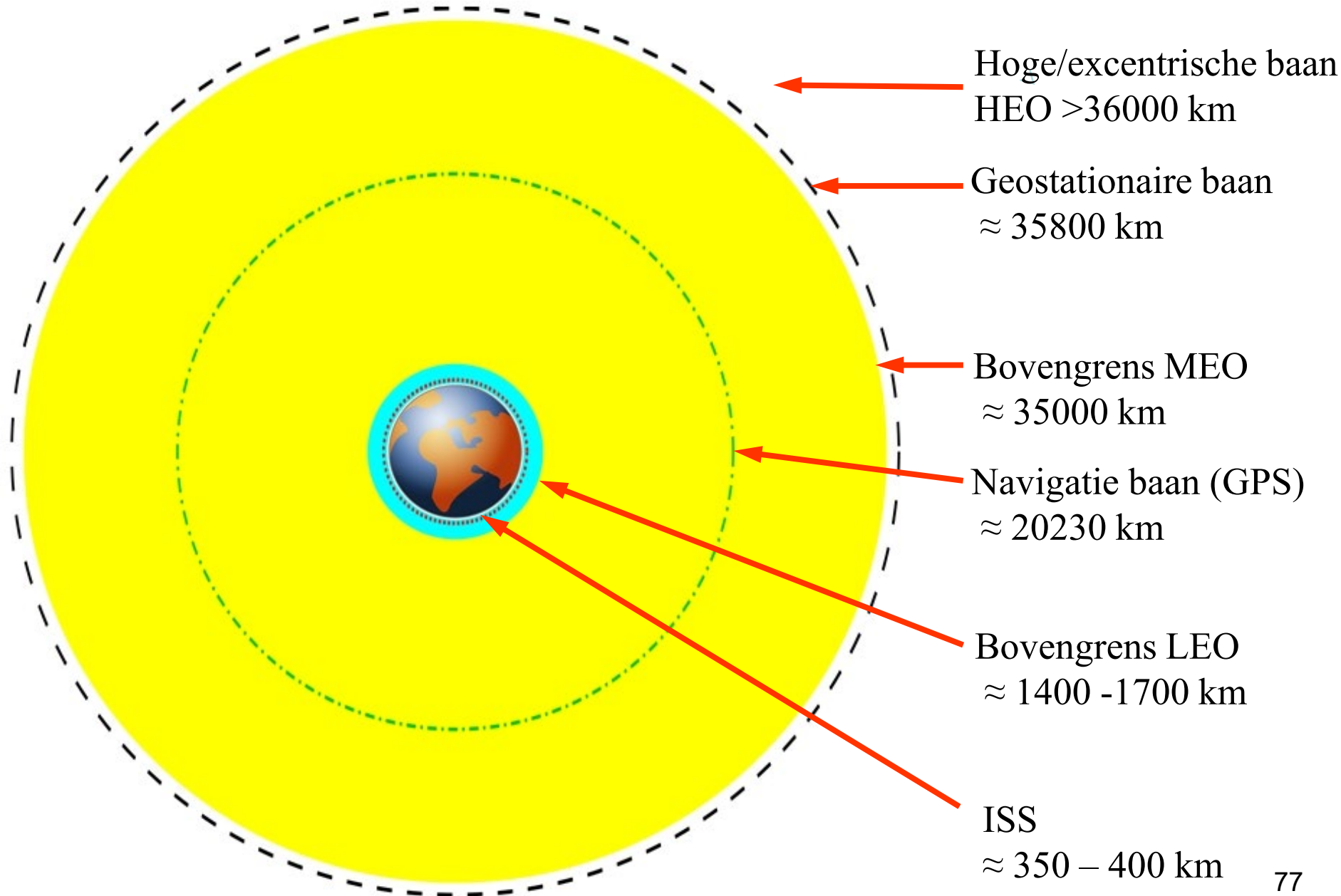
satelliet 1 ton, $M_s = 0,1 M_f$

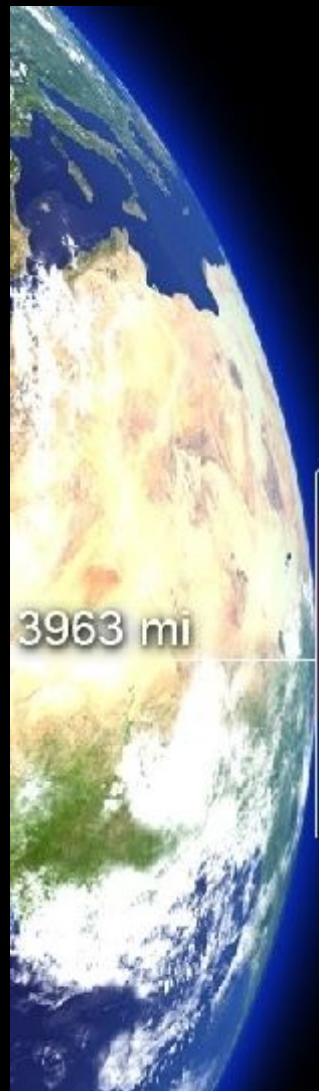
$u_e = 2,7 \text{ km/sec} \rightarrow$

$$v_{1traps} = 6,22 \text{ km/sec}$$

$$v_{2traps} = 1,61 + 5,99 = 7,60 \text{ km/sec}$$

Baanindeling naar hoogte





0 km / mi - Sea Level.

37.6 km / 23.4 mi - Self Propelled Jet Aircraft Flight Ceiling (Record Set in 1977)

215 km / 133.6 mi - Sputnik-1 The first artificial satellite of earth.

340 km / 211.3 mi - International Space Station.

390 km / 242.3 mi - Former Russian Space Station MIR.

595 km / 369.7 mi - Hubble Space Telescope.

[700 - 1700 km] - Polar Orbiting Satellites.

[435 - 1056 mi]

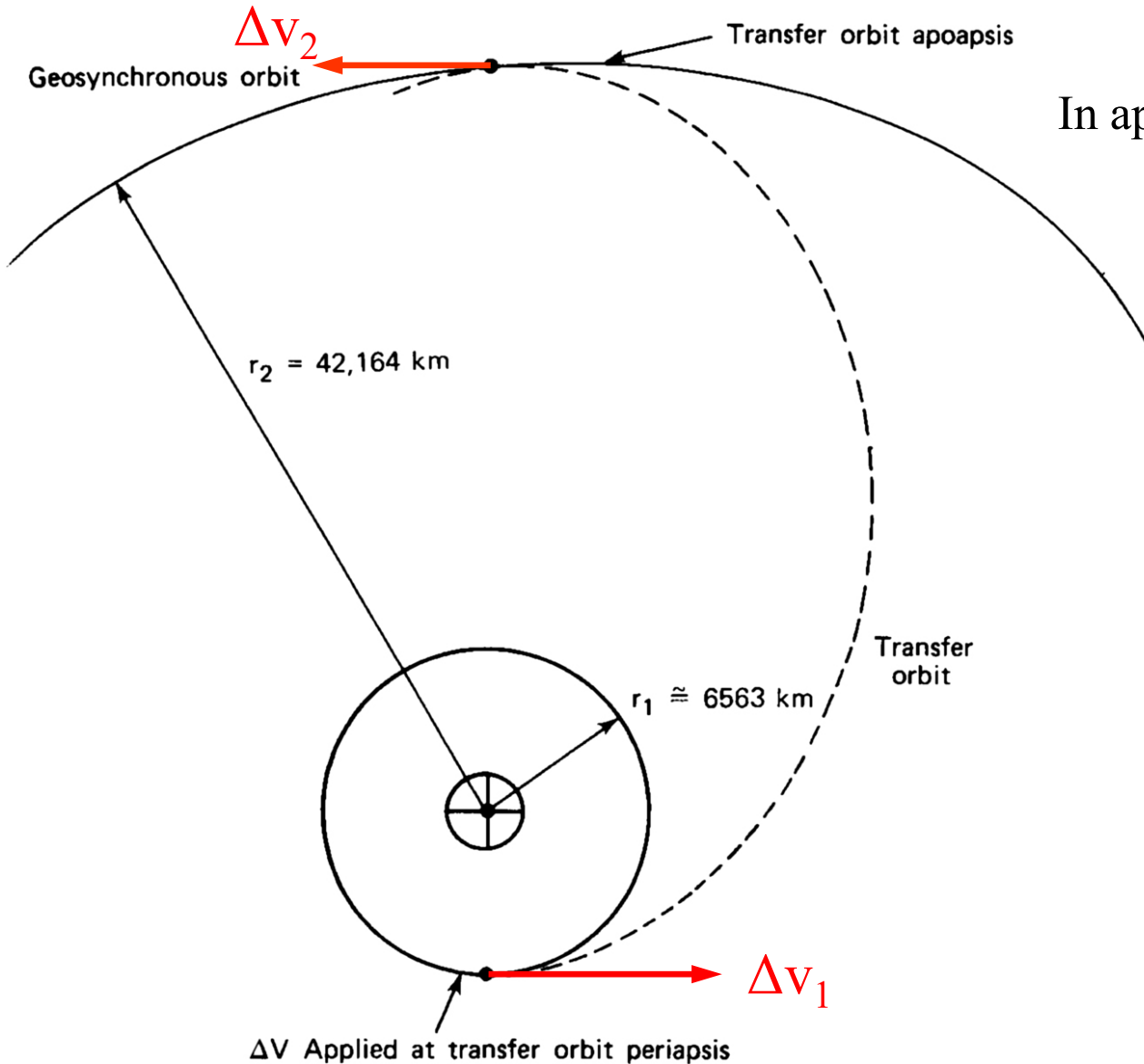
LEO Zone
(Low Earth Orbit)

MEO Zone
(Medium Earth Orbit)

2000 Km / 1243.7 mi

600 - 800 km / 372.8 - 497.1 mi - Sun-synchronous Satellites

Verhoging van het apogeum: de "transfer" baan



In apogeum /perigeum geldt:

$$\ell = r v_{\phi} = r_a v_a = r_p v_p$$

$$\Delta v_1 = v_{pTO} - \sqrt{GM/r_1}$$

$$\Delta v_2 = \sqrt{GM/r_2} - v_{aTO}$$

$$\text{Totale } \Delta v = \Delta v_1 + \Delta v_2$$

Transfer-ellips:

$$a_{TO} = \frac{r_1 + r_2}{2}$$

$$v_{aTO} = v_{pTO} \left(\frac{r_1}{r_2} \right)$$

Hyperbolische banen

$$\frac{r}{r_p} = \frac{1 + \varepsilon}{1 + \varepsilon \cos \theta}$$

Uit baanvergelijking:

$$r = \infty: \theta_a = \cos^{-1}\left(\frac{-1}{\varepsilon}\right)$$

Asymptoten : $[-\theta_a, \theta_a]$

Uit extern ref. stelsel:

$$\mathbf{v}_\infty = \mathbf{v}_m - \mathbf{v}_M$$

v_∞ = hyperbolic approach and departure velocity relative to target body M

θ_a = true anomaly of asymptotes

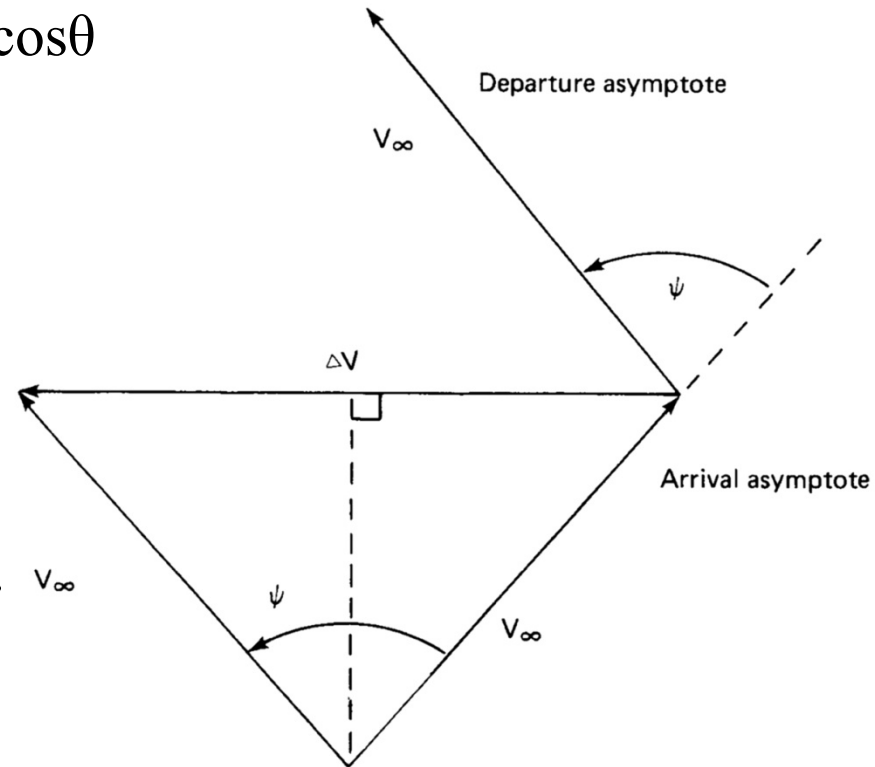
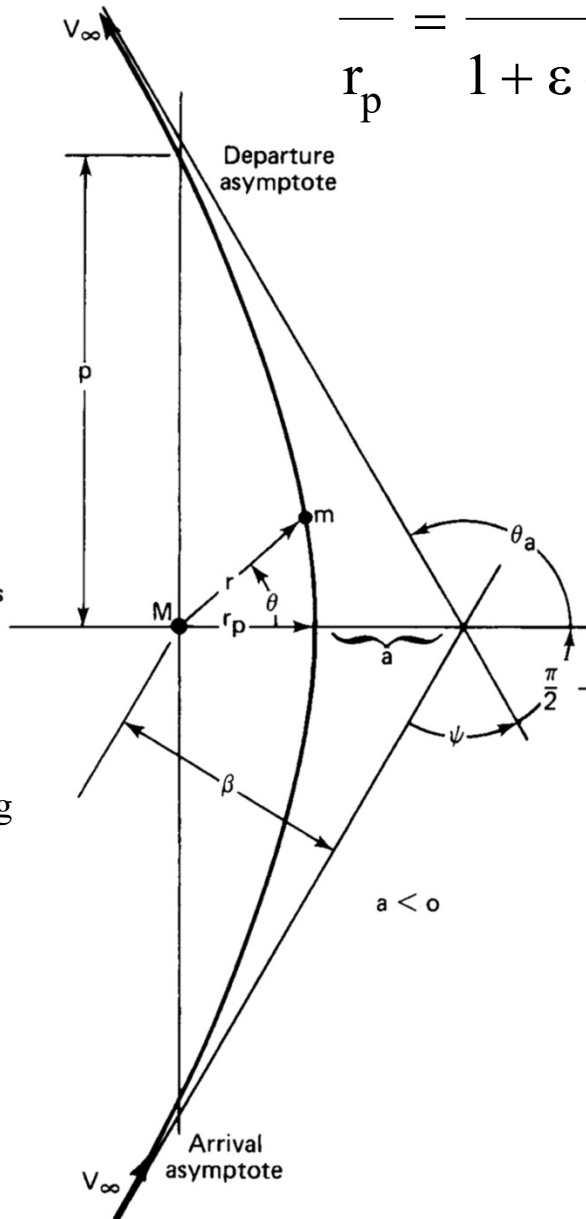
β = B-plane miss distance; offset in plane \perp to arrival asymptote

ψ = turning angle of passage

Uit de vis-viva vergelijking volgt met $r = \infty$:

$$v_\infty^2 = -\frac{GM}{a} \text{ en}$$

$$\varepsilon = \frac{r_p v_\infty^2}{GM} + 1$$



Richtingsverandering v_∞ :

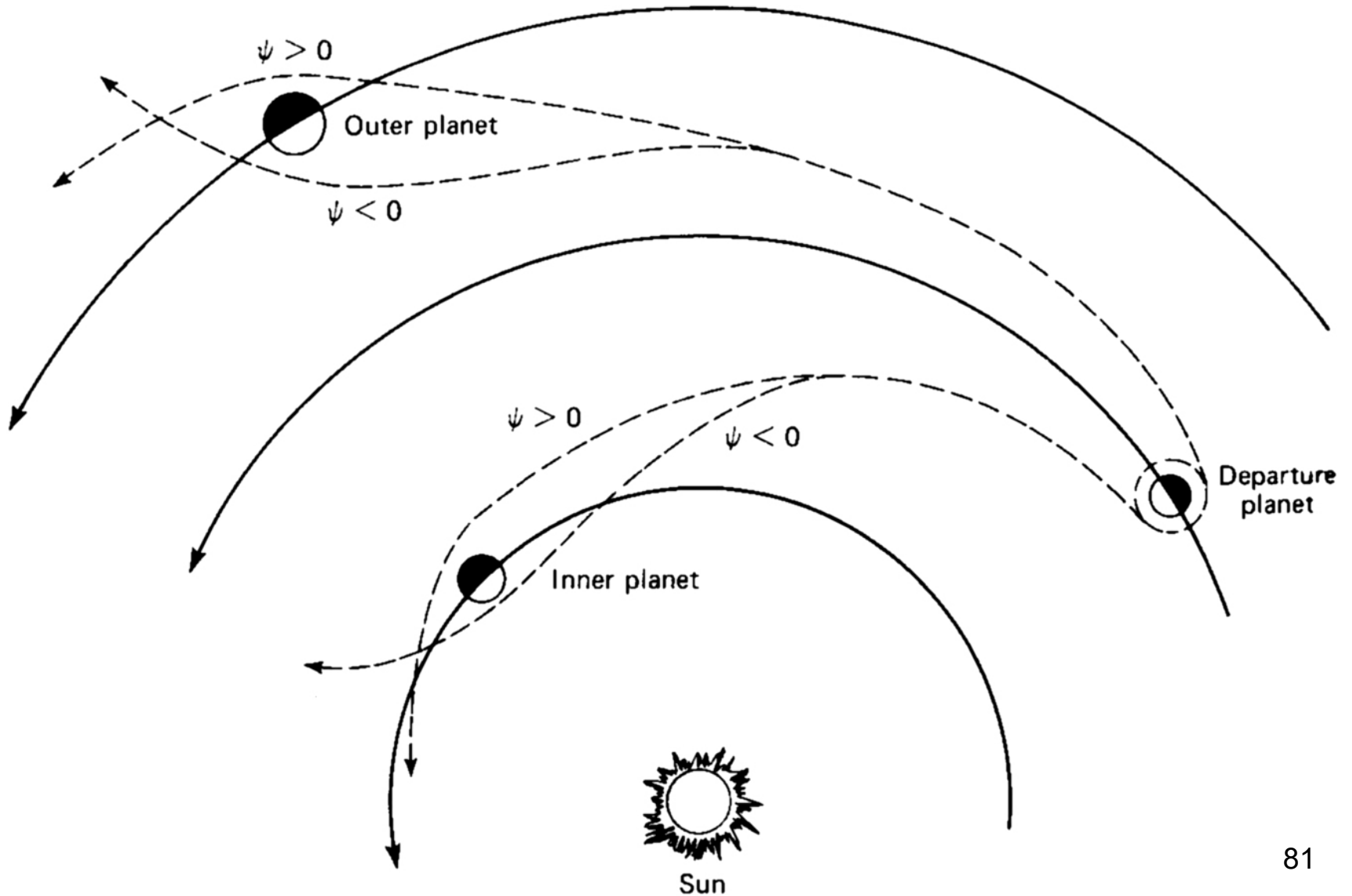
$$\psi = 2\theta_a - \pi \rightarrow$$

$$\frac{\psi}{2} = \theta_a - \frac{\pi}{2} = \sin^{-1}\left(\frac{1}{\varepsilon}\right)$$

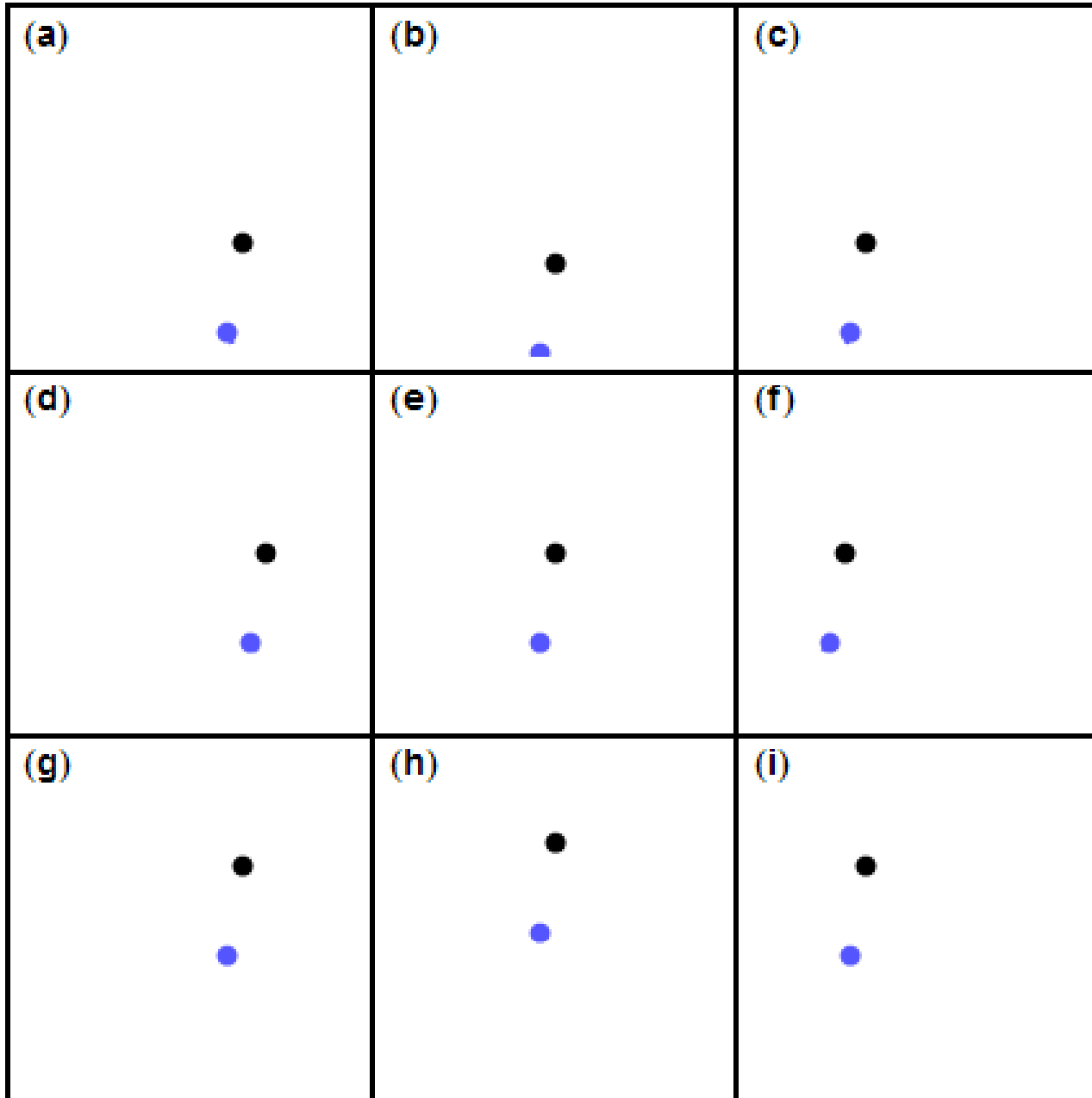
Snelheidsverandering in extern ref. stelsel:

$$|\Delta \mathbf{v}| = 2 v_\infty \sin \frac{\psi}{2} = \frac{2v_\infty}{\varepsilon}$$

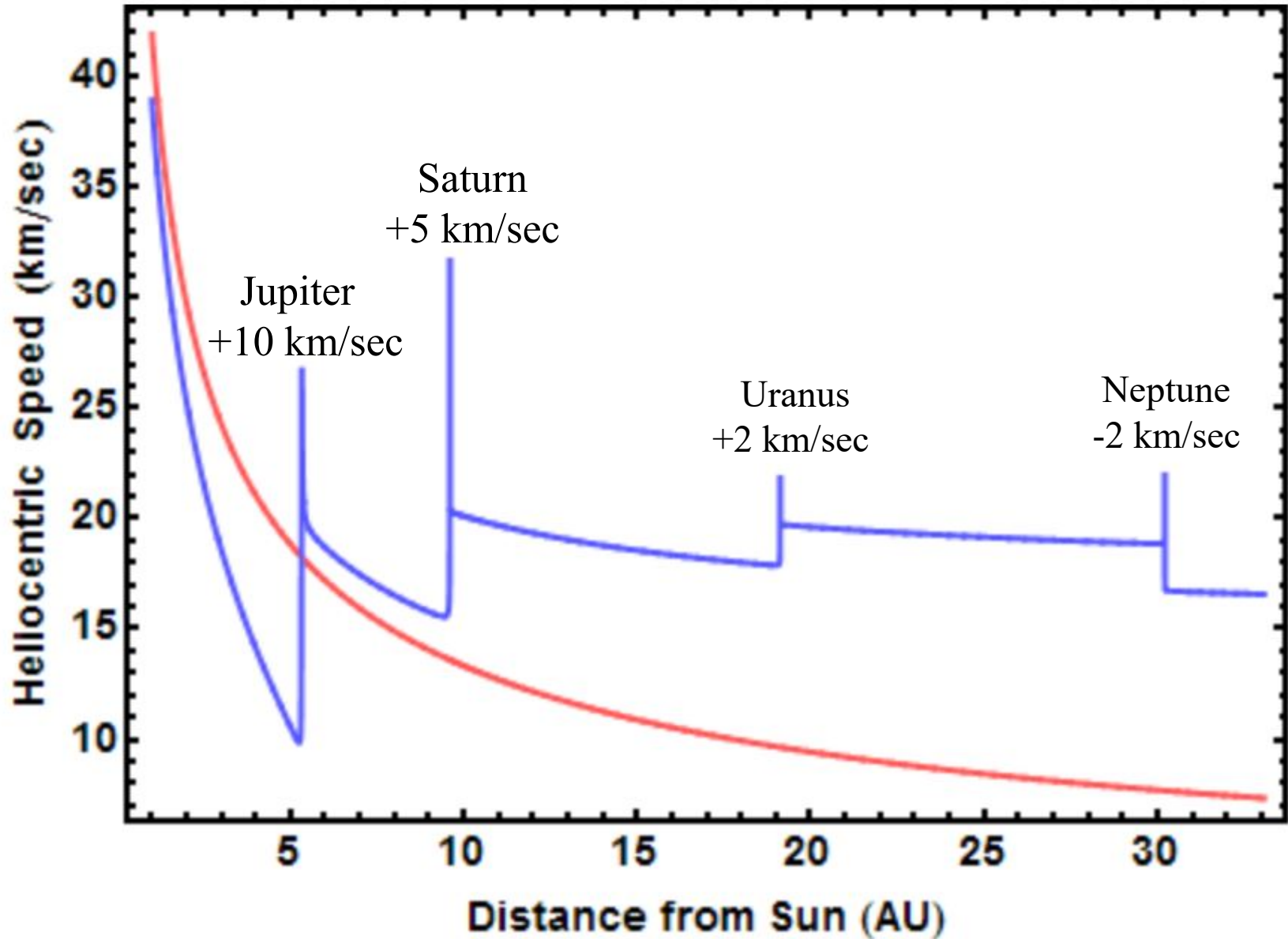
Interplanetaire banen met "gravity assist" hyperbolen



Gravity assist animation

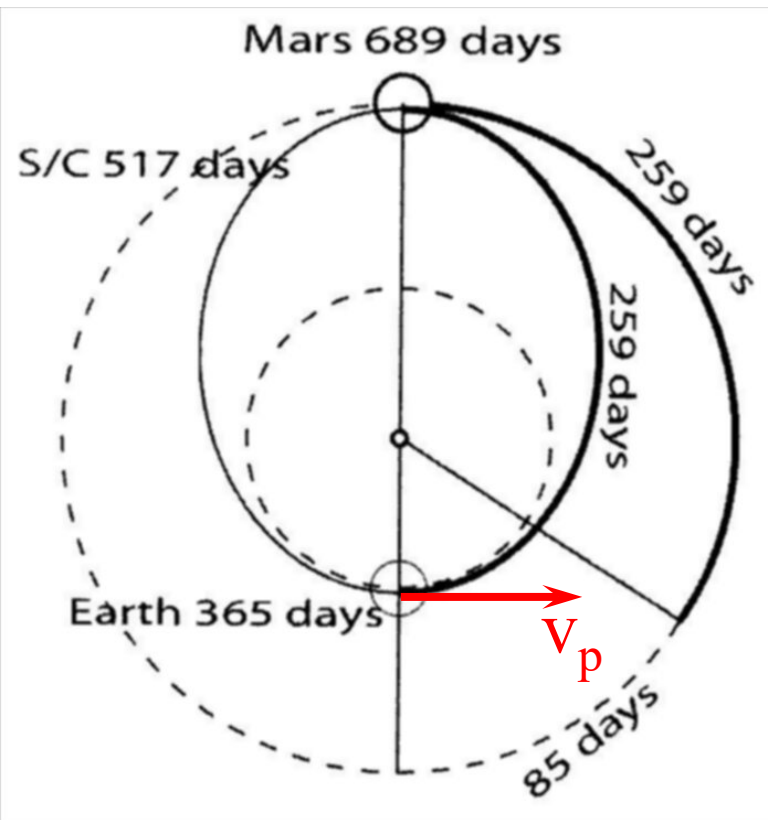


Gravity assists Voyager 2



Hyperbolische injectie naar Mars: de noodzakelijke delta-v

$$\frac{r}{r_p} = \frac{1 + \varepsilon}{1 + \varepsilon \cos\varphi}$$



$$r_{\text{Mars}} = \text{Aphelion} \rightarrow \cos\varphi = -1 \rightarrow$$

$$\frac{r_{\text{Mars}}}{r_{\text{Aarde}}} = \frac{1 + \varepsilon}{1 - \varepsilon} \rightarrow$$

$$\varepsilon = \frac{\left(\frac{r_{\text{Mars}}}{r_{\text{Aarde}}} - 1 \right)}{\left(\frac{r_{\text{Mars}}}{r_{\text{Aarde}}} + 1 \right)} = 0,208 \rightarrow$$

$$v_p = \sqrt{\frac{GM_{\text{Zon}} (1 + \varepsilon)}{r_{\text{Aarde}}}} = 32,74 \text{ km/s} \rightarrow$$

$$v_{\text{Aarde}} = 29,8 \text{ km/s} \rightarrow v_+ = v_p - v_{\text{Aarde}} = 2,94 \text{ km/s}$$

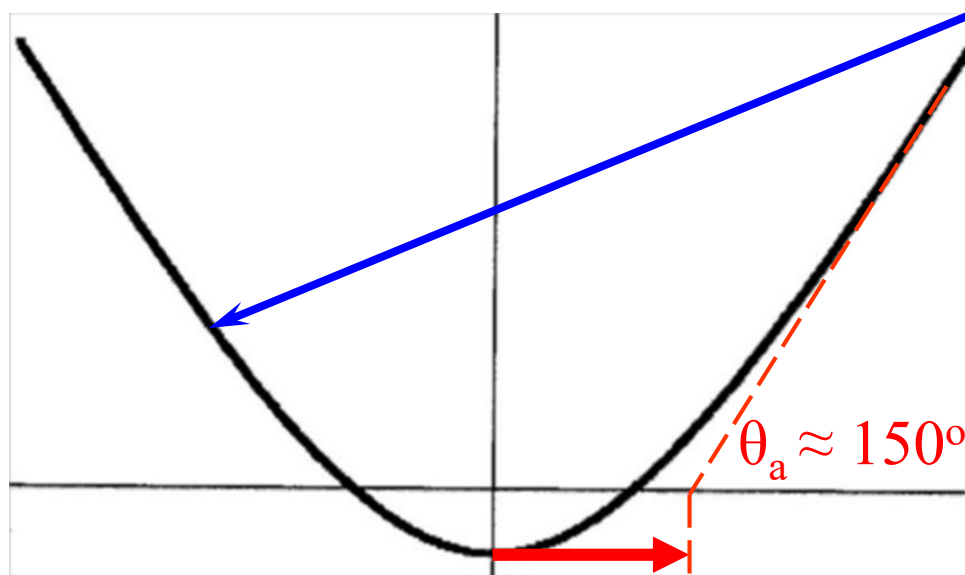
Hyperbolische injectie vanuit een 500 km baan

v_{hyp} , Δv , ε voor hyperbolische ontsnappingsbaan uit energiebalans kinetische energie:

$$\frac{1}{2} m v_+^2 = \frac{1}{2} m v_{\text{hyp}}^2 - \frac{1}{2} m v_{\text{esc}}^2, v_{\text{esc}} = v_{\text{circ}} \sqrt{2} \rightarrow v_{\text{hyp}} = \sqrt{v_+^2 + 2v_{\text{circ}}^2}$$

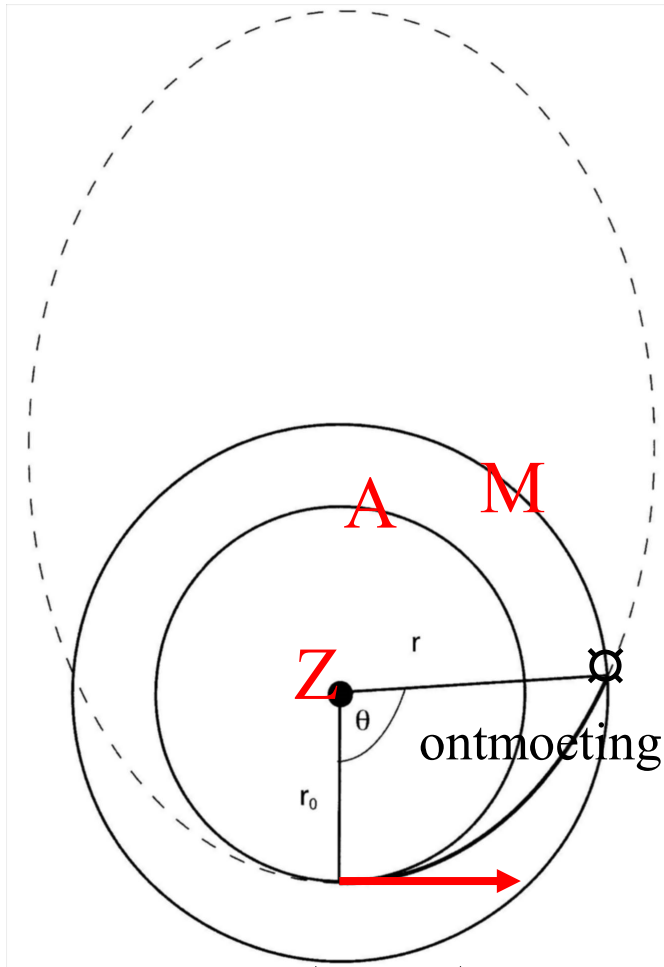
$$v_{\text{hyp}} = 11,17 \text{ km/s met } v_+ = 2,94 \text{ km/s en } v_{\text{circ}} = 7,62 \text{ km/s} \rightarrow \Delta v = 3,55 \text{ km/s}$$

$$\varepsilon = \frac{v_{\text{hyp}}^2}{v_{\text{circ}}^2} - 1 \rightarrow \varepsilon = 1,15 > 1, \text{ zoals vereist voor een hyperbolische baan!}$$

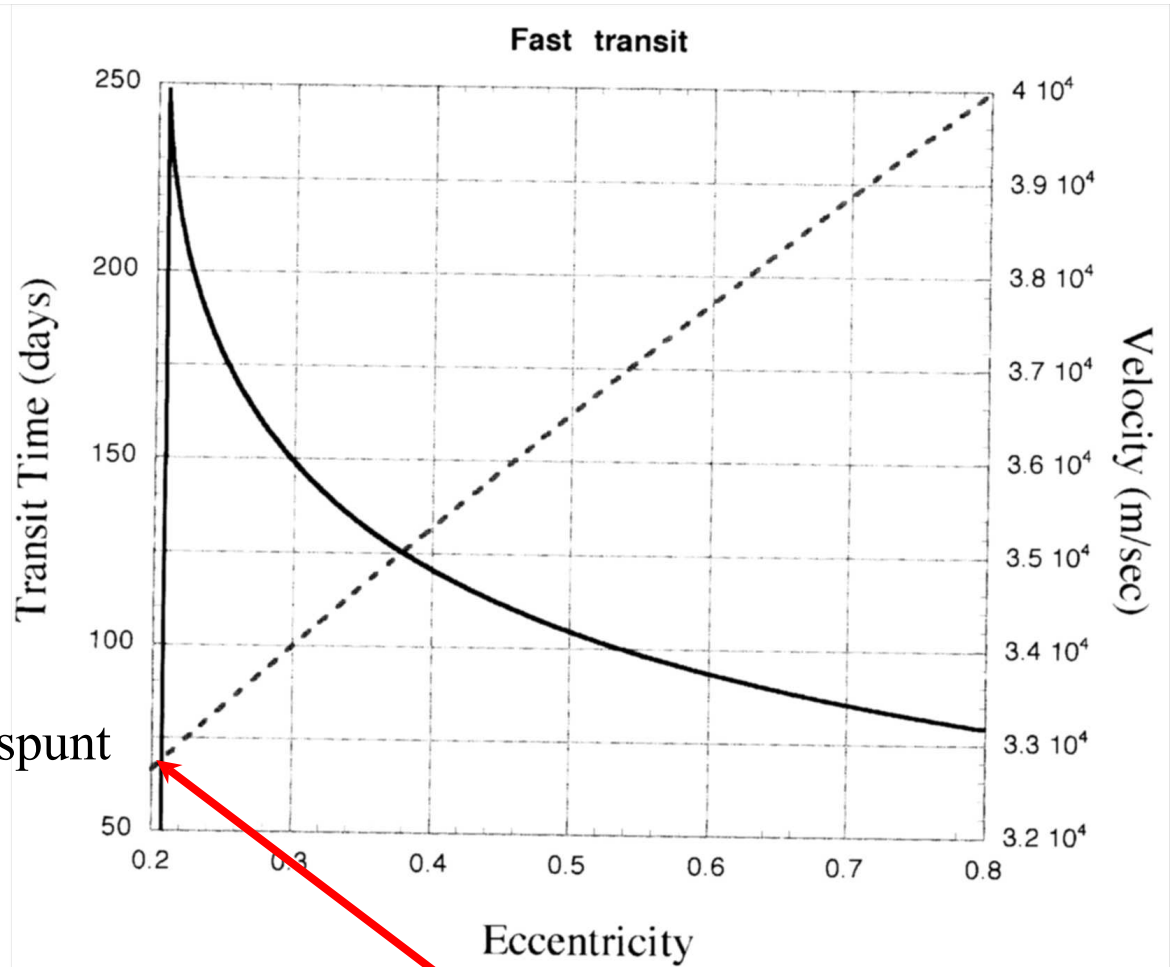


Horizontaal snelheidsincrement $\Delta v = 3,55 \text{ km/s}$ (Hohman baan)

“snelle overstek” naar Mars



$$\Delta v \gg \Delta v_{\text{Hohman}}$$

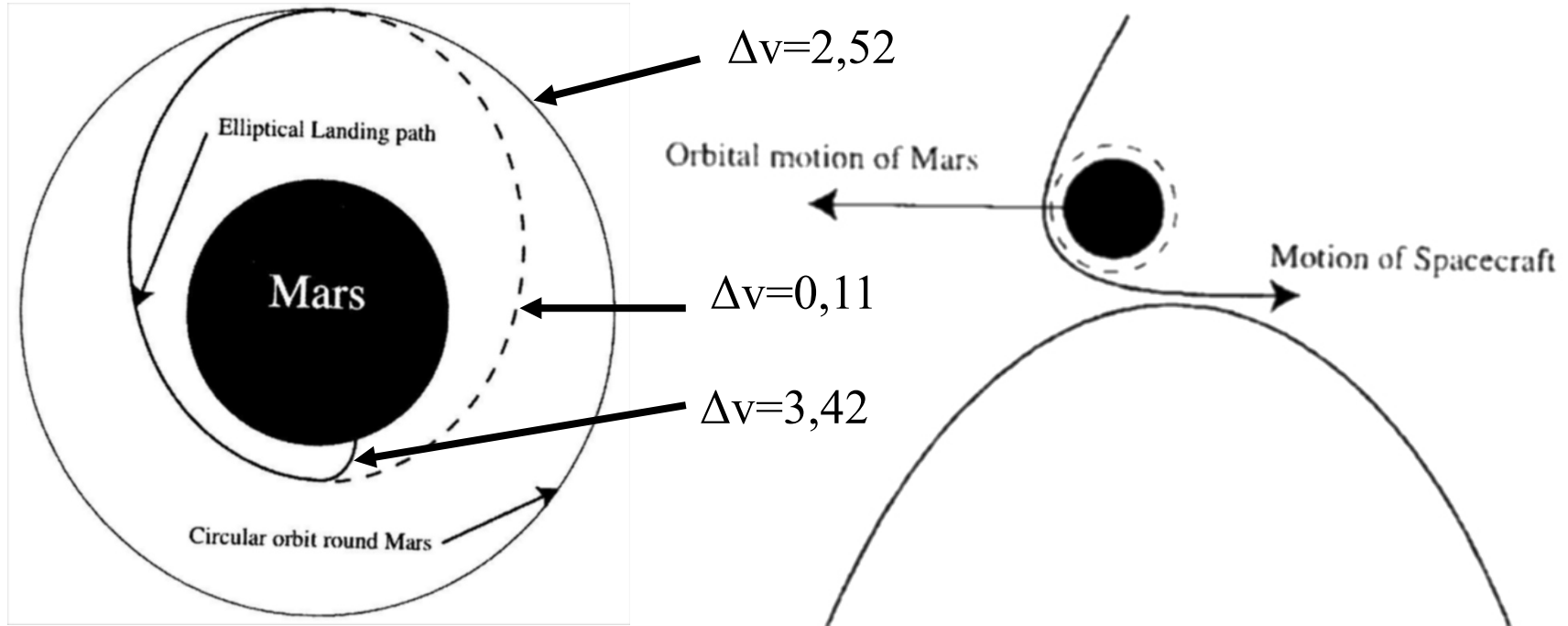


Hohman baan:
32,74 km/sec

Totale Δv noodzakelijk voor Mars round trip

- Injectie (hyp) \rightarrow Mars Hohman ellips:

$$\Delta v = 3,55 \text{ km/s}$$



- Aanvliegen(hyperbool) \rightarrow Cirkelbaan om Mars(500 km):
- Cirkel-omloopbaan \rightarrow Landings-ellips:
- Landing in rotatierichting planeet (0,242km/s):

$$\Delta v = 2,52 \text{ km/s}$$

$$\Delta v = 0,11 \text{ km/s}$$

$$\Delta v = 3,42 \text{ km/s}$$

$$\text{Totaal } \Delta v \text{ round trip } 2 \times 9,6 = 19,2 \text{ km/s}$$

An aerial photograph of a vast, layered Martian canyon system, likely the Valles Marineris. The canyon walls show distinct horizontal sedimentary layers. The floor is a mix of dark, rocky terrain and lighter, sandy areas. The sky is a hazy, orange-brown color, typical of the Martian atmosphere. The text "Expeditie Mars" is overlaid in the center in a white, serif font.

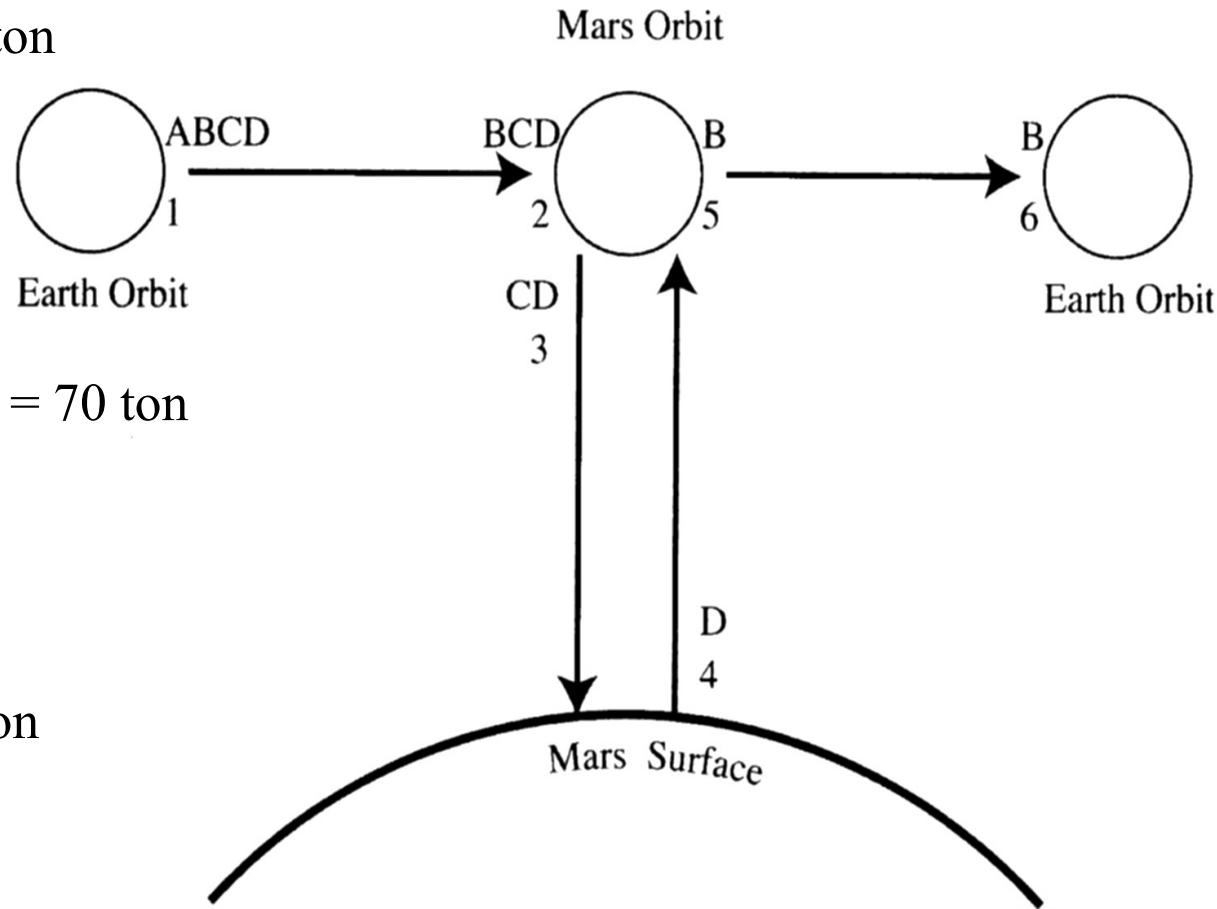
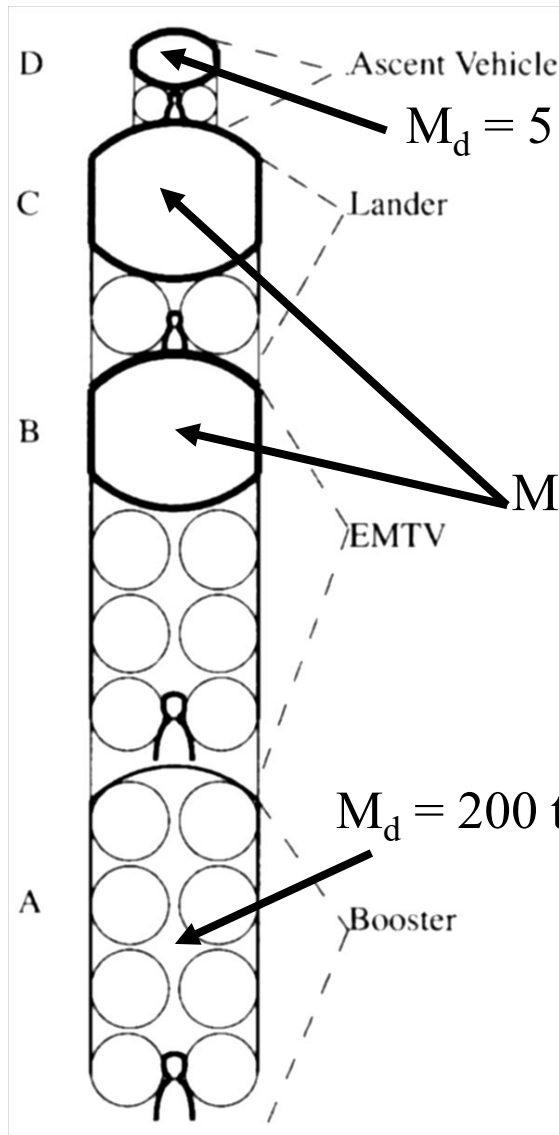
Expeditie Mars

Is (was) er leven op Mars en zullen we dat vinden?

Zo ja, wat betekent die ontdekking dan?

Mars Express (ESA) 3D image Valles Marineris (The Hour Glass)

Mars: missieprofiel



Mars: missieprofiel

Manoeuvre	Delta-V (km/s)	Multiplier	Vehicle	Fuel cost	Fuel mass (tonnes)
1	3.55	1.99	ABCD	1 ton	3,373
2	2.45	1.13	BCD	vanaf Mars	789.2
3	3.42	1.87	CD	1.87 + 1.87x1.13	157.8
4	3.42	1.87	D	+ 1.87x1.13x1.99	9.4
5	2.52	1.18	B	→ 8,2 ton	246.5
6	3.55	1.99	B	vanuit LEO	139.4

Totale massa $M_d + M_f$ in 500 km aardbaan ≈ 5000 ton = 200 shuttle-vrachten

Manoeuvre	Delta-V (km/s)	Multiplier	Vehicle	Fuel mass (tonnes)
1	3.55	1.18	ABCD	828.1
2	2.45	0.72	BCD	249.6
3	3.42	1.12	CD	90.3
4	3.42	1.12	D	5.6
5	2.52	0.73	B	113.4
6	3.55	1.18	B	82.6

Totale massa $M_d + M_f$ (koeling!) in aardbaan ≈ 1600 ton = 65 shuttle-vrachten

Fuel saving: aero-capture/braking, gravity assist

Hyperbolic approach trajectory
in Mars gravity field

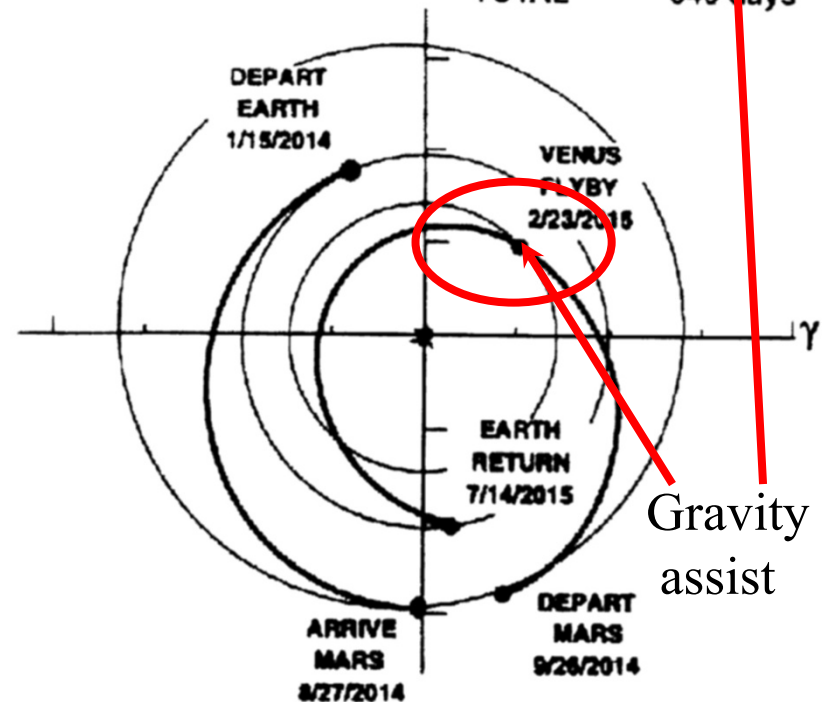
Rocket Burn! $\epsilon > 1 \rightarrow \epsilon < 1$
to allow aerocapture

Aerobraking!
ellipses 100 turn steps

Rocket Burn!
to enter landing ellipse

Shorter voyage: supplies!

MISSION TIMES	
OUTBOUND	224 days
STAY	30 days
RETURN	291 days
<hr/>	
TOTAL	545 days



Δv_{Mars} saving ≈ 4.9 km/s
 Δv_{Aarde} saving ≈ 3.2 km/s

$\rightarrow \Delta v_{\text{total}}$ reduced from 19.2 to 11.1 km/s
 saving ≈ 3000 ton of storable propellant

Nuclear Propulsion for a Mars expedition

Manoeuvre	Delta-V (km/s)	Multiplier	Vehicle	Fuel mass (LH ₂ /O ₂)	Fuel mass (nuclear)
1	3.55	0.43	ABCD	828	155
2	2.45	0.30	BCD	250	74.4
3	3.42	0.45	CD	90	34.8
4	3.42	0.45	D	5.6	2.3
5	2.52	0.31	B	113	32.2
6	3.55	0.48	B	83	33.6

Total nuclear fuel \approx 330 ton \approx fuel requirement present SEP

- All Nuclear Mars mission: thrusting times -

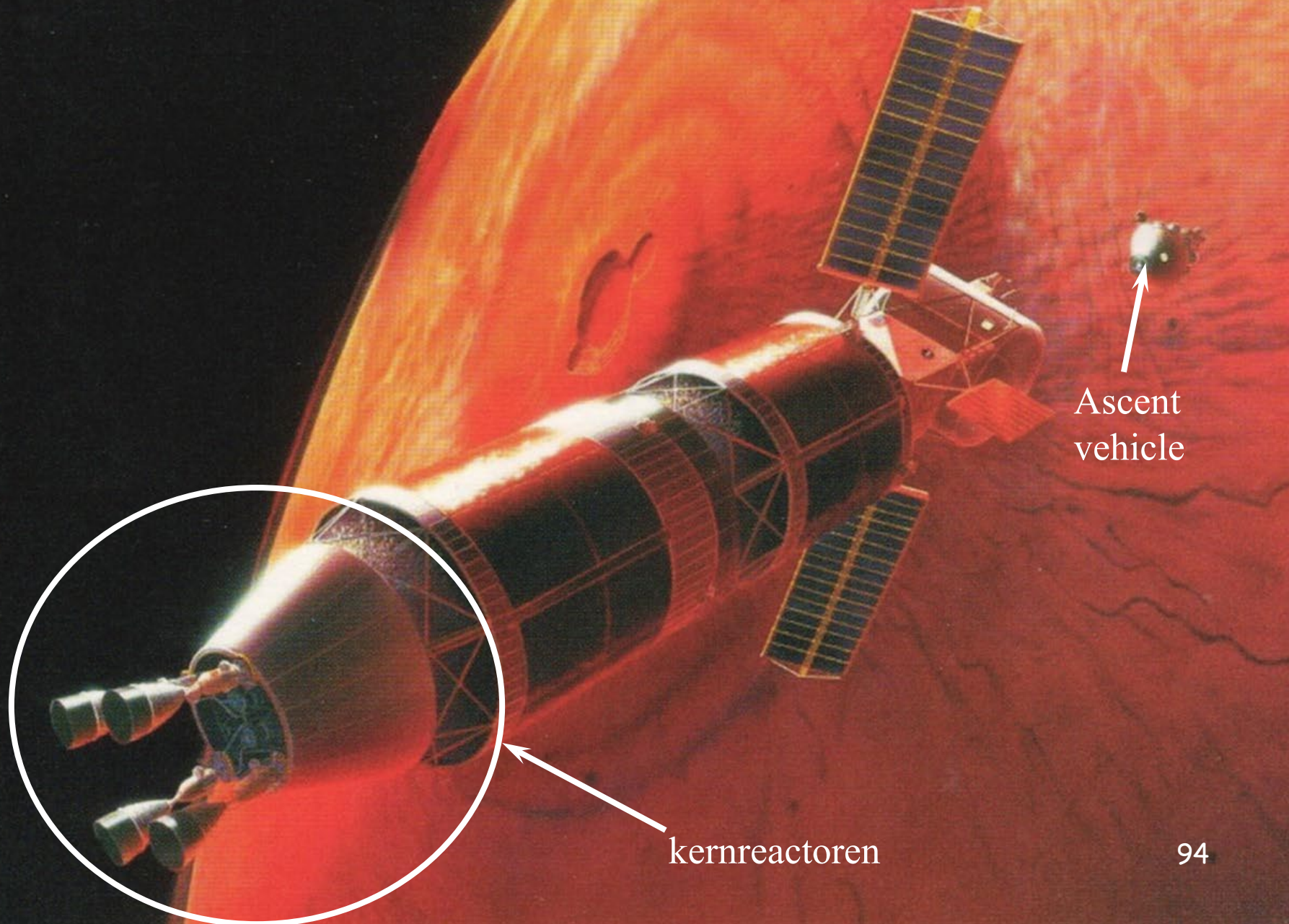
Thrusting time for capture into circular Earth orbit (6):

$$t_T \approx 1000 \text{ sec } (M_0 = M_{\text{EMTV}} + M_f \approx 105 \text{ ton}) \approx 1/5 \text{ circular orbital period}$$

Thrusting time Earth-Mars transfer orbit (1):

$$t_T \approx 1.2 \text{ hour } (M_0 = M_{\text{EMTV}} + M_L + M_{\text{ASC}} + M_f \approx 480 \text{ ton}) < \text{orbital period } 93$$

Return module B in Marsbaan met nucleaire aandrijving

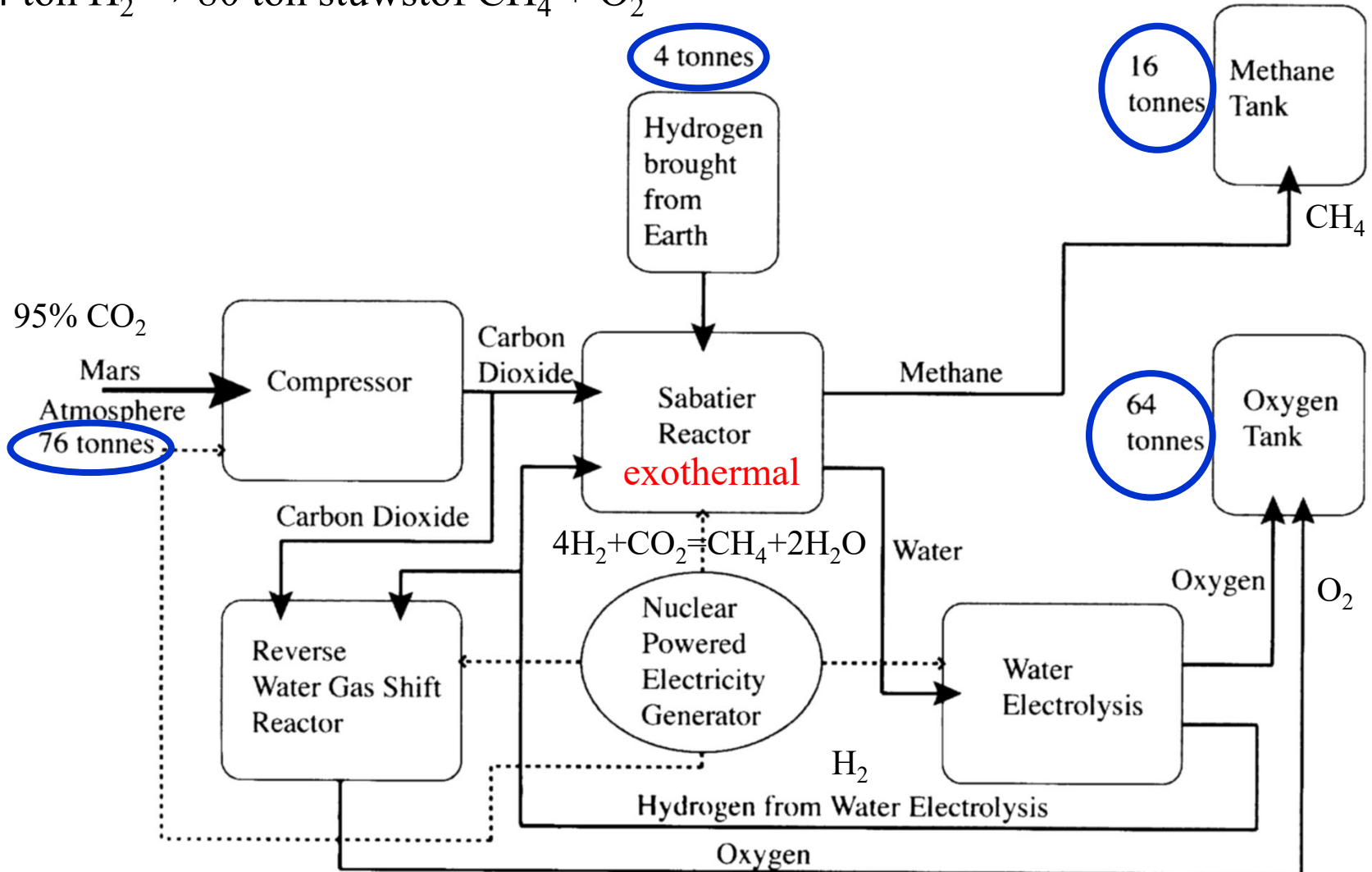


Ascent
vehicle

kernreactoren

MARS: in situ productie CH₄ en O₂

4 ton H₂ → 80 ton stuwstof CH₄ + O₂



Short-term Mars mission: hybrid

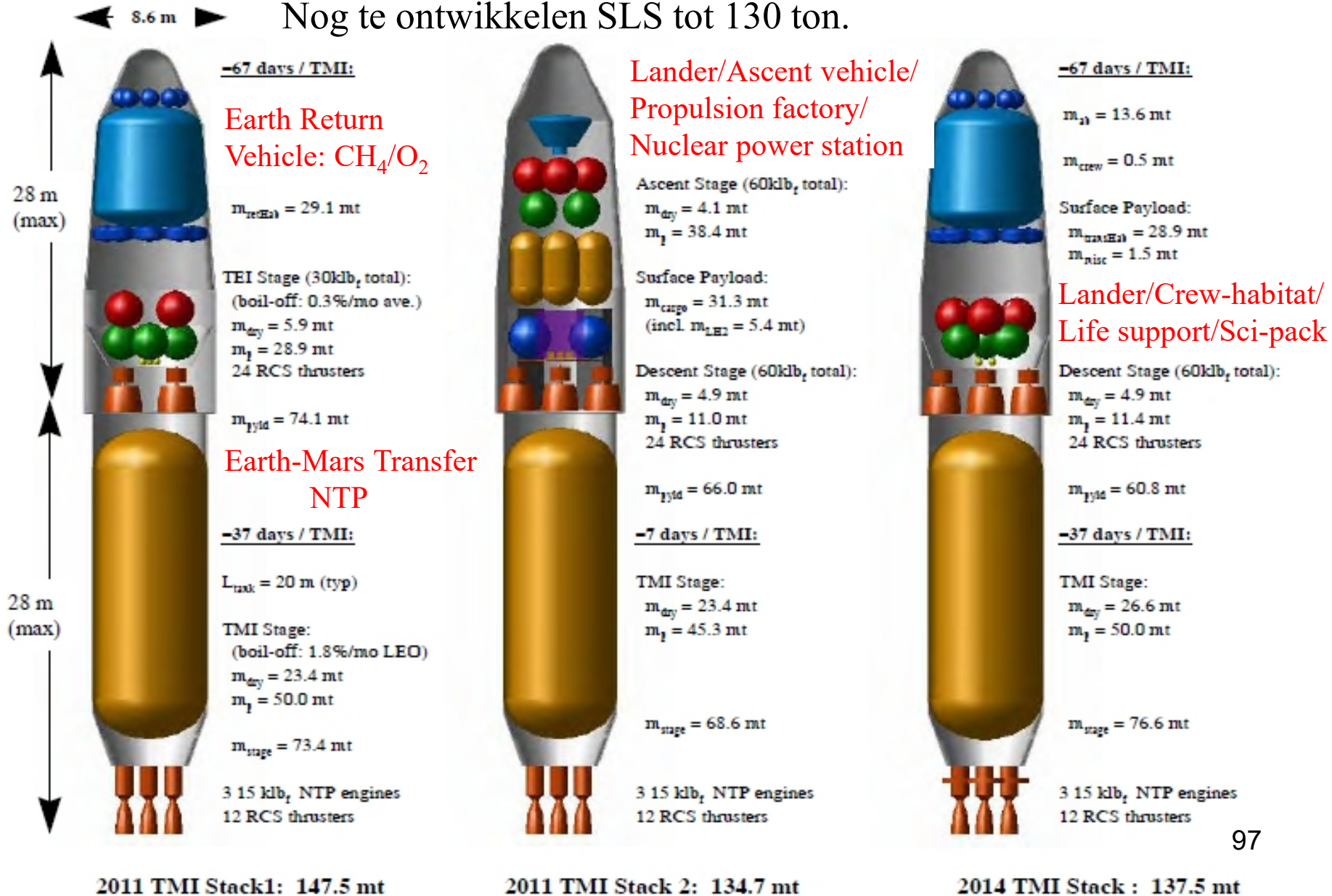
- Earth-Mars transfer: Nuclear Thermal Propulsion
- Mars capture/orbit circularisation: aerocapture (including braking chutes) + chemical burning assist
- Mars landing: chemical propulsion + aerobraking
- Ascent into Mars orbit: Chemical (in situ produced)
- Earth Return transfer: Chemical propulsion
- Earth capture/landing: Aerocapture/braking

Total mass ≈ 500 ton, $M_f/M_d \approx 1$

NASA: Mars Reference Mission-3

6 lanceringen met 80-ton Heavy Lifter (Booster) naar Low Earth Orbit (500 km)

Nog te ontwikkelen SLS tot 130 ton.



Standregeling van een ruimtevoertuig

- ❑ Vectoren: inwendig en uitwendig product
- ❑ Referentiestelsels: inertiaal en niet-inertiaal
- ❑ Rotatie dynamica: bewegingsvergelijking
- ❑ Stoorkoppels
- ❑ Passieve standregeling
- ❑ Actieve standregeling: terugkoppeling
- ❑ Standsensoren
- ❑ Standactuatoren
- ❑ Operationele modi

Inwendig en uitwendig product van vectoren

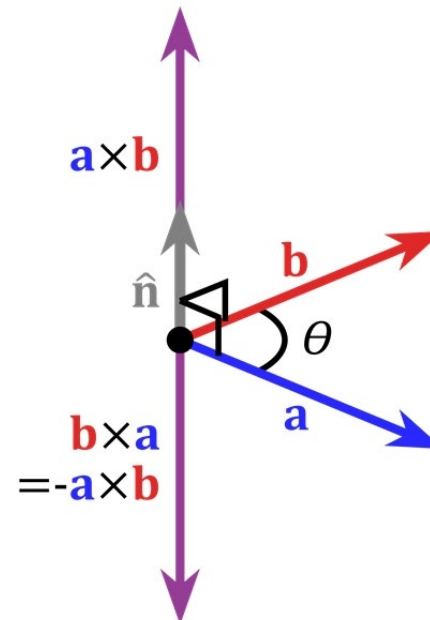
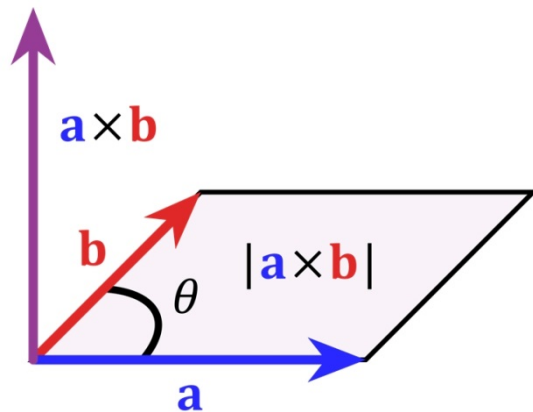
$$\mathbf{a} = a_1\mathbf{i} + a_2\mathbf{j} + a_3\mathbf{k}$$

$$\mathbf{b} = b_1\mathbf{i} + b_2\mathbf{j} + b_3\mathbf{k}$$

Inwendig product: $\mathbf{a} \cdot \mathbf{b} = |\mathbf{a}||\mathbf{b}|\cos \theta$ (scalar)

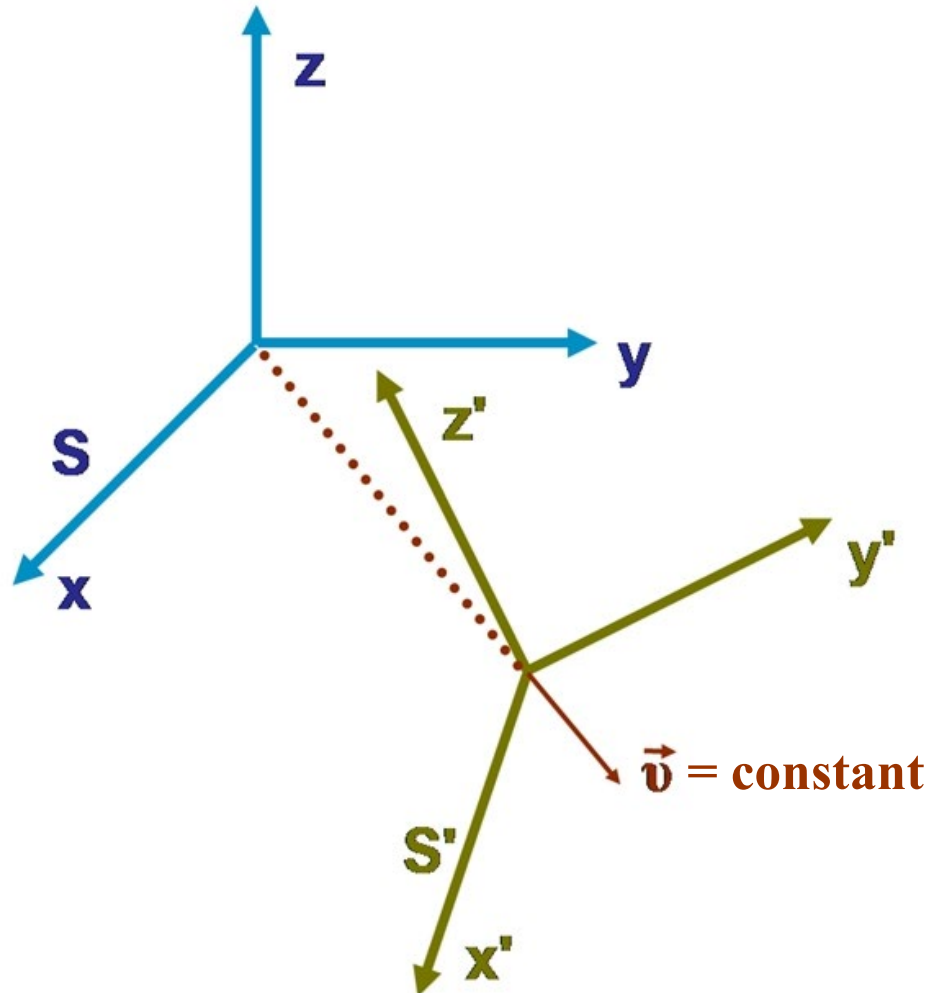
Uitwendig (vector) product: $\mathbf{a} \times \mathbf{b} = \begin{vmatrix} \mathbf{i} & \mathbf{j} & \mathbf{k} \\ a_1 & a_2 & a_3 \\ b_1 & b_2 & b_3 \end{vmatrix}$ (vector)

$$|\mathbf{a} \times \mathbf{b}| = |\mathbf{a}||\mathbf{b}|\sin \theta$$



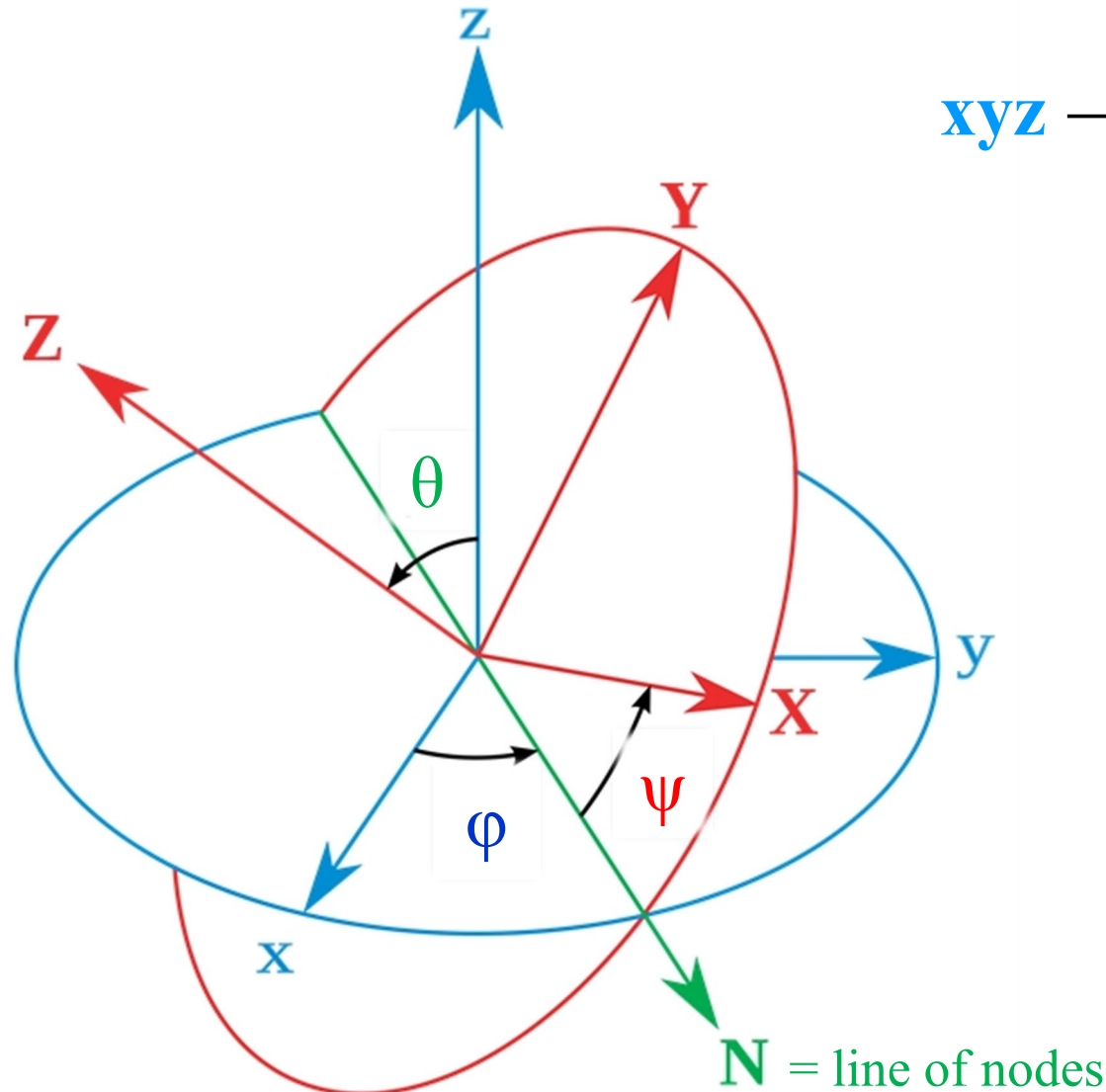
Inertiaal stelsels

- **Inertiaal stelsels** zijn referentiestelsels die ten opzichte van elkaar (dus relatief) in rust zijn of met eenparige snelheid rechtlijnig bewegen: er is dus geen sprake van versnelling!



Euler Hoeken

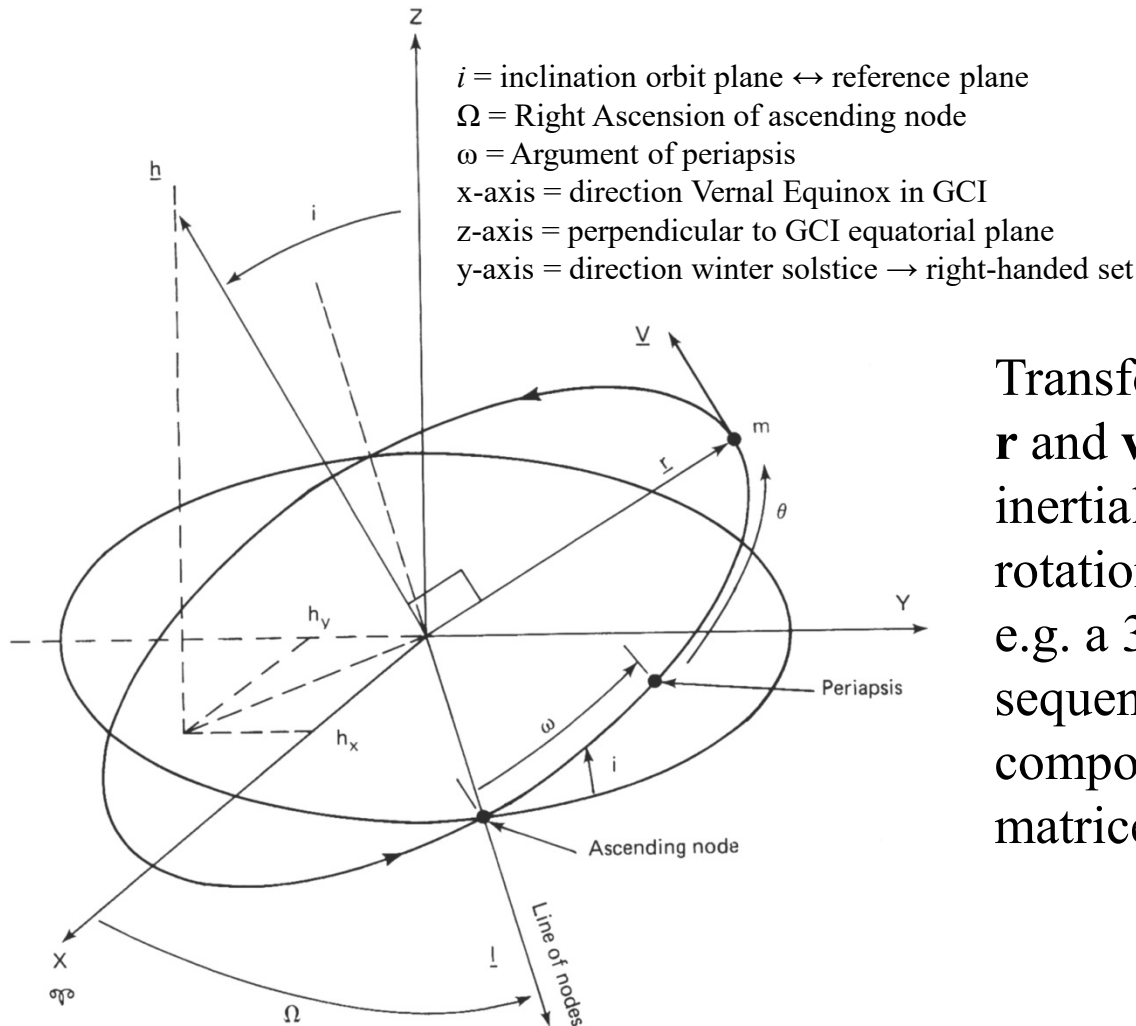
- Worden toegepast bij het beschrijven van de rotatie van een stijf lichaam
Vb. linksomdraaiend over φ (om z), θ (om \mathbf{N}), ψ (om \mathbf{Z}): rotatie 3-1-3



$xyz \rightarrow XYZ$

Inertial Reference systems in astrodynamics

- From orbital plane coordinates (r, φ) to an inertial reference system (GCI)
 Geocentric Inertial System (GCI): reference earth's equatorial plane, no rotation, earth's orbital acceleration around the sun is neglected \rightarrow inertial reference system.
- Heliocentric Inertial System (HCI): reference solar system ecliptic plane



Transformation of the orbit vectors \mathbf{r} and \mathbf{v} into their equivalents in inertial space is carried out by rotational transformation through e.g. a 3-1-3 Euler angle rotation sequence ($\varphi = \Omega$, $\theta = i$, $\psi = \omega$) composed of the elementary rotation matrices $[\mathbf{T}]_{\Omega}$, $[\mathbf{T}]_i$ and $[\mathbf{T}]_{\omega}$.

The 3-1-3- transformation matrix

The elementary rotation matrices comprise the following elements

$$[\mathbf{T}]_{\Omega} = \begin{bmatrix} \cos \Omega & -\sin \Omega & 0 \\ \sin \Omega & \cos \Omega & 0 \\ 0 & 0 & 1 \end{bmatrix}, [\mathbf{T}]_i = \begin{bmatrix} 1 & 0 & 0 \\ 0 & \cos i & -\sin i \\ 0 & \sin i & \cos i \end{bmatrix}, [\mathbf{T}]_{\omega} = \begin{bmatrix} \cos \omega & -\sin \omega & 0 \\ \sin \omega & \cos \omega & 0 \\ 0 & 0 & 1 \end{bmatrix}$$

The transformation matrix, in combined form, for the conversion of orbital coordinates into GCI-coordinates can be obtained from:

$$[\mathbf{T}]_{\text{orb} \rightarrow \text{GCI}} = [\mathbf{T}]_{\Omega} \cdot [\mathbf{T}]_i \cdot [\mathbf{T}]_{\omega} \quad \text{! proper multiplication (rotation) sequence essential, multiplication of matrices is not commutative !}$$

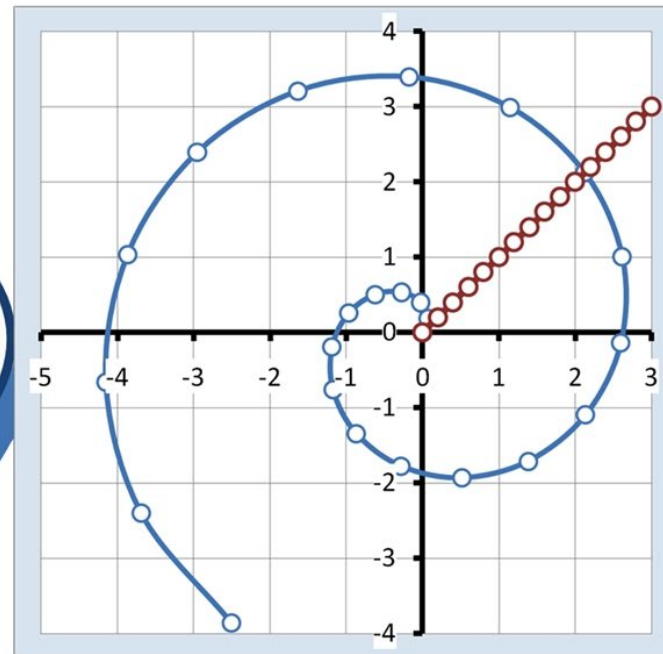
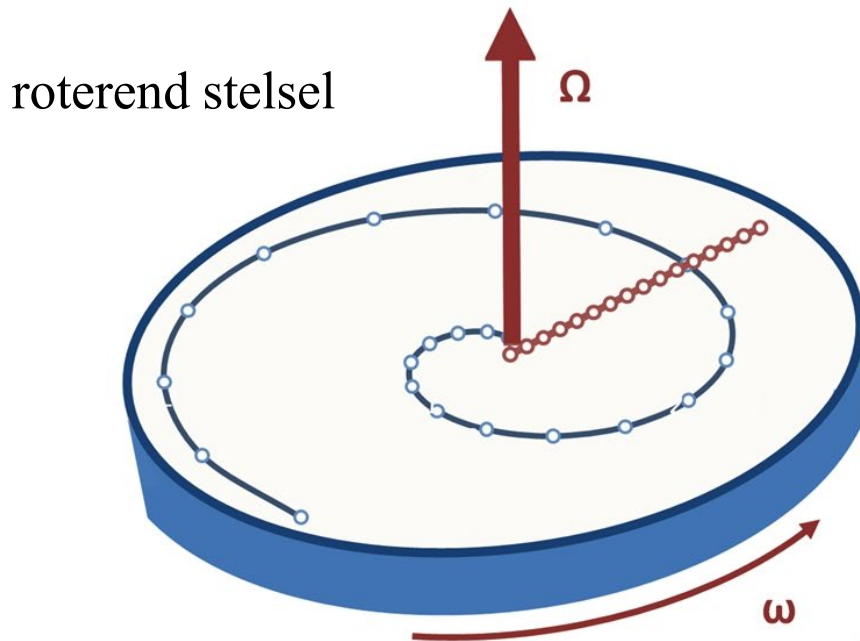
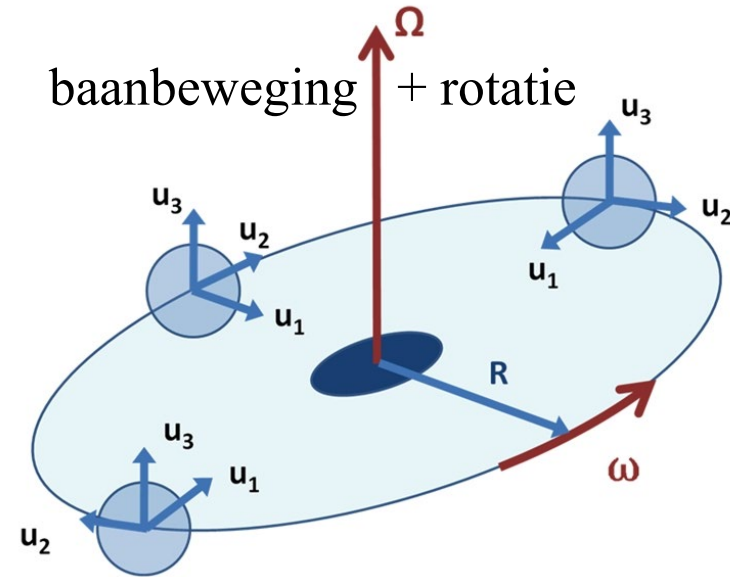
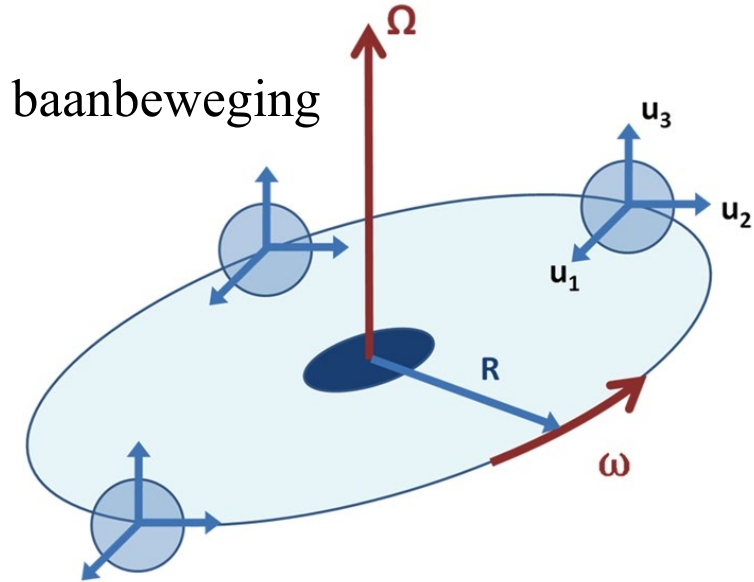
The GCI coordinates follow from:

$$\begin{bmatrix} x_{\text{GCI}} \\ y_{\text{GCI}} \\ z_{\text{GCI}} \end{bmatrix} = \begin{bmatrix} \cos \omega \cos \Omega - \cos i \sin \omega \sin \Omega & -\cos \Omega \sin \omega - \cos i \cos \omega \sin \Omega & \sin \Omega \sin i \\ \cos \omega \sin \Omega + \cos \Omega \cos i \sin \omega & \cos \omega \cos i \cos \Omega - \sin \omega \sin \Omega & -\cos \Omega \sin i \\ \sin i \sin \omega & \cos \omega \sin i & \cos i \end{bmatrix} \cdot \begin{bmatrix} x_{\text{orb}} \\ y_{\text{orb}} \\ z_{\text{orb}} \end{bmatrix}$$

$[\mathbf{T}]_{\text{orb} \rightarrow \text{GCI}}$ is an orthonormal matrix, the inverse transform is then given by $[\mathbf{T}]_{\text{orb} \rightarrow \text{GCI}}^T$, the transposed matrix of $[\mathbf{T}]_{\text{orb} \rightarrow \text{GCI}}$. By applying $[\mathbf{T}]_{\text{orb} \rightarrow \text{GCI}}^T$, the orbital coordinates can in turn be expressed in terms of the GCI coordinates:

$$\begin{bmatrix} x_{\text{orb}} \\ y_{\text{orb}} \\ z_{\text{orb}} \end{bmatrix} = [\mathbf{T}]_{\text{orb} \rightarrow \text{GCI}}^T \cdot \begin{bmatrix} x_{\text{GCI}} \\ y_{\text{GCI}} \\ z_{\text{GCI}} \end{bmatrix}$$

Niet-Inertiaalstelsels: in baanbeweging of roterend



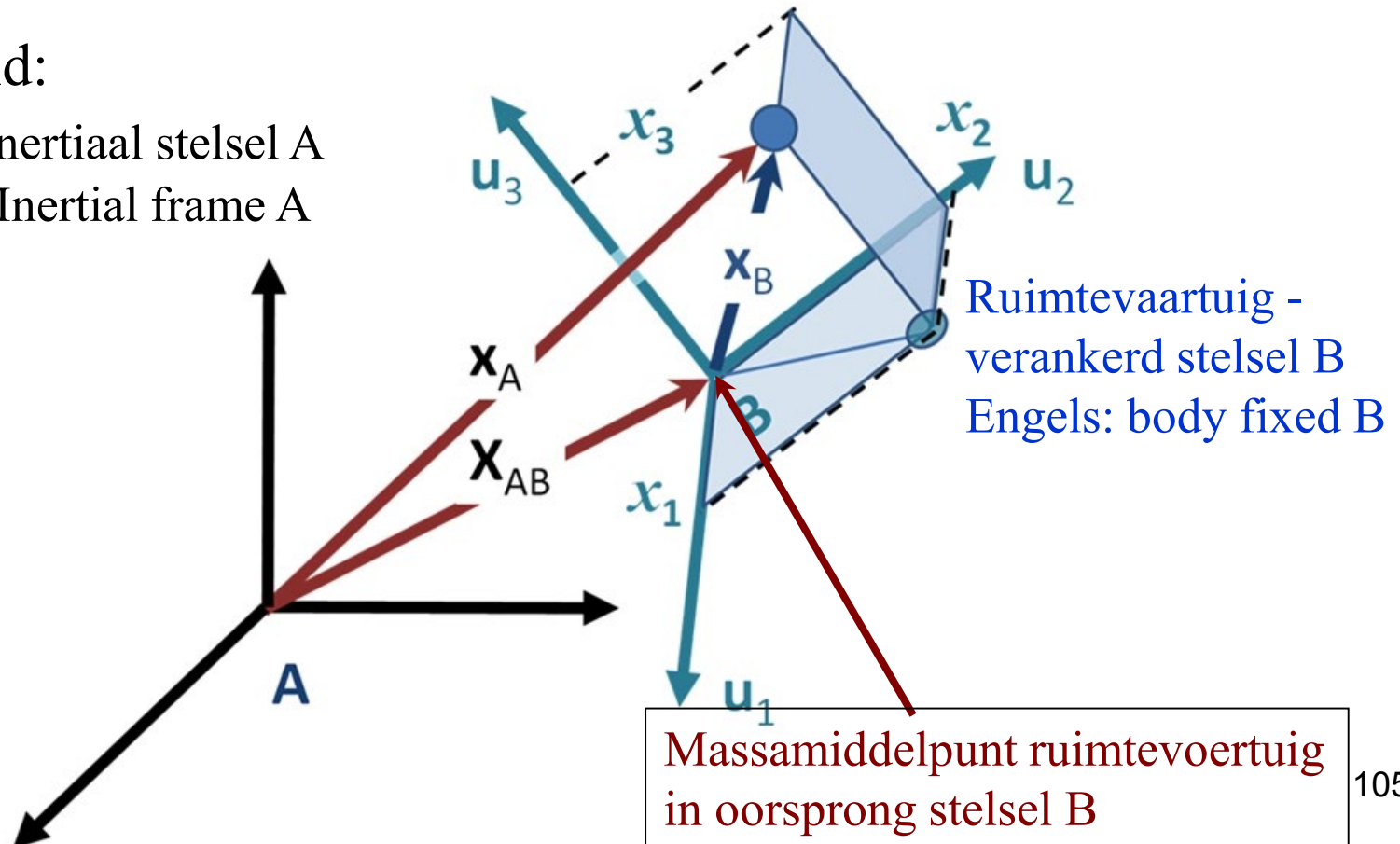
Stand van een ruimtevoertuig

- Definitie:

Hoekorientatie van een aan het ruimtevaartuig verankerd coördinaatstelsel t.o.v. een apart gedefinieerd extern stelsel

- Voorbeeld:

Extern inertiaal stelsel A
Engels: Inertial frame A



Krachtkoppel en draai-impulsmoment

Draai-impulsmoment: $\mathbf{L} = \mathbf{r} \times \mathbf{p}$ ($\mathbf{p} = m\mathbf{v} = \text{impuls}$)

Roterende puntmassa: $\mathbf{L} = m\mathbf{r} \times \mathbf{v}$ (\mathbf{r} vanuit rotatiemiddelpunt)

Roterend stijf lichaam: $\mathbf{L} = \sum \mathbf{r}_i \times \mathbf{p}_i = \sum m_i \mathbf{r}_i \times (\boldsymbol{\omega} \times \mathbf{r}_i) = [\mathbf{I}] \cdot \boldsymbol{\omega}$

Rotatie-as is een symmetrie-as van het lichaam: $[\mathbf{I}] = \text{scalar}$, \mathbf{L} en $\boldsymbol{\omega}$ parallel!

Rotatie-as is geen symmetrie-as: $[\mathbf{I}]$ is een 3 x 3 symmetrische matrix,
 $[\mathbf{I}] = \text{traagheidsmatrix}$, \mathbf{L} en $\boldsymbol{\omega}$ niet parallel!

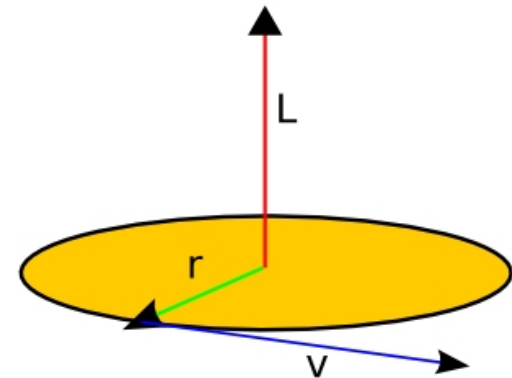
Afgesloten systeem: $\mathbf{L} = \text{constant}$

Extern krachtkoppel \mathbf{T} (vectorsom) :

$$\mathbf{T} = \dot{\mathbf{L}} = [\dot{\mathbf{I}}] \cdot \boldsymbol{\omega} + [\mathbf{I}] \cdot \dot{\boldsymbol{\omega}}$$

In inertiaal systeem $[\dot{\mathbf{I}}] \neq 0 \rightarrow$ kies daarom voor verankering van de referentie-assen aan het stijve lichaam met het massamiddelpunt als oorsprong!

Engels: "*body-fixed centre of mass frame*"



De traagheidsmatrix

De traagheidsmatrix $[\mathbf{I}]$:

- diagonale termen zijn traagheidsmomenten I_{xx}, I_{yy}, I_{zz}
- niet-diagonale termen zijn traagheidsproducten $I_{xy}, I_{xz}, I_{yz}, \dots$

Stelling:

Er is altijd een body-fixed assenstelsel te vinden waarin de **traagheidsproducten nul zijn**, dat zijn de hoofdtraagheidsassen (*principal axes*), een symmetrie-as is altijd hoofdtraagheidsas!

$[\mathbf{I}]$ is dan een *diagonaalmatrix* met alleen traagheidsmomenten

$$I_{xx} = I_x, \quad I_{yy} = I_y, \quad I_{zz} = I_z$$

Dus geldt voor een body-fixed *principal axes* centre of mass frame:

$$(\dot{\mathbf{L}})_b = [\mathbf{I}] \cdot \dot{\boldsymbol{\omega}} \quad ([\dot{\mathbf{I}}] \cdot \boldsymbol{\omega} = \mathbf{0}),$$

met $[\mathbf{I}] = \text{diag}(I_x, I_y, I_z)$ in body-fixed coördinaten.

Bewegingsvergelijking van Euler (1)

Bewegingsvergelijking ten gevolge van een extern koppel \mathbf{T} : beschouw een willekeurige vector \mathbf{u} , gefixeerd in het roterende *body-fixed frame* (b).

Gezien vanuit een *inertiaal stelsel* (i) beweegt deze vector met snelheid:

$$(\dot{\mathbf{u}})_i = \boldsymbol{\omega} \times \mathbf{u}, \quad (= \text{tijdsafgeleide voor een roterend stelsel})$$

met $\boldsymbol{\omega}$ en \mathbf{u} in body frame coördinaten en de tijdsafgeleide van vector \mathbf{u} zoals gezien vanuit het inertiaal stelsel. Als \mathbf{u} in het body-fixed frame niet gefixeerd blijft maar verandert met snelheid $(\dot{\mathbf{u}})_b$, dan volgt $(\dot{\mathbf{u}})_i$ uit vectoriële optelling:

$$(\dot{\mathbf{u}})_i = (\dot{\mathbf{u}})_b + \boldsymbol{\omega} \times \mathbf{u} \quad (\text{Coriolis theorema}),$$

waarin $(\dot{\mathbf{u}})_b$ de tijdsafgeleide van \mathbf{u} zoals gezien vanuit het body-fixed frame. Pas dit toe op het draai-impulsmoment \mathbf{L} :

$$(\dot{\mathbf{L}})_i = (\dot{\mathbf{L}})_b + \boldsymbol{\omega} \times \mathbf{L}$$

Uit $(\dot{\mathbf{L}})_i = \mathbf{T}$ en $\mathbf{L} = [\mathbf{I}] \cdot \boldsymbol{\omega}$,

$$(\dot{\mathbf{L}})_b = \mathbf{T} - \boldsymbol{\omega} \times [\mathbf{I}] \cdot \boldsymbol{\omega} \quad (\text{bewegingsvergelijking van Euler}),$$

met \mathbf{L} , \mathbf{T} en $\boldsymbol{\omega}$ uitgedrukt in body-coördinaten.

Bewegingsvergelijking van Euler (2)

De bewegingsvergelijking, in vectorcomponenten, voor een "body-fixed principal axes centre of mass frame (x,y,z)" worden dan:

$$I_x \dot{\omega}_x = T_x + (I_y - I_z) \omega_y \omega_z$$

$$I_y \dot{\omega}_y = T_y + (I_z - I_x) \omega_z \omega_x$$

$$I_z \dot{\omega}_z = T_z + (I_x - I_y) \omega_x \omega_y$$

Dit zijn de componenten van de **bewegingsvergelijking van Euler** voor de beweging van een stijf lichaam onder invloed van een extern krachtkoppel.

Bij vrije rotatie, dus voor $\mathbf{T} = \mathbf{0}$, gelden dan de volgende relaties:

$$I_x \dot{\omega}_x = (I_y - I_z) \omega_y \omega_z$$

$$I_y \dot{\omega}_y = (I_z - I_x) \omega_z \omega_x$$

$$I_z \dot{\omega}_z = (I_x - I_y) \omega_x \omega_y$$

Componenten van $\boldsymbol{\omega}$ in een roterend "body fixed" stelsel

Voorbeeld: roterende satelliet in een baan om de aarde.

Model: **vrij vallend lichaam met axiale symmetrie**: tol met $I_x = I_y = I_0$ en $I_z = I$

De component-vergelijkingen van Euler worden dan:

$$\dot{\omega}_z = 0 \rightarrow \omega_z = \text{constant!}$$

$$\begin{aligned} \dot{\omega}_x &= -[(I/I_0 - 1)\omega_z]\omega_y = -\Omega\omega_y & \omega_x &= \omega_0 \cos(\Omega t + \delta) \\ & & \Rightarrow \omega_y &= \omega_0 \sin(\Omega t + \delta) \\ \dot{\omega}_y &= [(I/I_0 - 1)\omega_z]\omega_x = +\Omega\omega_x & \omega_0, \delta & \text{uit begincondities} \end{aligned}$$

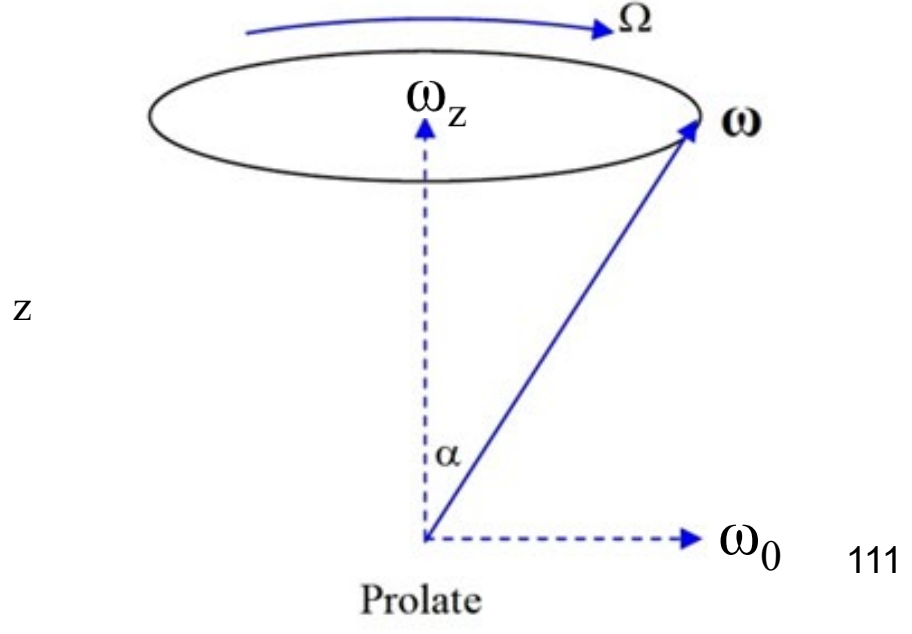
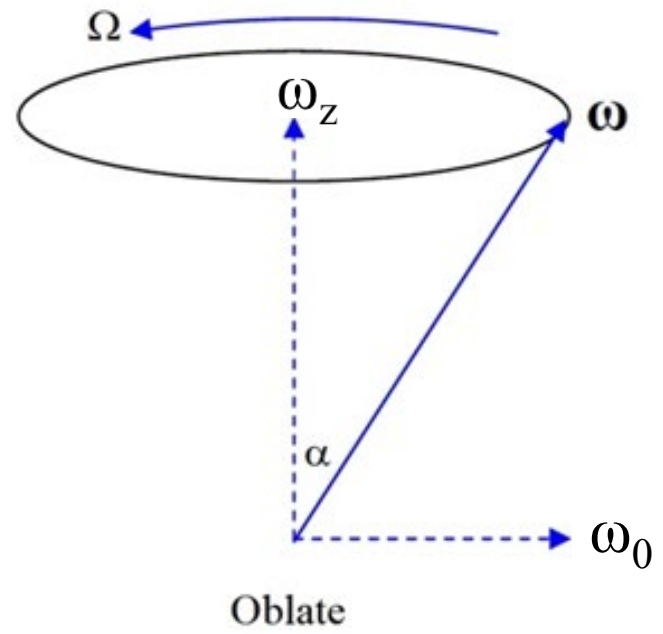
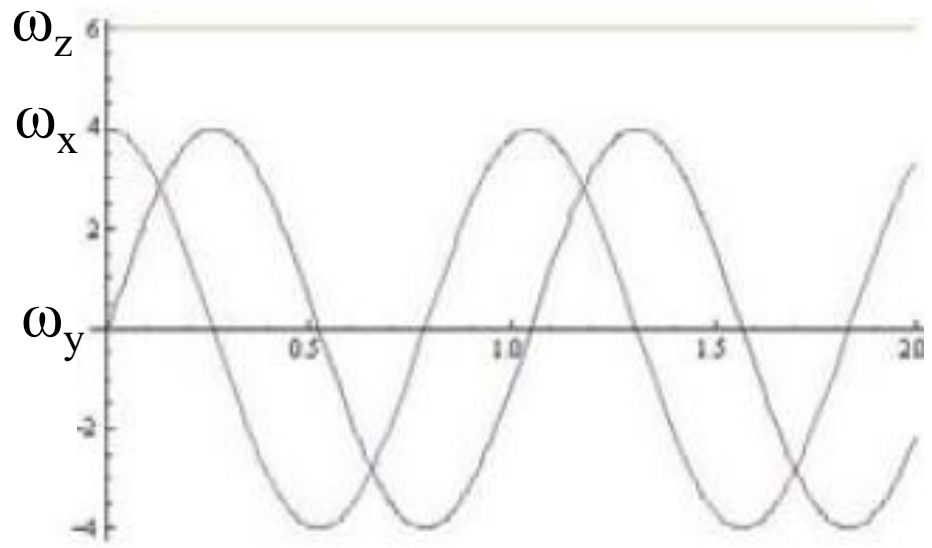
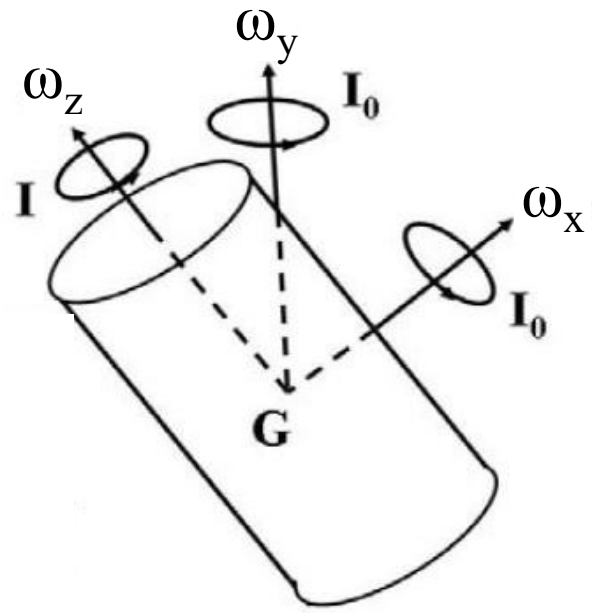
$$(\omega_x^2 + \omega_y^2)^{1/2} = \omega_0 = \text{constant} \Rightarrow (\omega_x^2 + \omega_y^2 + \omega_z^2)^{1/2} = |\boldsymbol{\omega}| = \omega = \text{constant}$$

Hoek α tussen symmetrie-as z in het body frame en $\boldsymbol{\omega}$ volgt uit:

$$\cos \alpha = \omega_z / \omega = [I_0 / (I - I_0)] \Omega / \omega = \text{constant}$$

$$\Omega = (I/I_0 - 1)\omega_z = (I/I_0 - 1)\omega \cos \alpha = \text{constant}$$

Componenten & precessie van ω gezien vanuit het body-frame



Roterend platform in vrije val: de "body cone"

Geometrische interpretatie:

De x , y en z assen zijn "body-fixed" en roteren mee met het platform.

De oplossingen voor $\omega_x(t)$, $\omega_y(t)$ en ω_z geven de componenten van $\boldsymbol{\omega}$ waarbij de bewegende assen worden gevolgd! Met hoeksnelheidssensoren **op het platform frame gemonteerd** om de componenten van $\boldsymbol{\omega}$ te meten, zou dit als resultaat de oplossingen $\omega_x(t)$, $\omega_y(t)$ en ω_z van de Euler vergelijkingen hebben opgeleverd.

Vanuit het waarnemerstelsel gezien maakt het platform een tamelijk complexe spin- en tuimelbeweging. Die beschrijving volgt hierna uit de herformulering van de Euler vergelijkingen met het gebruik van Euler hoeken.

De hoeksnelheidsvector $\boldsymbol{\omega}$ **voert een precessiebeweging** uit om de symmetrie-as z in het "body frame" met hoeksnelheid Ω , de (fictieve) beschreven kegel wordt **"body cone"** genoemd.

Voor een lichaam met $I > I_0$ (afgeplat) is de precessierichting parallel aan de spinrichting ω_z ("prograde" beweging), voor een lichaam met $I < I_0$ (langgerekt) is de precessierichting anti-parallel aan de spinrichting ω_z ("retrograde" beweging).

Vrij roterend platform gezien vanuit het waarnemerstelsel

- Gegeven is een initieel draai-impulsmoment van het platform als gevolg van een eerder aangebrachte krachtkoppel-impuls. Dit draai-impulsmoment (vector \mathbf{L}) blijft constant in richting en grootte in het waarnemerstelsel, indien dit wordt beschouwd als een afgesloten systeem.
- Aligneer \mathbf{L} met de Z-as van het waarnemerstelsel. De kentallen van \mathbf{L} in dit stelsel (XYZ) zijn dan $\mathbf{L}(0,0,L_z)$, met $L_z = |\mathbf{L}| = L$.
- Een coördinaat transformatie van \mathbf{L} is nu nodig naar het satellietstelsel x, y, z (body-fixed principal axes centre of mass frame) door rotatie over de drie Euler hoeken φ, θ en ψ . Dit is een 3-1-3 transformatie-matrix $[\mathbf{T}]_{\ell \rightarrow s} = [\mathbf{T}]_{\psi} \cdot [\mathbf{T}]_{\theta} \cdot [\mathbf{T}]_{\varphi}$

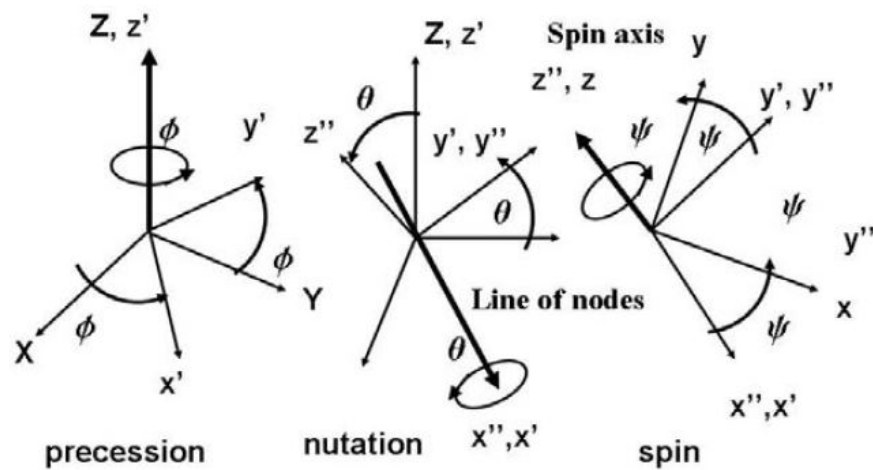
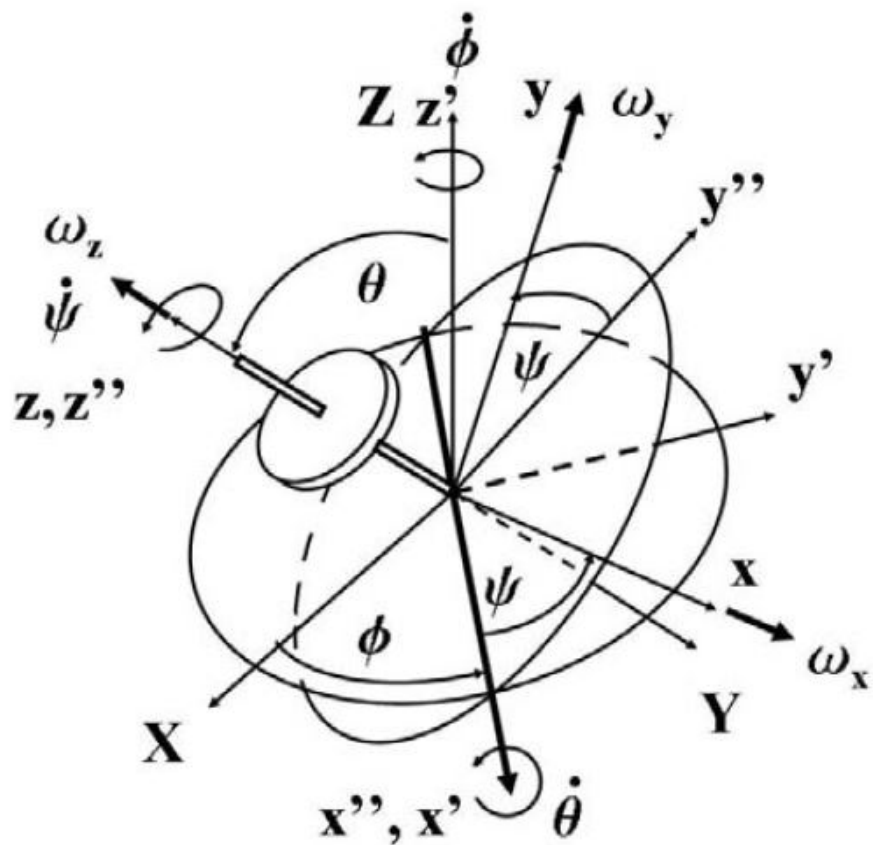
$$[\mathbf{T}]_{\psi} = \begin{bmatrix} \cos \psi & \sin \psi & 0 \\ -\sin \psi & \cos \psi & 0 \\ 0 & 0 & 1 \end{bmatrix}, [\mathbf{T}]_{\theta} = \begin{bmatrix} 1 & 0 & 0 \\ 0 & \cos \theta & \sin \theta \\ 0 & -\sin \theta & \cos \theta \end{bmatrix}, [\mathbf{T}]_{\varphi} = \begin{bmatrix} \cos \varphi & \sin \varphi & 0 \\ -\sin \varphi & \cos \varphi & 0 \\ 0 & 0 & 1 \end{bmatrix}$$

$$\begin{bmatrix} L_x \\ L_y \\ L_z \end{bmatrix} = \begin{bmatrix} \cos \psi \cos \varphi - \cos \theta \sin \psi \sin \varphi & \cos \psi \sin \varphi + \cos \varphi \cos \theta \sin \psi & \sin \theta \sin \psi \\ -\cos \varphi \sin \psi - \cos \theta \cos \psi \sin \varphi & \cos \psi \cos \theta \cos \varphi - \sin \psi \sin \varphi & \cos \psi \sin \theta \\ \sin \varphi \sin \theta & -\cos \varphi \sin \theta & \cos \theta \end{bmatrix} \cdot \begin{bmatrix} 0 \\ 0 \\ L \end{bmatrix}$$

- Zijn \mathbf{i}, \mathbf{j} en \mathbf{k} de eenheidsvectoren langs de x, y en z -as in het platformstelsel, dan is:

$$\mathbf{L} = L \sin \theta \sin \psi \mathbf{i} + L \sin \theta \cos \psi \mathbf{j} + L \cos \theta \mathbf{k}$$

3-1-3 transformatie naar body-fixed principal axes platform-stelsel



Bepaling van de rotatie vector ω in het platform-frame

- In het platformstelsel, x (i), y (j), z (k), geldt $L_x = I_x \omega_x$, $L_y = I_y \omega_y$ en $L_z = I_z \omega_z \Leftrightarrow L_x = L \sin \theta \sin \psi = \omega_x I_x$, $L_y = L \sin \theta \cos \psi = \omega_y I_y$, $L_z = L \cos \theta = \omega_z I_z$
- De kentallen ω_x , ω_y en ω_z van de **momentane rotatie-vector** ω in het platformstelsel kunnen worden afgeleid uit de vectorsom $\omega = \dot{\phi} + \dot{\theta} + \dot{\psi}$. Hiertoe moeten de Euler rotatie-vectoren $\dot{\phi}$, $\dot{\theta}$ en $\dot{\psi}$ worden getransformeerd naar het platformstelsel en hun kentallen opgeteld. Met $|\dot{\phi}| = \dot{\phi}$, $|\dot{\theta}| = \dot{\theta}$ en $|\dot{\psi}| = \dot{\psi}$ zijn de transformaties:

$$\begin{bmatrix} \dot{\phi}_x \\ \dot{\phi}_y \\ \dot{\phi}_z \end{bmatrix} = [\mathbf{T}]_{\psi} \cdot [\mathbf{T}]_{\theta} \cdot \begin{bmatrix} 0 \\ 0 \\ \dot{\phi} \end{bmatrix} \Rightarrow \dot{\phi}_x = \dot{\phi} \sin \theta \sin \psi, \quad \dot{\phi}_y = \dot{\phi} \sin \theta \cos \psi, \quad \dot{\phi}_z = \dot{\phi} \cos \theta$$

$$\begin{bmatrix} \dot{\theta}_x \\ \dot{\theta}_y \\ \dot{\theta}_z \end{bmatrix} = [\mathbf{T}]_{\psi} \cdot \begin{bmatrix} \dot{\theta} \\ 0 \\ 0 \end{bmatrix} \Rightarrow \dot{\theta}_x = \dot{\theta} \cos \psi, \quad \dot{\theta}_y = -\dot{\theta} \sin \psi, \quad \dot{\theta}_z = 0$$

$$\begin{bmatrix} \dot{\psi}_x \\ \dot{\psi}_y \\ \dot{\psi}_z \end{bmatrix} = \begin{bmatrix} 0 \\ 0 \\ \dot{\psi} \end{bmatrix} \Rightarrow \dot{\psi}_x = 0, \quad \dot{\psi}_y = 0, \quad \dot{\psi}_z = \dot{\psi}$$

$$\Rightarrow \omega = (\dot{\phi} \sin \theta \sin \psi + \dot{\theta} \cos \psi)i + (\dot{\phi} \sin \theta \cos \psi - \dot{\theta} \sin \psi)j + (\dot{\phi} \cos \theta + \dot{\psi})k$$

Algemene differentiaalvergelijkingen voor $\dot{\varphi}$, $\dot{\theta}$ en $\dot{\psi}$

$$L \sin \theta \sin \psi = \omega_x I_x = I_x (\dot{\varphi} \sin \theta \sin \psi + \dot{\theta} \cos \psi)$$

$$L \sin \theta \cos \psi = \omega_y I_y = I_y (\dot{\varphi} \sin \theta \cos \psi - \dot{\theta} \sin \psi)$$

$$L \cos \theta = \omega_z I_z = I_z (\dot{\varphi} \cos \theta + \dot{\psi})$$

Optelling en aftrekking van de eerste twee vergelijkingen levert uitdrukkingen voor $\dot{\varphi}$ en $\dot{\theta}$, hieruit volgt dan ook een uitdrukking voor de spinsnelheid $\dot{\psi}$:

$$\dot{\varphi} = L \left(\frac{(\cos \psi)^2}{I_y} + \frac{(\sin \psi)^2}{I_x} \right)$$

$$\dot{\theta} = L \left(\frac{1}{I_x} - \frac{1}{I_y} \right) \sin \theta \sin \psi \cos \psi$$

$$\dot{\psi} = L \left(\frac{1}{I_z} - \frac{(\cos \psi)^2}{I_y} - \frac{(\sin \psi)^2}{I_x} \right) \cos \theta$$

Dit vormt een set niet-lineaire eerste-orde-vergelijkingen in φ , θ , ψ en hun tijdsafgeleiden $\dot{\varphi}$, $\dot{\theta}$, $\dot{\psi}$. **In het algemeen kunnen deze vergelijkingen slechts numeriek worden opgelost.**

Analytische oplossing voor axiale symmetrie

Aanzienlijke vereenvoudiging wordt verkregen bij axiale symmetrie. In dat geval kunnen bovenstaande vergelijkingen analytisch worden opgelost, waarbij het verband tussen $\dot{\phi}$, $\dot{\theta}$, $\dot{\psi}$, ω en het draai-impulsmoment L en de traagheidsmomenten I_0 en I expliciet wordt. Ga uit van een symmetrische rotator met $I_x = I_y = I_0$ en $I_z = I$. $|\mathbf{L}| = L$ is bekend, evenals de hoek θ tussen \mathbf{L} en de symmetrie-as van de rotator (hoofdtraagheids-as). De set eerste-orde-vergelijkingen reduceert dan tot:

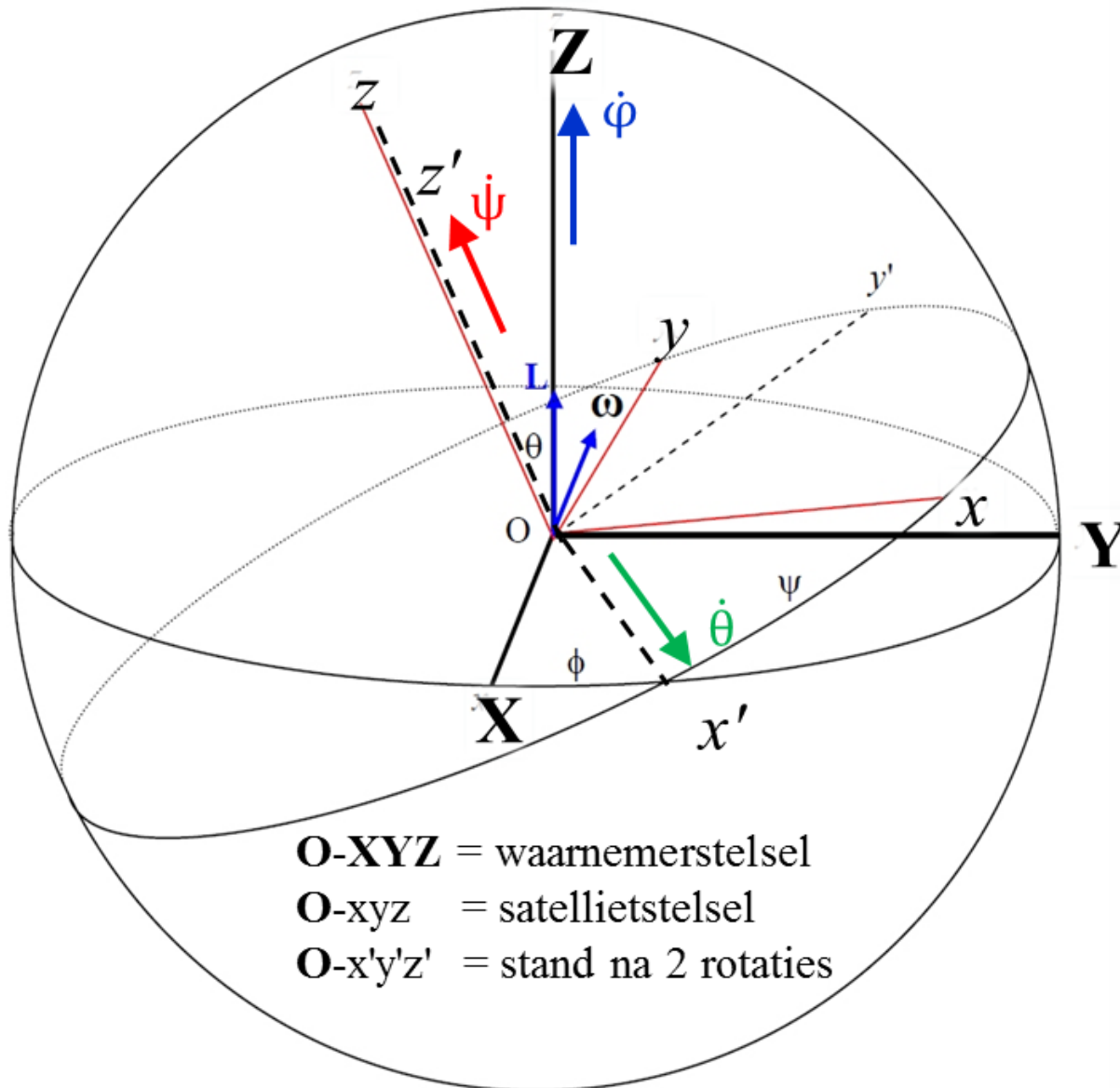
$$\dot{\phi} = L/I_0 = \text{constant}$$

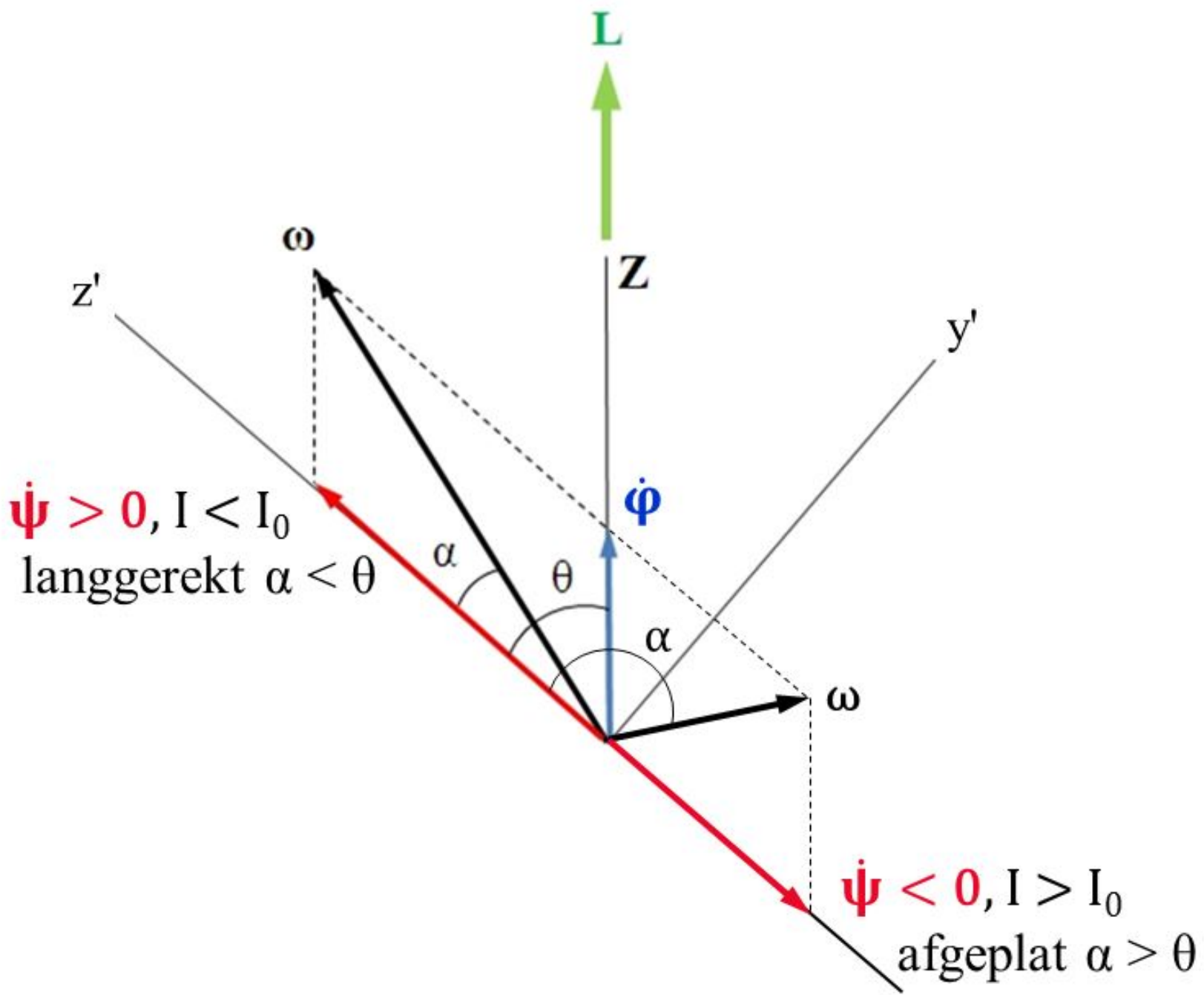
$$\dot{\theta} = 0 \quad \Leftrightarrow \quad \theta = \text{nutatiehoek} = \text{constant}$$

$$\dot{\psi} = L \left(\frac{1}{I} - \frac{1}{I_0} \right) \cos \theta = \text{constant} \quad (\dot{\psi} > 0 \text{ als } I < I_0, \dot{\psi} < 0 \text{ als } I > I_0)$$

Met $\dot{\theta} = 0$ wordt de hoeksnelheidsvector $\boldsymbol{\omega} = \dot{\phi} + \dot{\psi}$, deze vectoren liggen in één vlak, $\dot{\phi}$ is gericht langs de Z-as van het waarnemerstelsel (evenals \mathbf{L}), $\dot{\psi}$ langs de spin-as (z) van het platformstelsel. Dit vlak, waarin Z, z, $\dot{\phi}$, $\dot{\psi}$ en \mathbf{L} liggen, staat \perp op de "line of nodes" (x'), de as waarover Z naar z' wordt gedraaid bij de tweede Euler rotatie over θ . De y'-as van het x'-y'-z' "tussenstelsel" ligt ook in dit vlak. De onderlinge relatie van de verschillende variabelen kan nu 2-dimensionaal in een plat vlak worden geanalyseerd: de componenten $\omega_{x'}$ en $L_{x'}$ zijn voor dit vlak gelijk aan nul.

Positie van het "tussenstelsel": vlak door $Zz' \perp x'$





Analytische oplossingen voor α , ω , $\dot{\phi}$ en $\dot{\psi}$

- Voor de hoek α tussen de symmetrie-as en de **momentane rotatie-as** ω geldt:

$$\text{tg } \alpha = \omega_{y'}/\omega_{z'} = (I L_{y'} / I_0 L_{z'}) \quad \Rightarrow \quad \text{tg } \alpha = (I/I_0) \text{tg } \theta$$

- Voor de grootte van de momentane hoeksnelheidsvector ω geldt:

$$L = (L_{y'}^2 + L_{z'}^2)^{1/2} = (\omega_{y'}^2 I_0^2 + \omega_{z'}^2 I^2)^{1/2} = \omega (I_0^2 \sin^2 \alpha + I^2 \cos^2 \alpha)^{1/2}$$

$$\Rightarrow \omega = \frac{L}{(I_0^2 \sin^2 \alpha + I^2 \cos^2 \alpha)^{1/2}}$$

- Voor de grootte van de precessiesnelheid van de symmetrie-as om L geldt:

$$\dot{\phi} = L/I_0 = \frac{\omega (I_0^2 \sin^2 \alpha + I^2 \cos^2 \alpha)^{1/2}}{I_0} \Rightarrow \dot{\phi} = \omega (\sin^2 \alpha + (I/I_0)^2 \cos^2 \alpha)^{1/2}$$

- Voor de grootte van de spinsnelheid om de symmetrie-as geldt:

$$\dot{\psi} = L \left(\frac{1}{I} - \frac{1}{I_0} \right) \cos \theta = L \left(\frac{1}{I} - \frac{1}{I_0} \right) \frac{L_{z'}}{L} = \left(\frac{1}{I} - \frac{1}{I_0} \right) I \omega \cos \alpha$$

$$\Rightarrow \dot{\psi} = \omega (1 - I/I_0) \cos \alpha$$

\Rightarrow body-fixed coördinaten van de precessievector:

$$(\dot{\phi})_b = (\dot{\phi} \sin \theta \sin \psi) \mathbf{i} + (\dot{\phi} \sin \theta \cos \psi) \mathbf{j} + (\dot{\phi} \cos \theta) \mathbf{k}$$

\Rightarrow body-fixed coördinaten van de spinvector:

$$(\dot{\psi})_b = \dot{\psi} \mathbf{k}$$

\Rightarrow body-fixed coördinaten van de hoeksnelheidsvector:

$$(\omega)_b = (\dot{\phi} \sin \theta \sin \psi) \mathbf{i} + (\dot{\phi} \sin \theta \cos \psi) \mathbf{j} + (\dot{\phi} \cos \theta + \dot{\psi}) \mathbf{k}$$

Vrije rotatie gezien vanuit het waarnemersstelsel: de 'space cone'

De momentane hoeksnelheidsvector ($\boldsymbol{\omega}$) en de symmetrie-as (z') voeren een **precessiebeweging** uit om de draai-impulsvector \mathbf{L} in het waarnemersstelsel met een hoeksnelheid $\dot{\phi}$, waardoor \mathbf{L} langs de Z-as van het waarnemersstelsel gericht blijft.

De kegelmantel die hiermee door de vector $\boldsymbol{\omega}$ wordt beschreven in het waarnemersstelsel wordt de "**space cone**" genoemd, deze **staat vast in de ruimte**.

Voor een langgerekt lichaam ($I < I_0$) is de halve tophoek van de space cone ($\theta - \alpha$). De grootte van de spinsnelheid $\dot{\psi}$ is positief, evenals de grootte van de precessiesnelheid $\dot{\phi}$ om de Z-as van het waarnemersstelsel \Rightarrow draairichting $\dot{\phi}$ gelijkgericht met $\dot{\psi}$. Dit wordt **prograde precessie** genoemd.

Voor een afgeplat lichaam ($I > I_0$) is de halve tophoek van de space cone ($\alpha - \theta$). De grootte van de spinsnelheid $\dot{\psi}$ is negatief en de grootte van de precessiesnelheid $\dot{\phi}$ is positief \Rightarrow draairichting $\dot{\phi}$ tegengesteld gericht aan $\dot{\psi}$. Dit wordt **retrograde precessie** genoemd.

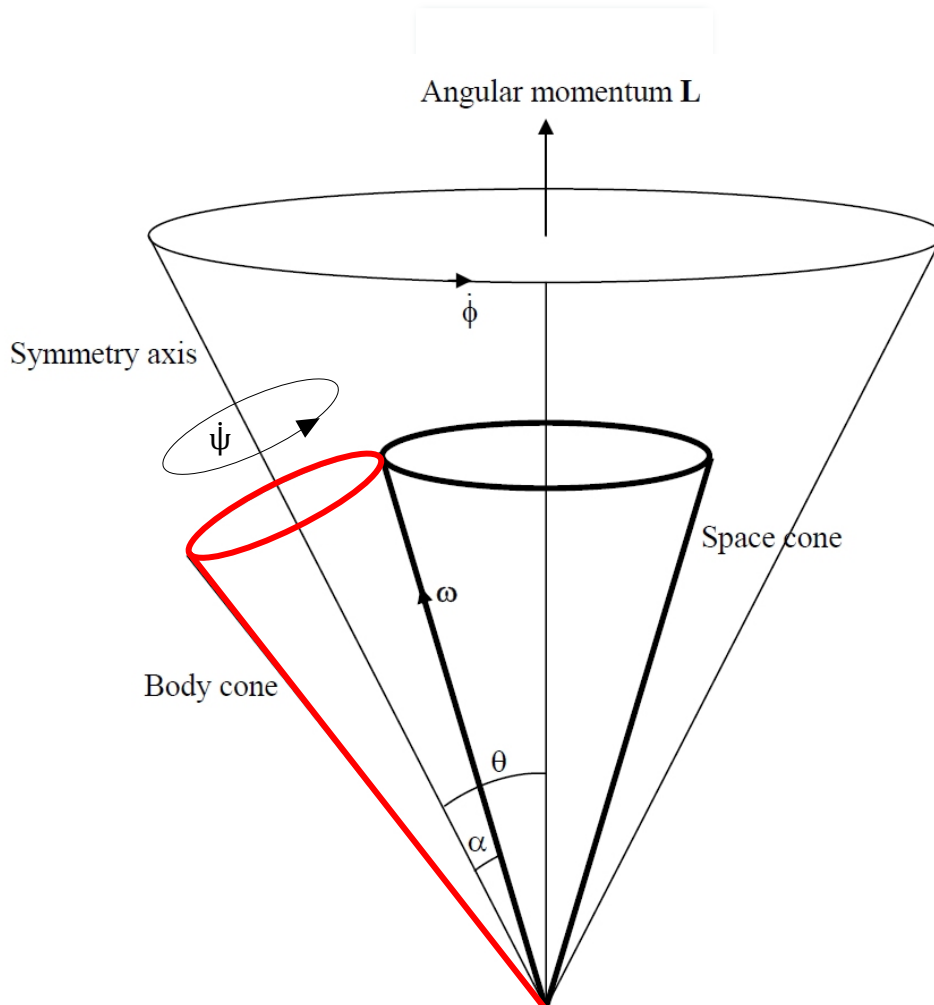
NB. Merk op: de grootte van de spinsnelheid om de symmetrie-as z' zoals afgeleid voor de meebewegende waarnemer in het body frame was:

$$\Rightarrow \Omega = \omega (I/I_0 - 1) \cos \alpha = -\dot{\psi}$$

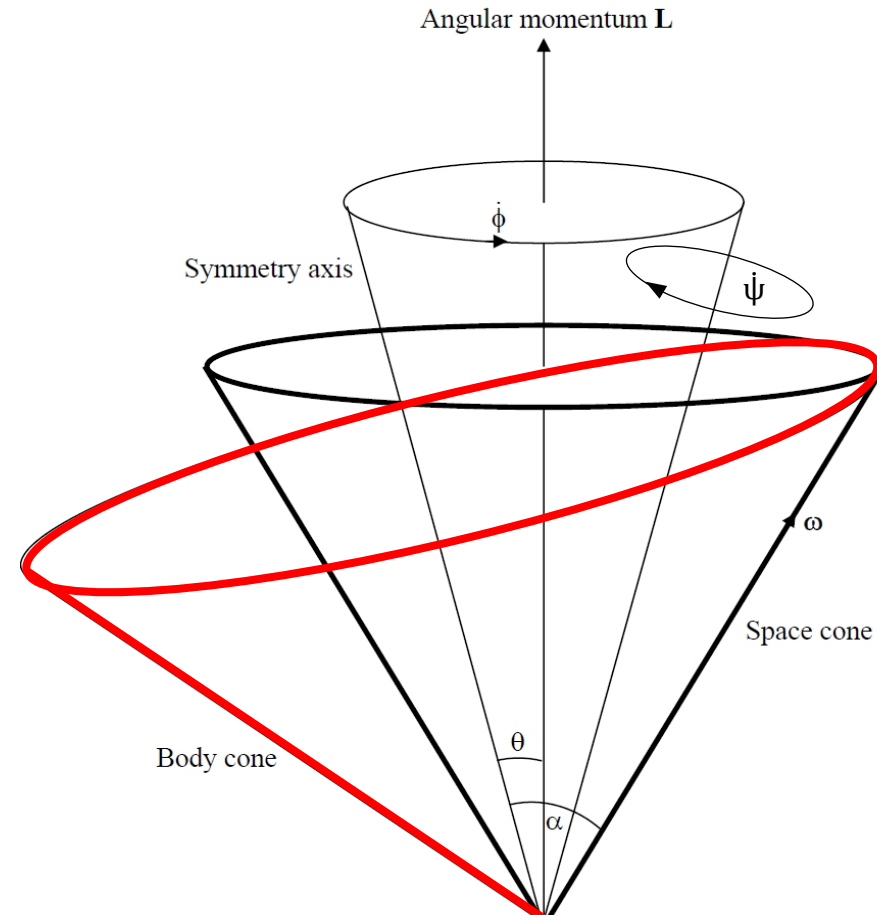
Het minteken geeft aan dat de draairichting gezien vanuit het waarnemersstelsel tegengesteld is aan die gezien vanuit het verankerde body-stelsel.

Geometrie van vrije rotatie in het waarneemstelsel

Geometrie van vrije rotatie door een lichaam met axiale symmetrie gezien vanuit de positie van een vaste waarnemer in een inertiaalstelsel.



$I < I_0$: langgerekt voorwerp



$I > I_0$: afgeplat voorwerp 122

Geometrische interpretatie

De geometrische interpretatie is dat de precessie gezien vanuit het waarneemstelsel kan worden beschouwd als het "rollen" van een bewegende virtuele kegel, die is verankerd aan het platform ("body"), over het oppervlak van een onbewegelijke "space cone". De geometrie is zodanig dat voor een langgerekt lichaam de "body cone" mantel over de buitenkant van de "space cone" mantel rolt, bij een afgeplat lichaam rolt de "body cone" mantel met de binnenkant langs de "space cone" mantel. De momentane rotatievector ω ligt dan langs de momentane contactlijn tussen de "body cone" en de "space cone" ("rolling without slipping"). De verhouding $\rho = I / I_0$ loopt van 0 (naald) tot 2 (gedicteerd door het 'perpendicular axis theorem' voor een symmetrische platte dunne schijf).

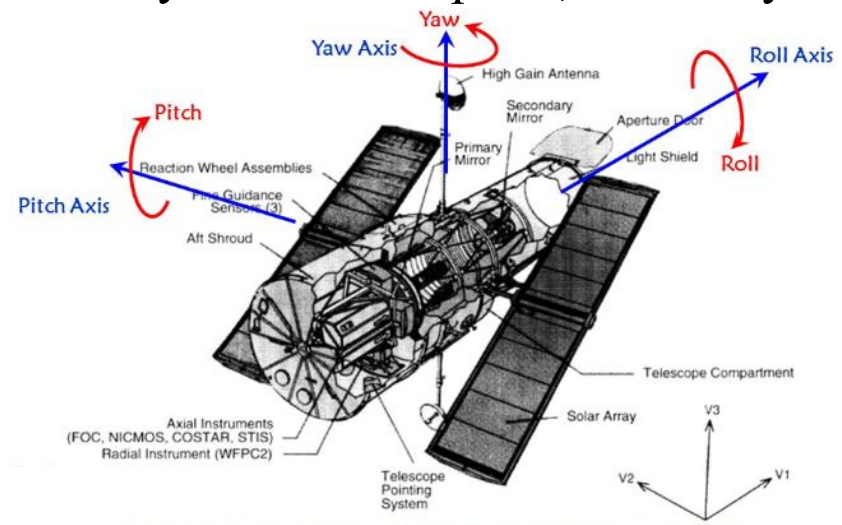
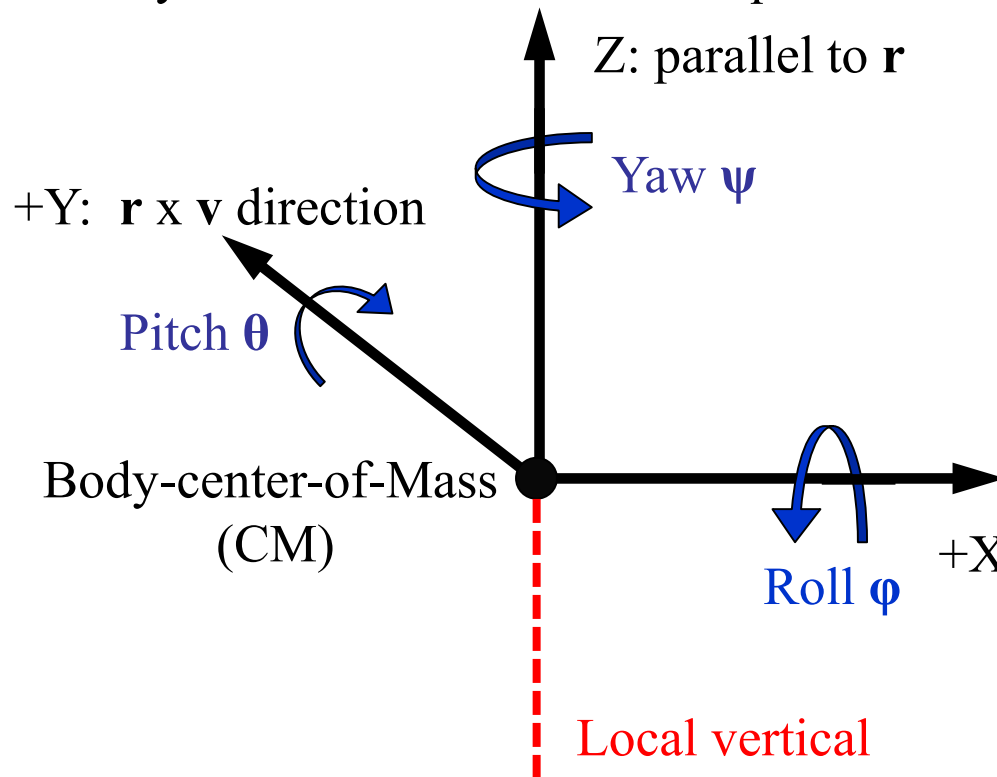
Voor een langgerekt lichaam is $0 < \rho < 1$ (bol), for een afgeplat lichaam $1 < \rho < 2$. Voor kleine α tussen ω en de spin-as z' geldt in eerste benadering:

$$\dot{\phi} / \dot{\psi} = \rho / (1 - \rho)$$

Voor een naaldvormig lichaam ($\rho \ll 1$) volgt dan $\dot{\phi} \approx \rho \dot{\psi}$: de precessiesnelheid is veel langzamer dan de spinsnelheid $\dot{\psi}$. Voor een afgeplat lichaam geldt $|\dot{\phi}| > |\dot{\psi}|$. Specifiek voor een symmetrische dunne schijf ($\rho \approx 2$, schotel of 'frisbee') geldt voor de precessiesnelheid (de "wobbling") dat $\dot{\phi} \approx -2\dot{\psi}$: twee maal hoger dan de spinsnelheid $\dot{\psi}$ van de schijf en in tegengestelde draairichting.

Reference system and set of orientation angles in practical use for describing aircraft and spacecraft motions.

- Roll, pitch and yaw system (RPY-system)
- Represented by an Euler angle set (φ, θ, ψ) corresponding to the roll, pitch and yaw angles of the spacecraft body frame relative to a rotating local vertical frame, nominally taken to be the inertial reference frame. This local frame is often referenced to the spacecraft velocity vector \mathbf{v} (+X-axis) and not the local horizontal. The Euler angle rotation sequence that rotates the local inertial frame into the s/c body frame involves a 2-1-3 sequence of elementary rotations in pitch, roll and yaw.



+X: parallel to s/c direction of motion (velocity vector \mathbf{v})

Transformation matrices for the RPY system

The transformation matrix $[\mathbf{T}]_{\ell \rightarrow B}$ for expressing a set of body-fixed coordinates (x_B, y_B, z_B) in a set of local coordinates (x_ℓ, y_ℓ, z_ℓ) of an initial local reference frame by sequential rotation through a pitch angle θ , a roll angle φ and a yaw angle ψ (2-1-3 sequence) is delineated by the combination of the following three elementary matrices:

$$[\mathbf{T}]_{\ell \rightarrow B} = \begin{bmatrix} \cos \psi & \sin \psi & 0 \\ -\sin \psi & \cos \psi & 0 \\ 0 & 0 & 1 \end{bmatrix} \cdot \begin{bmatrix} 1 & 0 & 0 \\ 0 & \cos \varphi & \sin \varphi \\ 0 & -\sin \varphi & \cos \varphi \end{bmatrix} \cdot \begin{bmatrix} \cos \theta & 0 & -\sin \theta \\ 0 & 1 & 0 \\ \sin \theta & 0 & \cos \theta \end{bmatrix},$$

(yaw) (roll) (pitch)

Hence, the body coordinates are expressed in terms of the local coordinates as:

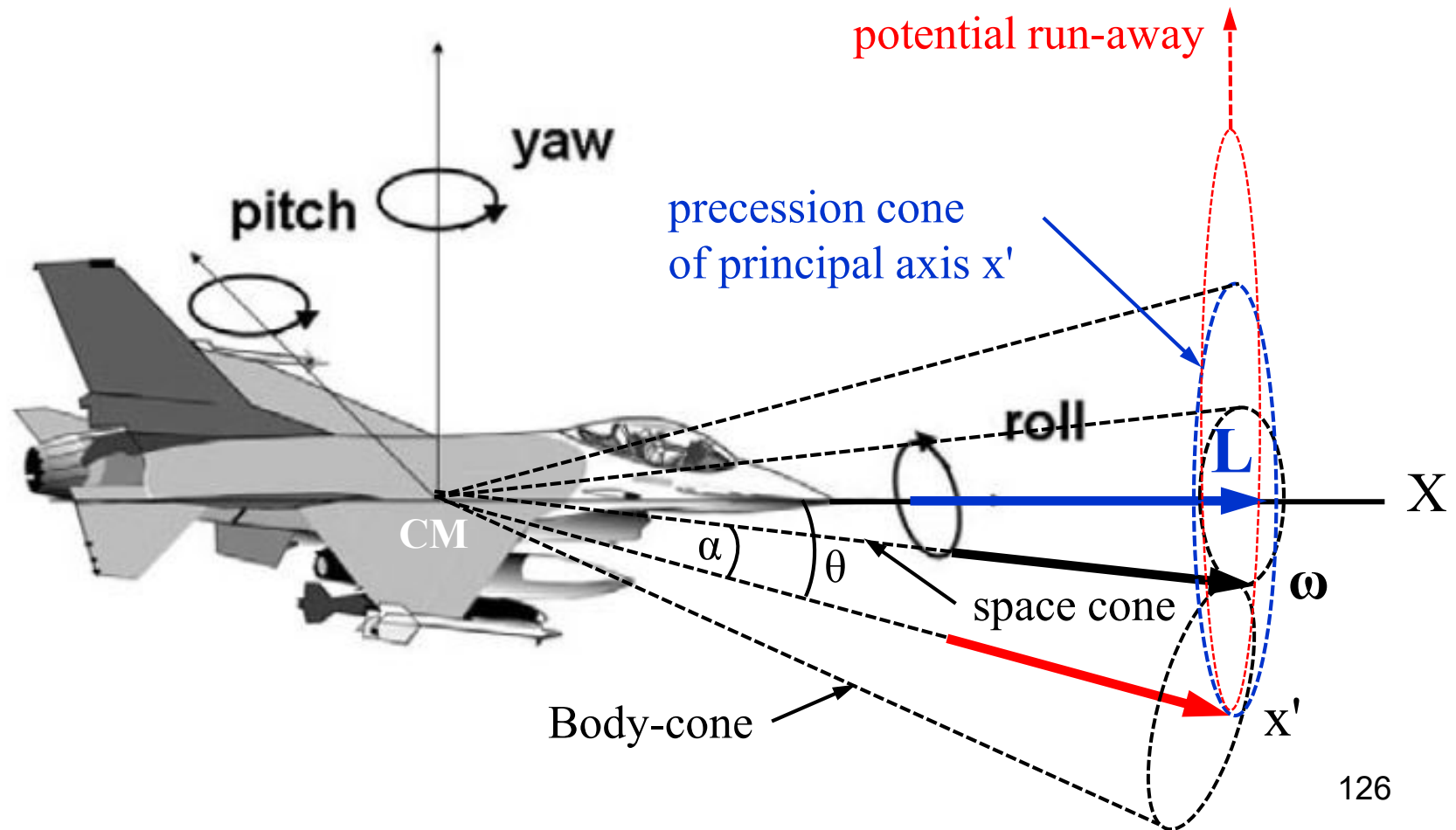
$$\begin{bmatrix} x_B \\ y_B \\ z_B \end{bmatrix} = \begin{bmatrix} \cos \theta \cos \psi + \sin \theta \sin \varphi \sin \psi & \cos \varphi \sin \psi & \cos \theta \sin \varphi \sin \psi - \cos \psi \sin \theta \\ \cos \psi \sin \theta \sin \varphi - \cos \theta \sin \psi & \cos \varphi \cos \psi & \cos \theta \cos \psi \sin \varphi + \sin \theta \sin \psi \\ \cos \varphi \sin \theta & -\sin \varphi & \cos \theta \cos \varphi \end{bmatrix} \begin{bmatrix} x_\ell \\ y_\ell \\ z_\ell \end{bmatrix}$$

Since the transformation matrix $[\mathbf{T}]_{\ell \rightarrow B}$ is orthonormal, the inverse transform follows from $[\mathbf{T}]_{B \rightarrow \ell} = [\mathbf{T}]_{\ell \rightarrow B}^T$ where $[\mathbf{T}]_{\ell \rightarrow B}^T$ is the transposed matrix of $[\mathbf{T}]_{\ell \rightarrow B}$. The local coordinates can thus be expressed in terms of the body coordinates as:

$$\begin{bmatrix} x_\ell \\ y_\ell \\ z_\ell \end{bmatrix} = [\mathbf{T}]_{\ell \rightarrow B}^T \cdot \begin{bmatrix} x_B \\ y_B \\ z_B \end{bmatrix}$$

Roll coupling in fighter planes

Take $I_y = I_z = I_0$, F16 fighter plane is a low aspect ratio aircraft: roll-inertia smaller than pitch- and yaw-inertia $\Rightarrow I_{\text{roll}} = I < I_0$. Neglect aerodynamic forces \Rightarrow free body spinning solution is applicable. Response to application of an impulsive torque on the roll-axis (X-axis = no principal axis!) \Rightarrow initiation of coning motion (potential run-away caused by instabilities due to disturbing aerodynamic torques!).



Instabiliteit en energieverlies

1. Als $I_x \neq I_y \rightarrow$ precessie in het "body frame" $\Omega^2 = \omega_z^2(I_z - I_y)(I_z - I_x)/I_x I_y$.
Indien $I_x < I_z < I_y \rightarrow \Omega^2 < 0$, geen vaste nutatiehoek, hoek groeit hyperbolisch tot rotatie om minimum of maximum traagheidsas.
Rotatie van een ideaal stijf lichaam om de extremen in de traagheidsassen is stabiel tegen kleine stoorkoppels, rotatie om een intermediaire traagheidsas is instabiel tegen zulke koppels!
2. In werkelijkheid treedt altijd energie dissipatie op (flexibele structuur, flexibele antennes) \rightarrow afname rotatie-energie, bij constant blijven van het draai-impulsmoment. Neem de volgende (scalaire) gelijkheden:

$$E_{\text{rot}} = \frac{1}{2} I \omega^2 \rightarrow E_{\text{rot}} \text{ neemt af}$$
$$L = I \omega \rightarrow E_{\text{rot}} = \frac{1}{2} L^2 / I \rightarrow I \text{ moet toenemen!}$$

Dit gebeurt door toename van de nutatiehoek tot 90° , waardoor het lichaam om de maximum traagheidsas gaat draaien: "flat spin".

Dit is de hoofdasregel voor stabiele vrije rotatie in een realistisch geval.

Vb. Explorer 1 in februari 1958: lange-as spin-gestabiliseerde satelliet.

Stoorkoppels (disturbance torques)

- Aerodynamisch (wrijving in de bovenste atmosfeerlaag)
- Zwaartekracht-gradiënt
- Stralingsdruk van de zon
- Magnetisch (wisselwerking met het aardse magneetveld)
- Ruimtevaartuig-gegenereerd tijdens operatie

Aerodynamisch koppel (aerodynamic torque)

De bovenste lagen van de dampkring veroorzaken een aerodynamische wrijvingskracht \mathbf{F}_a op het ruimtevaartuig. Het hierdoor uitgeoefende stoorkoppel is:

$$\mathbf{T} = \mathbf{r}_{cp} \times \mathbf{F}_a$$

met \mathbf{r}_{cp} de vector, in het "body frame", tussen het massamiddelpunt van het ruimtevaartuig en het drukmiddelpunt ("centre of pressure") t.g.v. de aerodynamische wrijvingkracht \mathbf{F}_a :

$$\mathbf{F}_a = -\frac{1}{2} \rho |\mathbf{v}|^2 A_p C_w \mathbf{v}/|\mathbf{v}|$$

ρ = atmosferische dichtheid

\mathbf{v} = snelheidsvector van het ruimtevaartuig

$\frac{1}{2} \rho |\mathbf{v}|^2$ = dynamische druk van de luchtstroming

A_p = geprojecteerde oppervlak van het ruimtevaartuig $\perp \mathbf{v}$

C_w = wrijvingscoëfficiënt (waarde tussen 1 en 2)

Vb. satelliet met $A_p = 5 \text{ m}^2$ op 400 km hoogte in een circulaire baan (standaard atmosfeer $\rho = 4 \times 10^{-12} \text{ kg/m}^3$) $\rightarrow |\mathbf{T}|/|\mathbf{r}_{cp}| = 1,2 \times 10^{-3} \text{ Newton}$.

Voor $|\mathbf{r}_{cp}| = 1\text{-}10 \text{ cm}$, $|\mathbf{T}| \approx 10^{-4}\text{-}10^{-5} \text{ Newton}\cdot\text{m}$ \rightarrow typische drift $> 1^\circ$ per 1000 sec

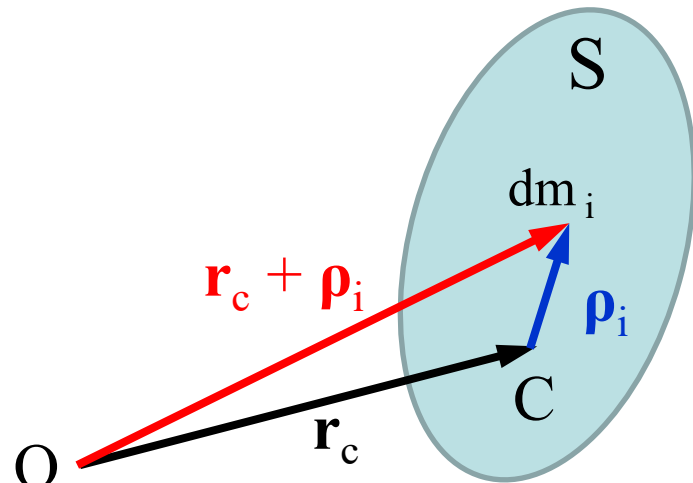
Koppel t.g.v. zwaartekracht-gradiënt (gravity gradient torque)

Newton's gravitatiewet $1/r^2 \rightarrow$ ruimtevaartuig in baan ondervindt differentiële aantrekking door verschil "boven-" en "onderkant".

Koppel \mathbf{T} tengevolge van zwaartekracht-gradiënt over afstandsvector $\boldsymbol{\rho}_i$:

$$\mathbf{T} = \int \boldsymbol{\rho}_i \times d\mathbf{F}_i, \text{ met gravitatiewet } d\mathbf{F}_i = GMdm_i (\mathbf{r}_c + \boldsymbol{\rho}_i) / |\mathbf{r}_c + \boldsymbol{\rho}_i|^3$$

G = gravitatie-constante, M = massa planeet, dm_i = massa-elementje,
 C = massamiddelpunt ruimtevaartuig, O = massamiddelpunt planeet.



Oplossing is in goede benadering ($r_c = |\mathbf{r}_c|$):

$$\mathbf{T} \approx (3GM/r_c^3) \check{\mathbf{r}} \times [\mathbf{I}] \check{\mathbf{r}}$$

$[\mathbf{I}]$ = traagheidsmatrix, $\check{\mathbf{r}} = \mathbf{r}_c/r_c =$ eenheidsvector planeet \Rightarrow satelliet

Vervolgens $\check{\mathbf{r}}$ van "orbit frame" $(0,0,1)^T$ roteren naar het 'body frame' (b) over Eulerhoeken θ , φ en ψ (pitch-, roll- en yaw-hoeken). Dit levert (voor kleine hoeken) $\check{\mathbf{r}}_b (-\theta, \varphi, 1)^T \Rightarrow$ stoorkoppel in "body frame":

$$\mathbf{T}_b = [T_x, T_y, T_z]_b^T = (3GM/r_c^3)[(I_z - I_y)\varphi, (I_z - I_x)\theta, 0]^T: \text{ orde } 10^{-4/-5} \text{ Newton}\cdot\text{m/graad.}$$

Koppel wil het ruimtevaartuig richten langs as met de kleinste traagheid, langgerekte ruimtevaartuigen worden sterker beïnvloed dan meer sferische!

Koppel t.g.v. stralingsdruk door de zon

Stralingsdruk door bestraling van het ruimtevaartuig door de zon veroorzaakt een stoorkoppel:

$$\mathbf{T} = \mathbf{r}_{oc} \times \mathbf{F}_s$$

met \mathbf{r}_{oc} de vector, in het "body frame", tussen het massamiddelpunt van het ruimtevaartuig en het stralingsdrukmiddelpunt ("optical centre of pressure") t.g.v. de geïntegreerde stralingsdruk \mathbf{F}_s over het r-vaartuig.

$$\mathbf{F}_s = A_{\perp} (1 + \varepsilon_r) \mathbf{p}_s$$

$|\mathbf{p}_s|$ = stralingsdruk I_s/c

I_s = stralingsintensiteit van de zon (1358 Watt/m² bij de aarde)

c = lichtsnelheid $2,9979 \cdot 10^8$ m/sec

ε_r = reflectiviteit van het ruimtevaartuig ($0 < \varepsilon_r < 1$)

A_{\perp} = oppervlak ruimtevaartuig geprojecteerd loodrecht op de zonvector

Vb. Satelliet met $A_{\perp} = 5$ m² in een baan om de aarde, $\varepsilon_r = 0,5$, $|\mathbf{r}_{oc}| = 10$ cm

$|\mathbf{T}| \approx 4 \times 10^{-6}$ Newton·m \rightarrow 2 ordes beneden het aerodynamische koppel op

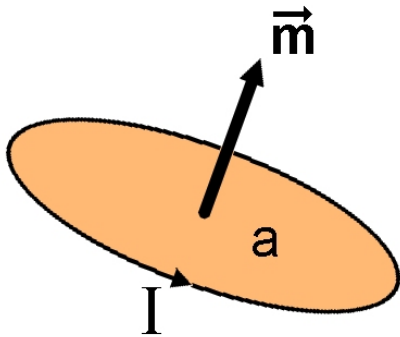
400 km hoogte. Stralingsdruk is onafhankelijk van de baanhoogte \rightarrow overheerst vaak > 1000 km, stoorkoppel van primaire orde bij geostationaire satellieten.

Koppel t.g.v. een planetair magnetisch veld

De aarde en andere planeten zoals Jupiter en Saturnus bezitten een aanzienlijk magnetisch veld. Dit veroorzaakt een stoorkoppel:

$$\mathbf{T} = \mathbf{m} \times \mathbf{B}$$

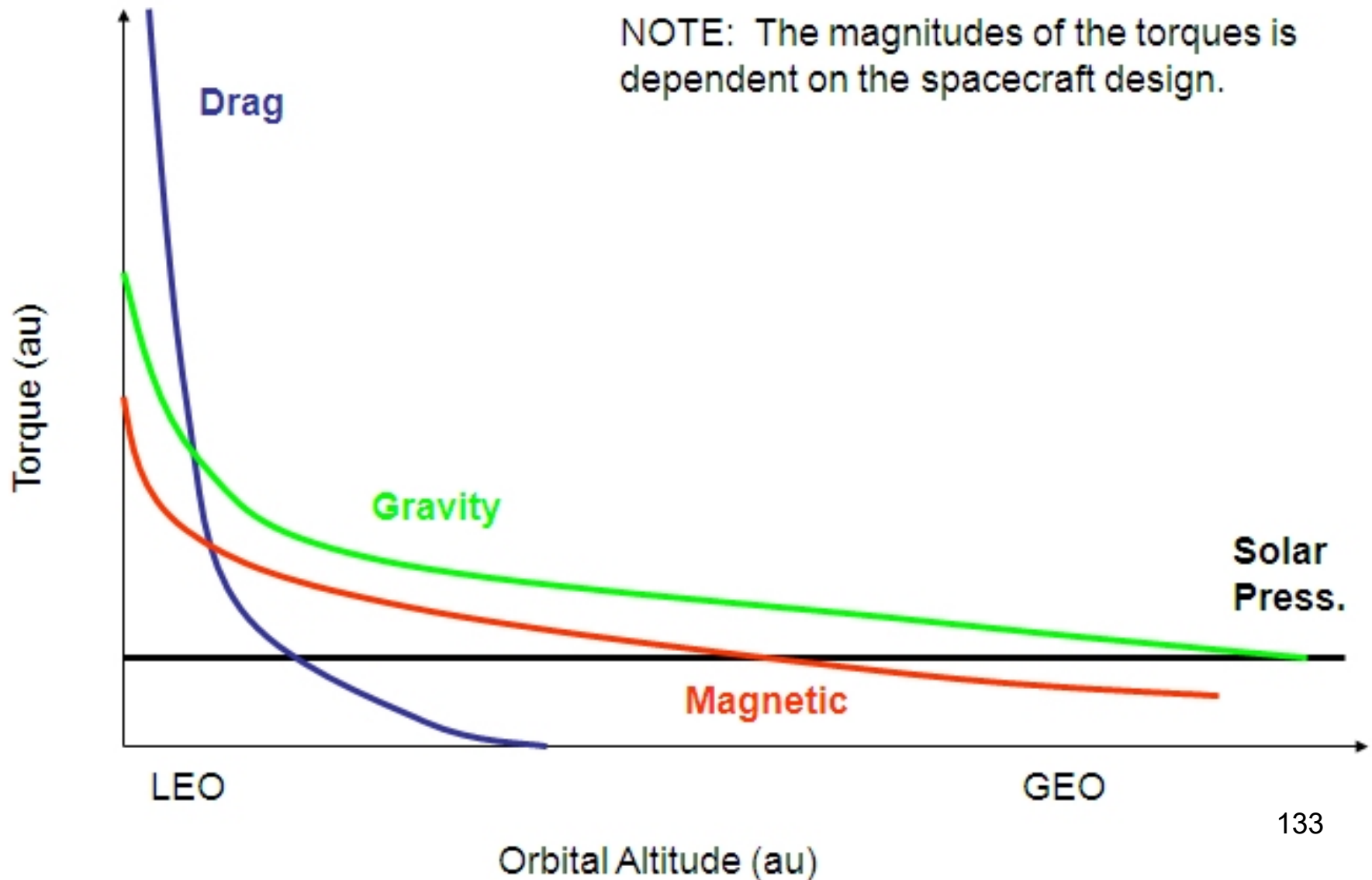
met \mathbf{m} het magnetisch dipoolmoment van het ruimtevaartuig tengevolge van stroomlussen en restmagnetisatie, vector \mathbf{B} is de sterkte van het planetaire magneetveld uitgedrukt in "body frame" coördinaten.



Dipoolmoment gegenereerd door een enkelvoudige stroomlus $\mathbf{m} = I\mathbf{a}$, I = stroomsterkte, \mathbf{a} oppervlaktevector \perp op de lus. Voor een spoel is \mathbf{m} evenredig met het aantal windingen w , dimensie Awm^2 .

Vb. Aardmagneetveld \mathbf{B} (evenredig met $1/|\mathbf{r}|^3$, \mathbf{r} = plaatsvector van planeet naar ruimtevaartuig) op 200 km hoogte $\approx 3 \cdot 10^{-5}$ Tesla (0.3 Gauss), een satelliet met een $\mathbf{m} \approx 0,3 \text{ Awm}^2$ ondervindt dan een magnetisch stoorkoppel van $\approx 10^{-5}$ Newton.m.

External Disturbance Torques



Disturbance	FireSat Example
<i>Gravity-gradient</i>	<p>For $R = (6,378 + 700) \text{ km} = 7,078 \text{ km}$; $I_z = 90 \text{ kg} \cdot \text{m}^2$, $I_y = 60 \text{ kg} \cdot \text{m}^2$ and $\theta = 1 \text{ deg}$ (normal mode) or 30 deg (optional target-of-opportunity mode): normal:</p> $T_g = \frac{(3)(3.986 \times 10^{14} \text{ m}^3/\text{s}^2)(30 \text{ kg} \cdot \text{m}^2) \sin(2 \text{ deg})}{(2)(7.078 \times 10^8 \text{ m})^3}$ $= 1.8 \times 10^{-6} \text{ N} \cdot \text{m}$ <p>optional target-of-opportunity: $T_g = 4.4 \times 10^{-5} \text{ N} \cdot \text{m}$</p>
<i>Solar Radiation</i>	<p>For a 2 m by 1.5 m spacecraft cross-section, a center-of-solar-pressure to center-of-mass difference of 0.3 m, incidence angle of 0 deg and coefficient of reflectivity of 0.6.</p> $T_{sp} = (1,367 \text{ W/m}^2) (2\text{m} \times 1.5\text{m}) (0.3\text{m}) (1 + 0.6) (\cos 0 \text{ deg}) / (3 \times 10^8 \text{ m/s})$ $= 6.6 \times 10^{-6} \text{ N} \cdot \text{m}$
<i>Magnetic Field</i>	<p>For $R = 7,078 \text{ km}$, a spacecraft magnetic dipole of $1 \text{ A} \cdot \text{m}^2$ and the worst-case polar magnetic field, $M = 2 (7.96 \times 10^{15} \text{ tesla} \cdot \text{m}^3) / (7.078 \times 10^8 \text{ m})^3$ $= 4.5 \times 10^{-5} \text{ tesla}$ (= 0.45 gauss)</p> $T_m = 1 \times 4.5 \times 10^{-5} = 4.5 \times 10^{-5} \text{ N} \cdot \text{m}$
<i>Aerodynamics</i>	<p>For illustration purposes we assume a 3 m² surface, offset from the center of mass by 0.2 m. In a 700-km orbit the velocity is $\approx 7,504 \text{ m/s}$, the atmospheric density (ρ) is $\approx 10^{-13} \text{ kg/m}^3$. For C_d, the drag coefficient, use 2.0.</p> $F = 1/2 [(10^{-13} \text{ kg/m}^3) (2)(3 \text{ m}^2) (7,504 \text{ m/s})^2] = 1.7 \times 10^{-5} \text{ N}$ $T = FL = 1.7 \times 10^{-5} \text{ N} (0.2 \text{ m}) = 3.4 \times 10^{-6} \text{ N} \cdot \text{m}$ <p>This is small. At a 100-km orbit, however, $\rho = 10^{-9} \text{ kg/m}^3$. This results in $T = 3.3 \times 10^{-2} \text{ N} \cdot \text{m}$, which is significant for our small spacecraft.</p>

Ruimtevaartuig-intern gegenereerde stoorkoppels

Voorbeelden:

- Aligneringsnauwkeurigheid in de stuurraketten ($\sim 0.1^\circ - 0.5^\circ$)
- "Mismatch" tussen de stuurraketten ($\sim 5\%$)
- Roterende componenten
- Klotsen van vloeistoffen (bv. brandstof)
- Flexibele structuren
- Beweging door bemanning

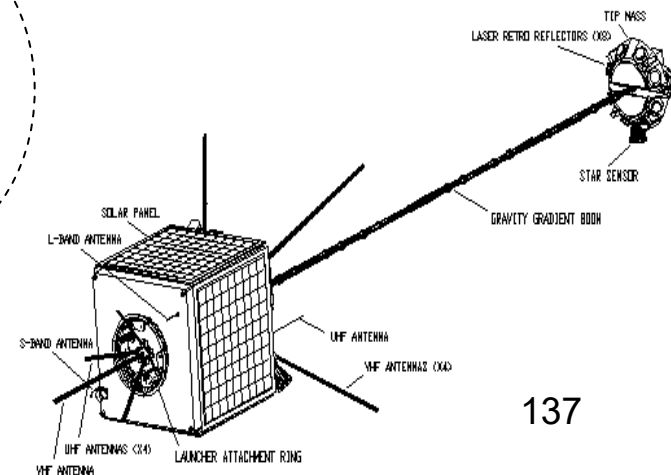
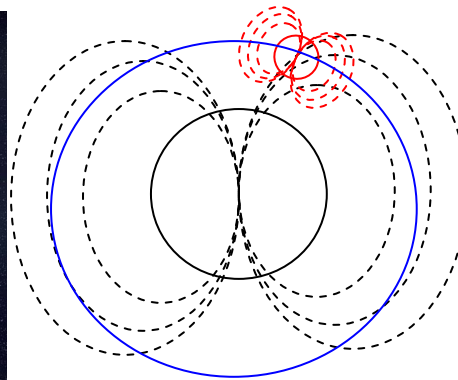
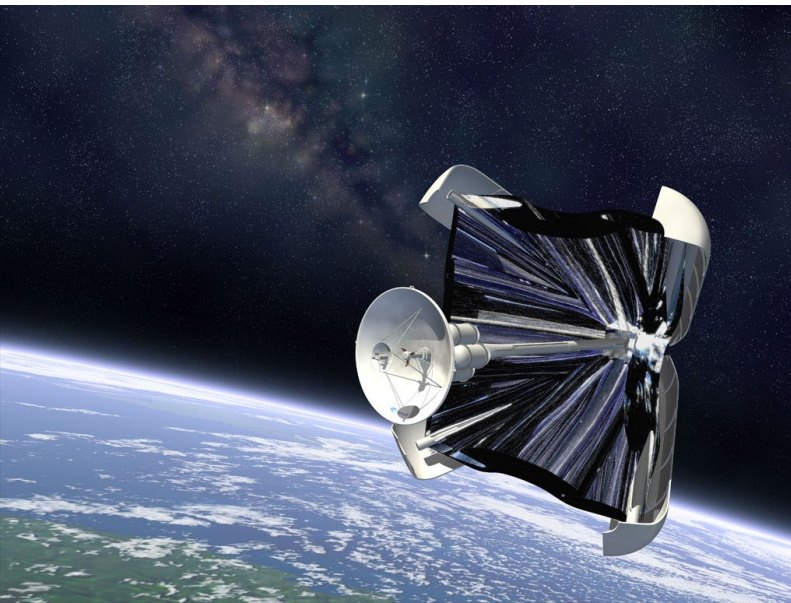
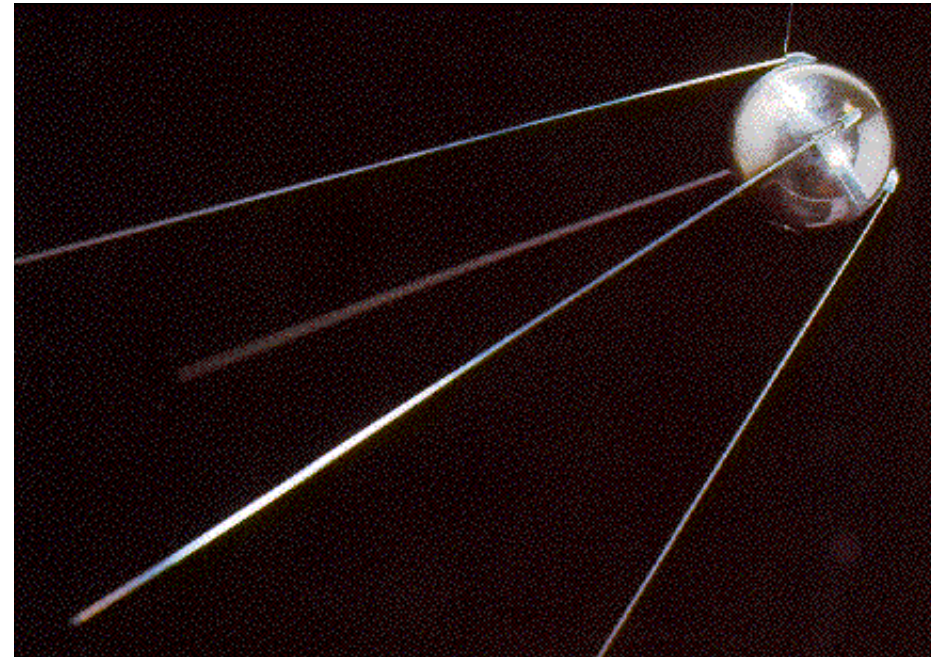
"Passieve" standregeling

Gebruik van wisselwerking met de omgeving
voor stabilisatie en controle

"Passieve" standregeling

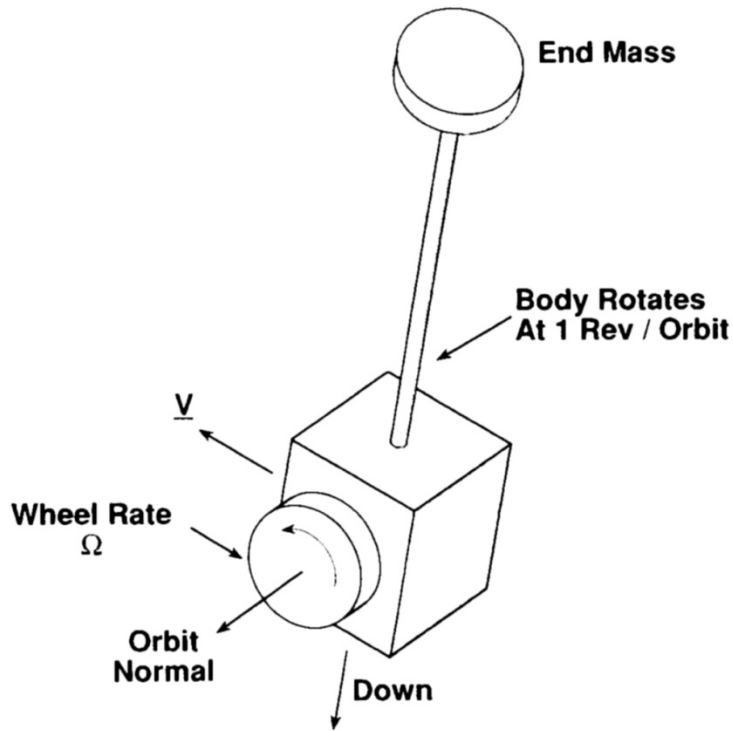
Stoorkoppels geïnduceerd door de omgeving van het ruimtevaartuig kunnen ook worden aangewend voor "passieve" standregeling:

- Gravity Gradient Boom
- Aero-fins
- Magnetic Torque Rods
- Solar Sails



"Passieve" standregeling

Vb. Zwaartekracht-gradiënt stabilisatie voor een satelliet in een lage baan waarbij waarneeminstrumenten in de nadir of zenith richting moeten worden gericht (locale verticaal). Dit vereist een traagheidsas $I_z \ll I_x, I_y$



Realisatie m.b.v. een lange arm ("boom") met grote massa aan het uiteinde langs de body z-as (= locale verticaal).

Stabilisatie ongevoelig voor rotatie om de z-as ("yaw"-hoek ψ stabiliteit).

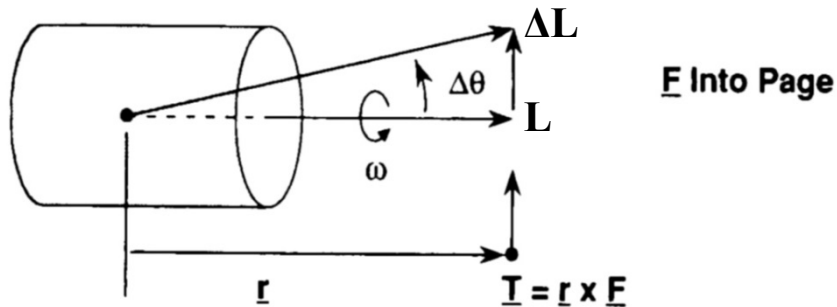
Deze stabilisatie kan worden verkregen door toevoeging van een reactiewiel dat een draai-impulsvector \mathbf{L} genereert loodrecht op het baanvlak. Gebruikt bij laagvliegende radarsatellieten.

Stabilisatie $\sim 1^\circ$, lange levensduur 15 jaar+

"Passieve" standregeling: spinstabilisatie

Spinstabilisatie maakt gebruik van de gyroscopische "stijfheid" van een roterend lichaam om een oriëntatie in een inertiaal stelsel te behouden.

Zonder externe stoorkoppels behoudt de door de spin veroorzaakte draai-impulsvector \mathbf{L}_{spin} zijn richting en grootte in de ruimte.



Een uitwendig opgelegd koppel kan worden gesplitst in \parallel en \perp componenten t.o.v. \mathbf{L}_{spin} .
 \parallel vergroot of verkleint \mathbf{L}_{spin}
 \perp verandert de richting van \mathbf{L}_{spin}

$$|\Delta\mathbf{L}| = |\mathbf{L}|\Delta\theta = |[I]\boldsymbol{\omega}| \Delta\theta$$

$$|\dot{\mathbf{L}}| = |\mathbf{T}| = |\mathbf{r} \times \mathbf{F}| = |\mathbf{r}||\mathbf{F}| \approx |\Delta\mathbf{L}|/\Delta t \rightarrow \Delta\theta \approx |\mathbf{r}||\mathbf{F}| \Delta t / |\mathbf{L}| = |\mathbf{r}||\mathbf{F}| \Delta t / |[I]\boldsymbol{\omega}|$$

De gyroscopische "stijfheid" verschijnt als $|\mathbf{L}|$ in de noemer van $\Delta\theta$, des te hoger deze waarde des te kleiner is de afwijking $\Delta\theta$ t.g.v. een extern (stoor)koppel op de stand van de satelliet.

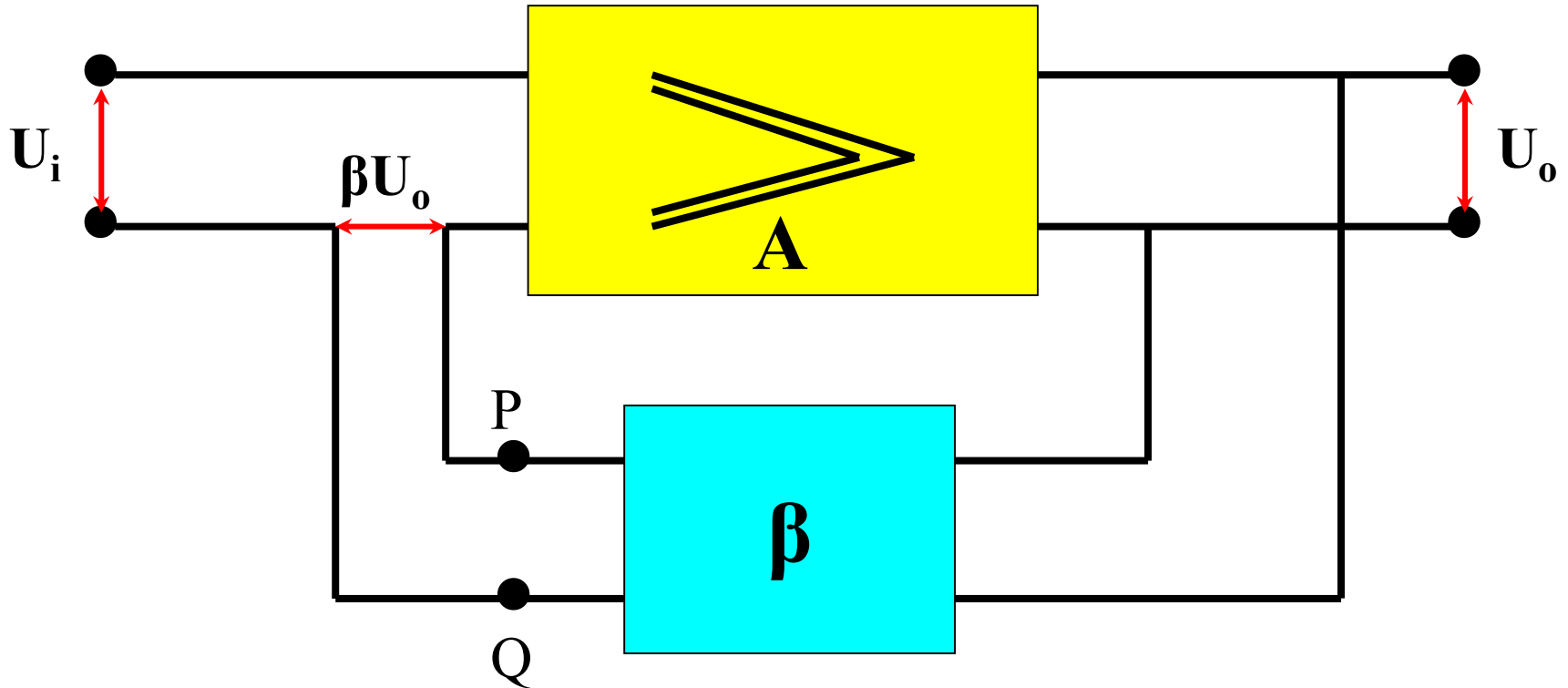
Actieve Standregeling

Stabilisatie en Controle
door terugkoppeling (**feedback**)

Terugkoppeling bij een versterkend element

Algemeen: $\mathbf{A} = \mathbf{A}(j\omega) = \text{complexe grootheid}$

$\boldsymbol{\beta} = \boldsymbol{\beta}(j\omega) = \text{complexe grootheid}$

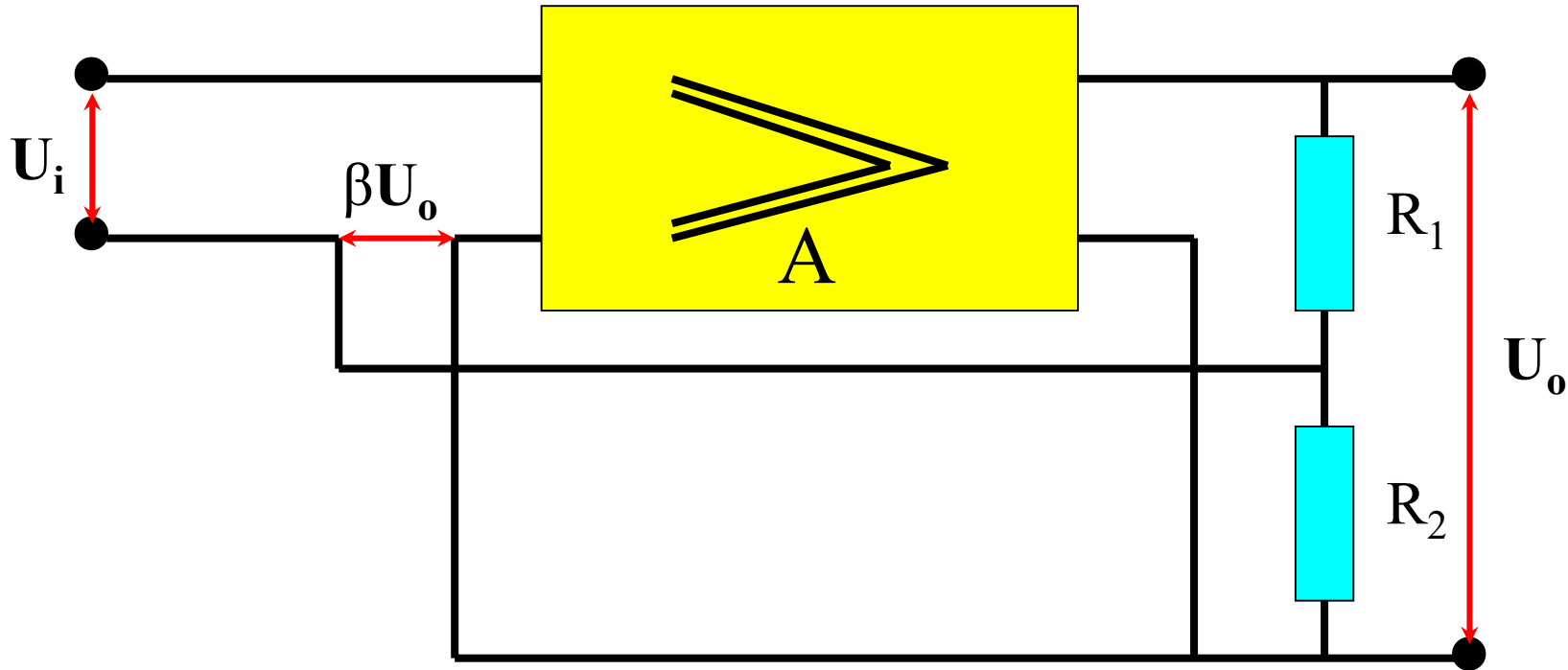


$$\mathbf{A}^* = \mathbf{U}_o/\mathbf{U}_i = \mathbf{A}/(1 - \mathbf{A}\boldsymbol{\beta}), |1 - \mathbf{A}\boldsymbol{\beta}| > 1 \text{ tegenkoppeling}$$

$$|1 - \mathbf{A}\boldsymbol{\beta}| < 1 \text{ meekoppeling}$$

Stabilisatie door terugkoppeling

Vereenvoudiging in dit voorbeeld: A en β zijn reëel

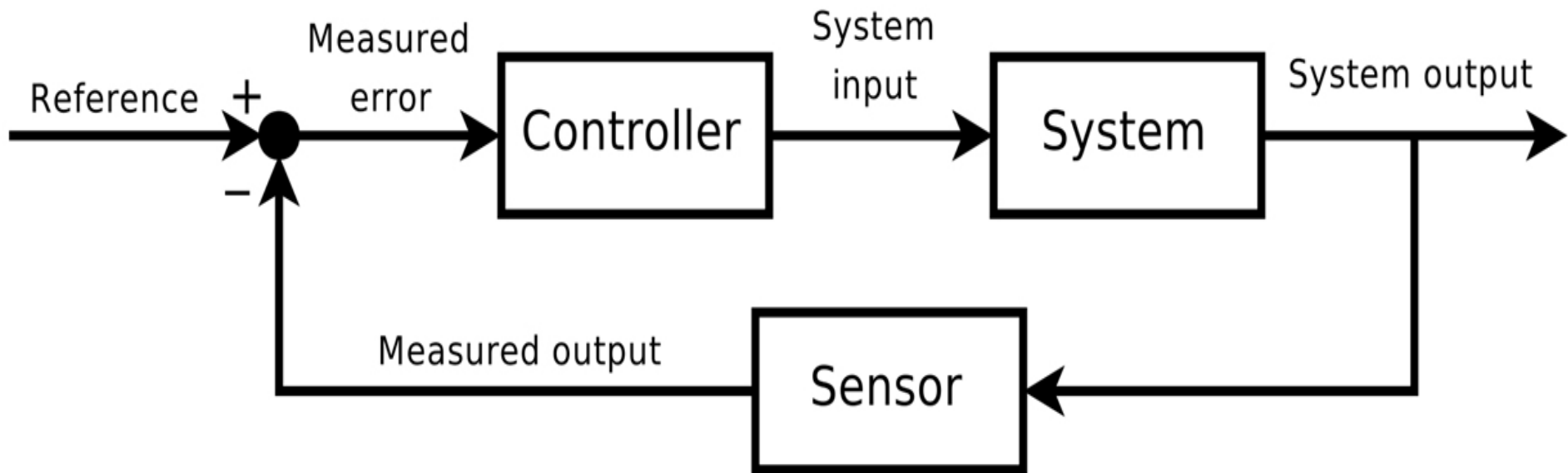


$$\beta = R_2 / (R_1 + R_2), \text{ met } -A\beta \gg 1 \rightarrow A^* \approx -1/\beta$$

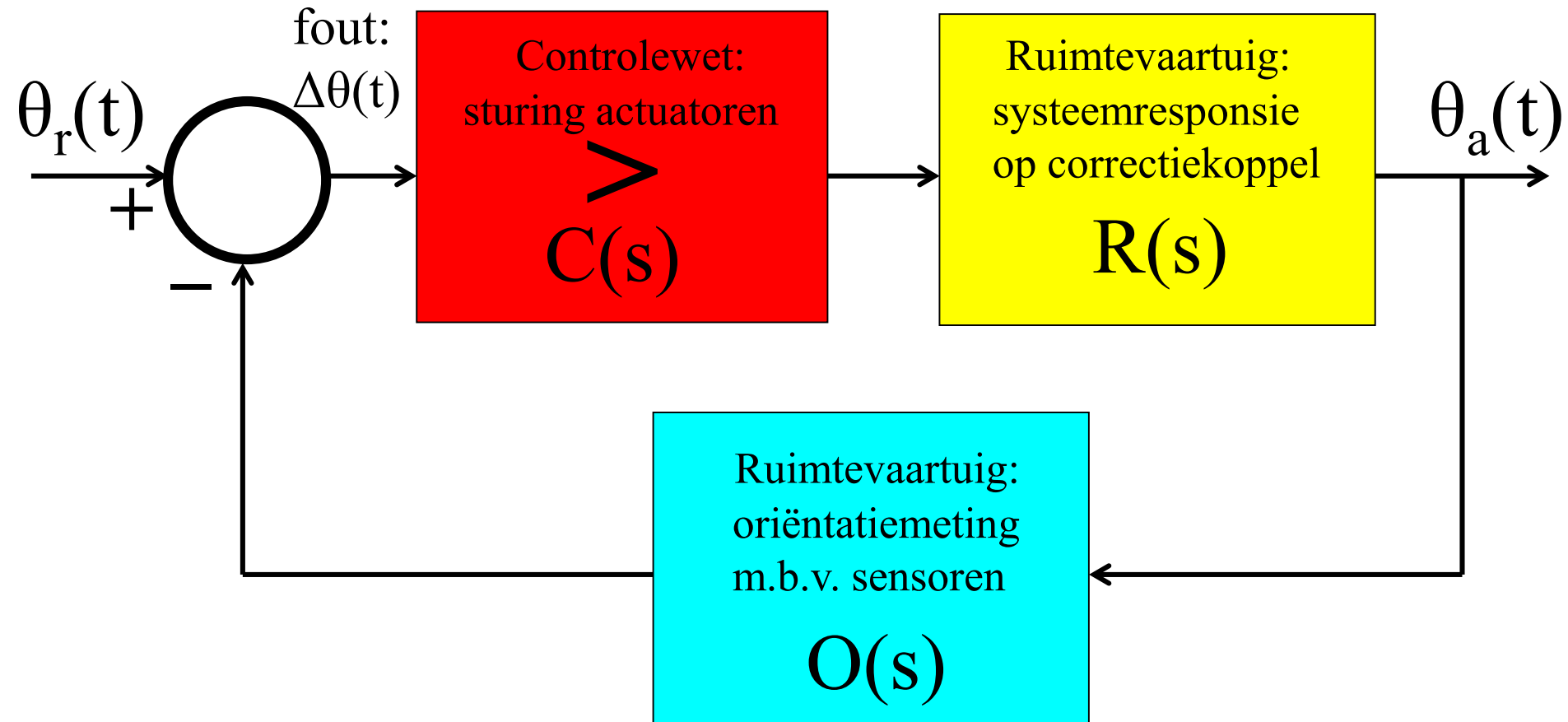
$$\text{Vb. } A = -10^6 \text{ en } \beta = 10^{-4} \rightarrow -A\beta = 100, A^* \approx -10^4$$

Verandert A naar -5×10^5 (factor 2), A^* met slechts 1%!

Gesloten lus controle systemen (closed loop control systems)



Standcontrole door terugkoppeling (1-assig)



Controlewet: specificeert de grootte van het correctiekoppel dat moet worden aangebracht als reactie op een gegeven hoekfout. 144

Systeemmodel: lineair en tijdsinvariant (LTI)

Betekenis: de signaalresponsie in het tijdsdomein wordt beschreven door een lineaire differentiaalvergelijking (LDV) met constante coëfficiënten.

Oplossing.

Transformatie naar frequentiedomein (Laplace/Fourier transformatie): de differentiaalvergelijking gaat dan over in een polynoomvergelijking die algebraïsch kan worden opgelost.

$\theta_r(t) \leftrightarrow \theta_r(s)$: input, $s = \alpha + i\omega =$ complexe frequentie

$\theta_a(t) \leftrightarrow \theta_a(s)$: output

$R(s)$: polynoom die de dynamica van het ruimtevaartuig beschrijft
(= frequentiekaracteristiek)

$C(s)$: frequentiekaracteristiek van de controlewet (= fysisch model)

$O(s)$: frequentiekaracteristiek van de standsensoren.

Relatie input-output van het standregelsysteem

$$H(s) = \theta_a(s)/\theta_r(s) = R(s)C(s)/[1+O(s)R(s)C(s)]$$

$H(s)$ heet de overdrachtsfunctie van het standregelsysteem.

Terugtransformatie van $H(s)$ naar het tijdsdomein $H(s) \leftrightarrow h(t)$.

$h(t)$ = impulsresponsie van het standregelsysteem = tijdsafgeleide van de responsie op een stapsgewijze verandering.

De noemer van de overdrachtsfunctie:

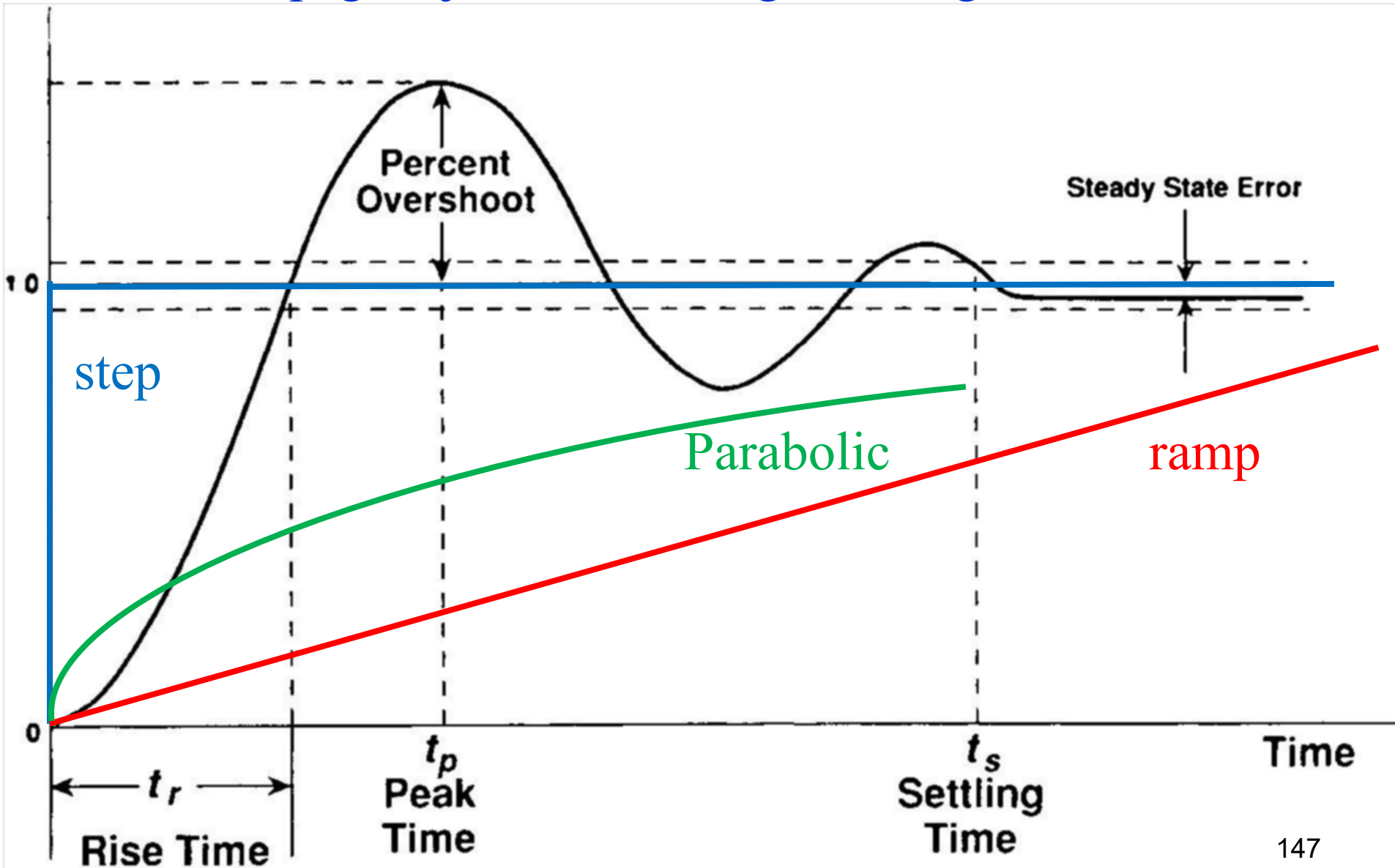
$$[1+O(s)R(s)C(s)]$$

wordt de karakteristieke vergelijking genoemd.

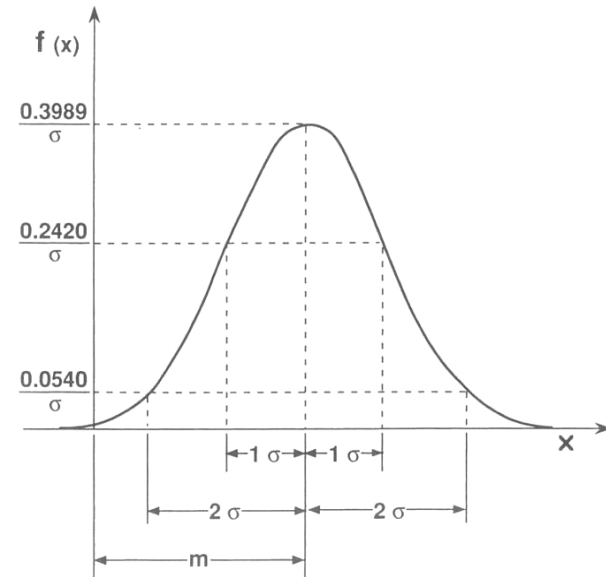
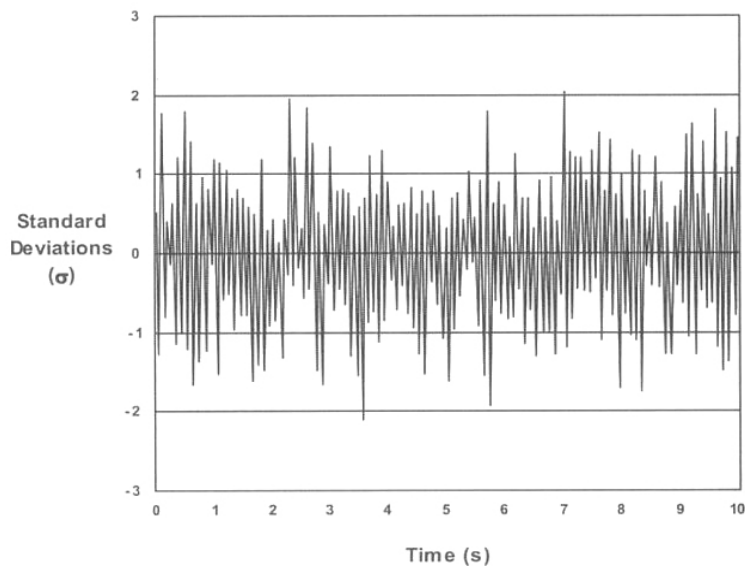
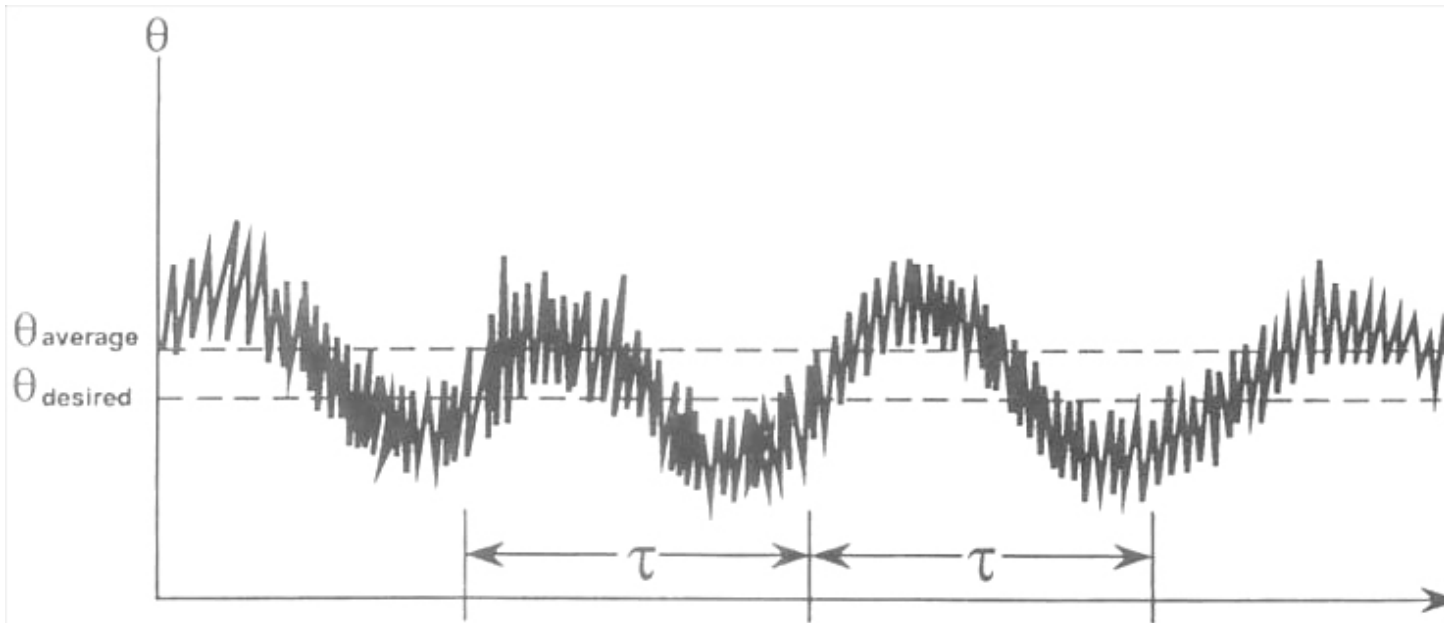
De wortels van deze vergelijking zijn de zogenaamde systeempolen in het complexe frequentiedomein (s -domein). Het gedrag van het standregelsysteem wordt in hoge mate bepaald door de ligging van deze systeempolen in het s -domein en zijn de belangrijkste parameters in het optimaliseren van het regelsysteem.

De graad van de polynoom die de karakteristieke vergelijking beschrijft wordt de orde van het standregelsysteem genoemd.

Responsie van een "closed loop" systeem op een stapsgewijze verandering van de gewenste stand



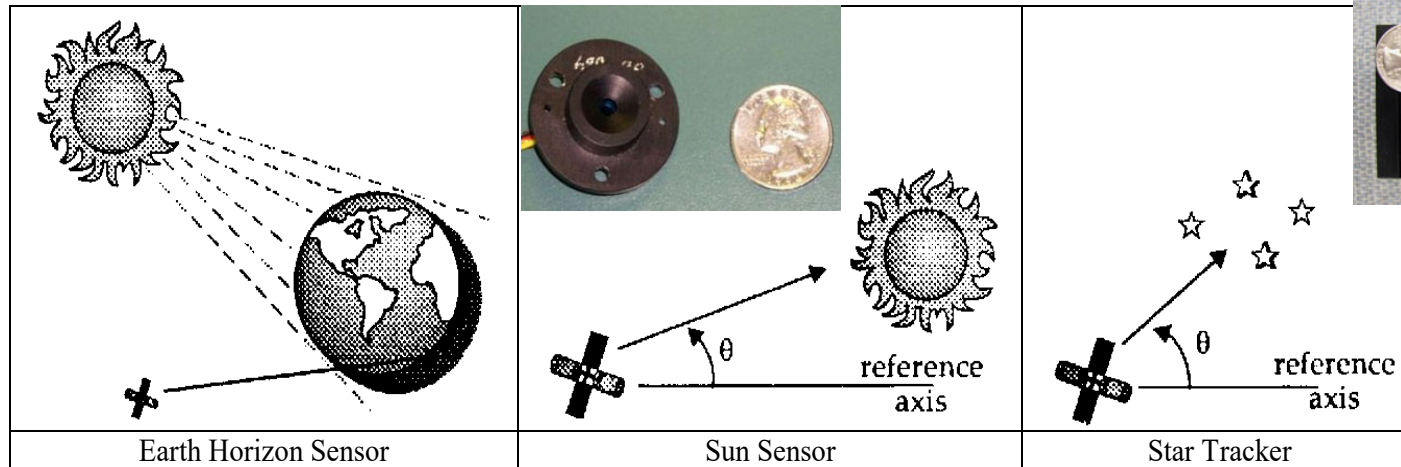
S/C pointing history, attitude jitter



Standsbepaling: sensoren

- Aardesensor (horizon sensor).
 - Maakt gebruik van IR-straling (15 μm CO₂ lijn) voor de detectie van de grens tussen de bovenste laag van de dampkring en buitenaardse ruimte
 - Wordt toegepast als "scanner"
- Zonsensor
- Stersensor
 - Scanner: voor een spinning S/C of een roterend platform
 - Tracker/Mapper: voor een 3-assen-gestabiliseerde S/C
 - Tracker (enkele ster) / Mapper (meerdere sterren)
- Inertiaal referentie
 - Gyro's en accelerometers
- Magnetometer
 - Vereist computeropslag van een magneetveld-model van het betreffende referentie object
- Differentiële GPS

Standsbepaling: sensoren



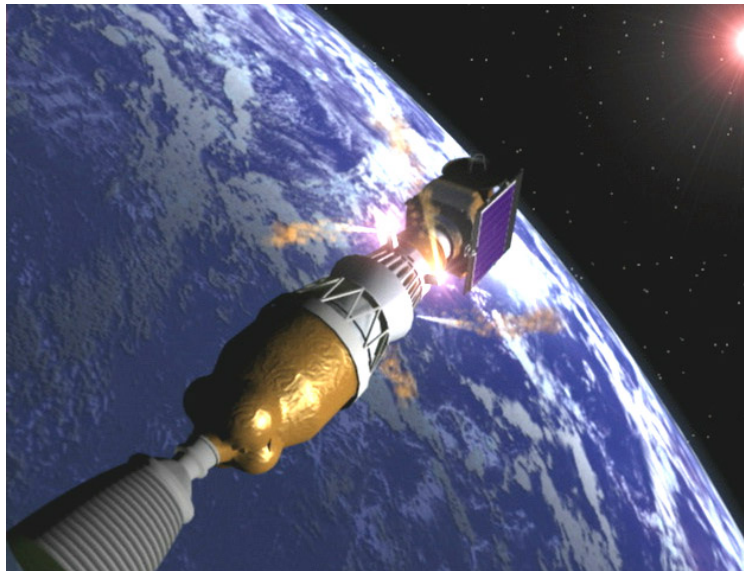
Sensor	Accuracies	Comments
IMU	Drift: 0.0003 – 1 deg/hr 0.001 deg/hr nominal	Requires updates
Star Sensor	1 arcsec – 1 arcmin (0.0003 – 0.001 deg)	2-axis for single star Multiple stars for map
Sun Sensor	0.005 – 3 deg 0.01 deg nominal	Eclipse
Earth Sensor GEO LEO	< 0.1 – 0.25 deg 0.1 – 1 deg	2-axis
Magnetometer	0.5 – 3 deg	< 6000 km Difficult for high i

Standregeling: actuatoren

Twee typen actuatoren:

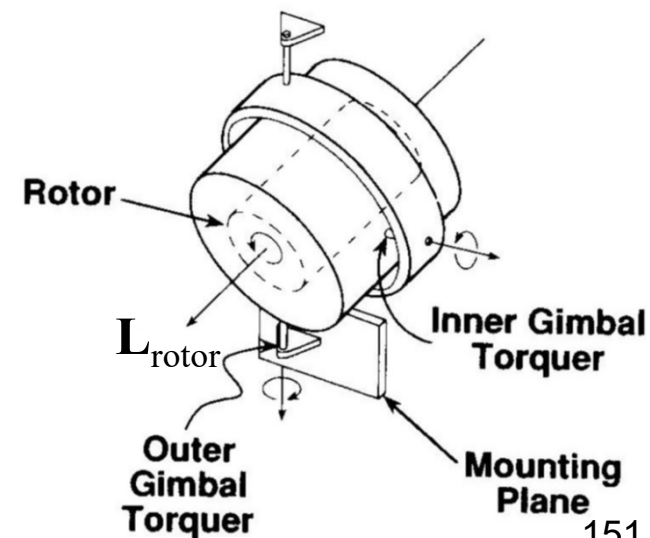
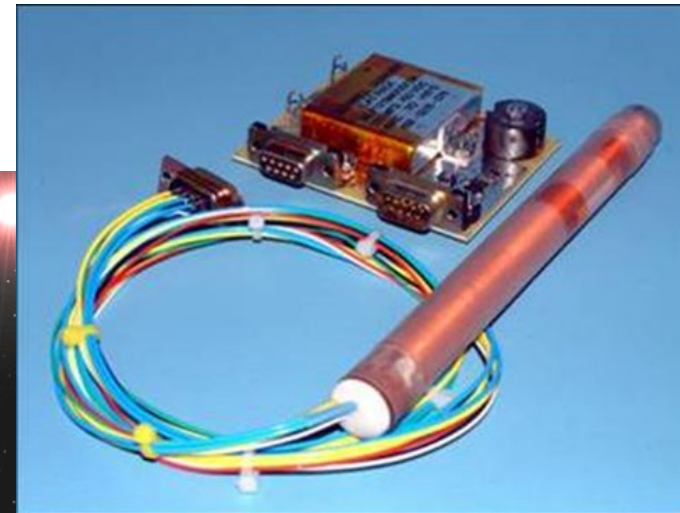
– Passief

- Gravity Gradient Booms
- Dempers
- Yo-yo's
- Spinning



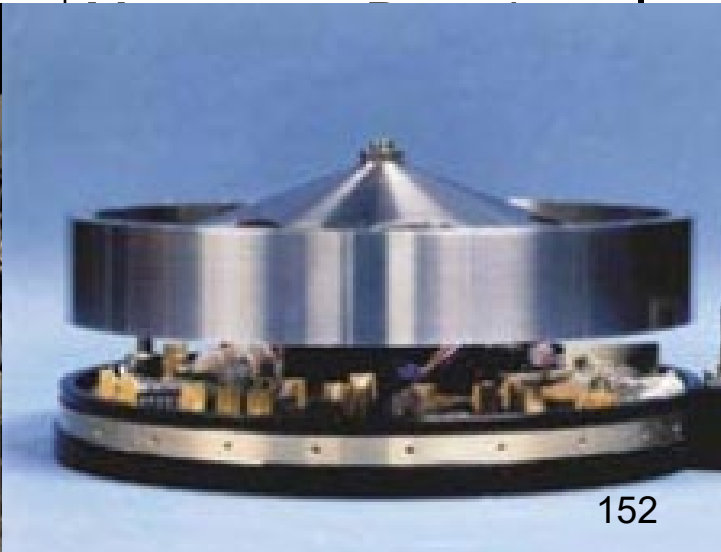
– Actief

- Stuurraketten
- Reactiewielen (varieert grootte L_{rotor})
- Control Moment Gyro's (varieert richting L_{rotor})
- Magnetisch-koppel spoelen (torque rods)



Standregelung: actuatoren

Actuator	Accuracy	Comment
Gravity Gradient	$\pm 5^\circ$	2 Axis, Simple
Spin Stabilized	$\pm 0.1^\circ$ to $\pm 1^\circ$	2 Axis, Rotation
Torque Rods	$\pm 1^\circ$	High Current
Reaction Wheels	$\pm 0.001^\circ$ to $\pm 0.1^\circ$	High Mass and Power,



Standregelung: diverse operationale modi

Typical Attitude Control Modes. Performance requirements are frequently tailored to these different control operating modes.

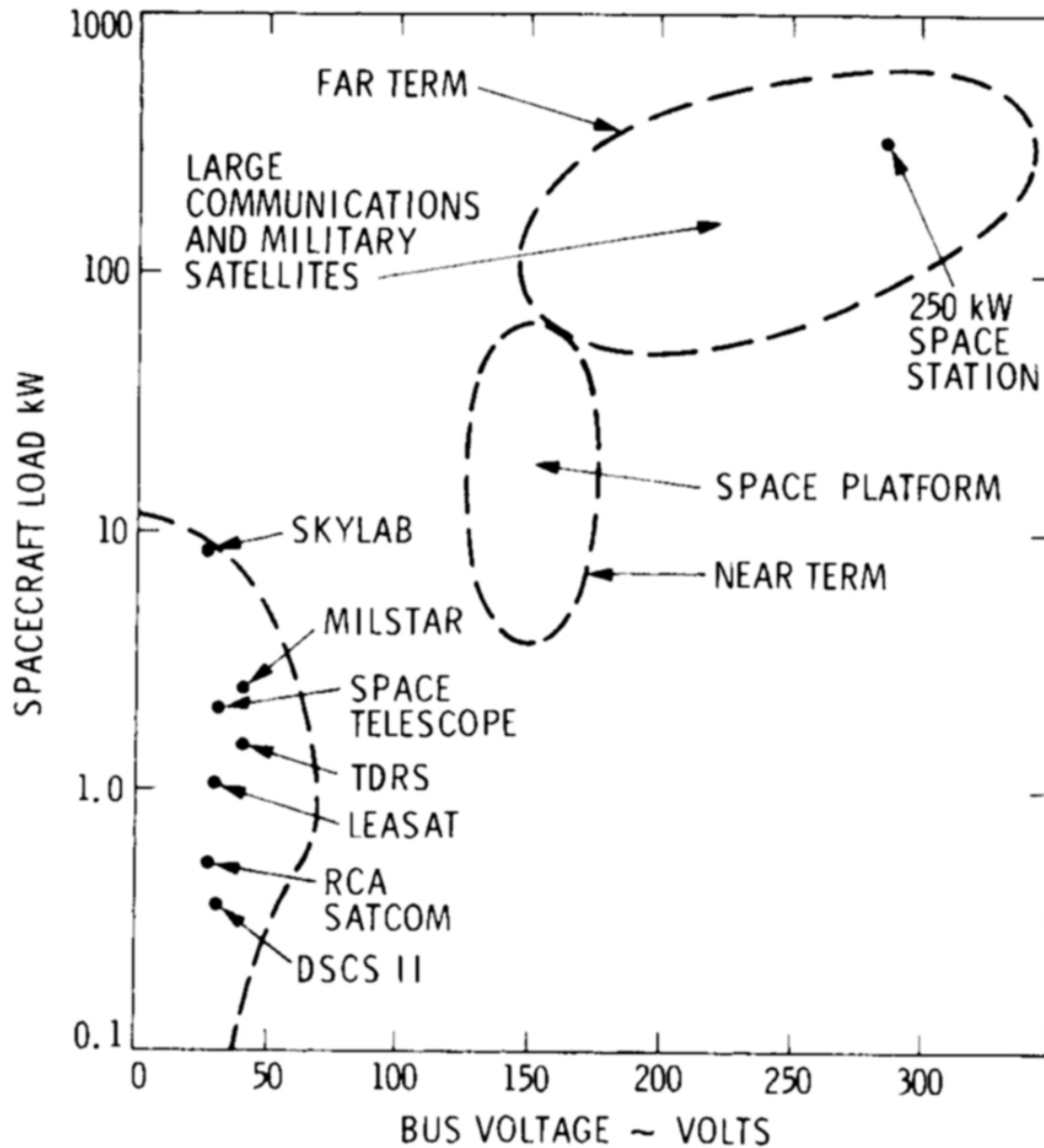
Mode	Description
<i>Orbit Insertion</i>	Period during and after boost while spacecraft is brought to final orbit. Options include no spacecraft control, simple spin stabilization of solid rocket motor, and full spacecraft control using liquid propulsion system.
<i>Acquisition</i>	Initial determination of attitude and stabilization of vehicle. Also may be used to recover from power upsets or emergencies.
<i>Normal, On-Station</i>	Used for the vast majority of the mission. Requirements for this mode should drive system design.
<i>Slew</i>	Reorienting the vehicle when required.
<i>Contingency or Safe</i>	Used in emergencies if regular mode fails or is disabled. May use less power or sacrifice normal operation to meet power or thermal constraints.
<i>Special</i>	Requirements may be different for special targets or time periods, such as eclipses.

Energieopwekking en distributie

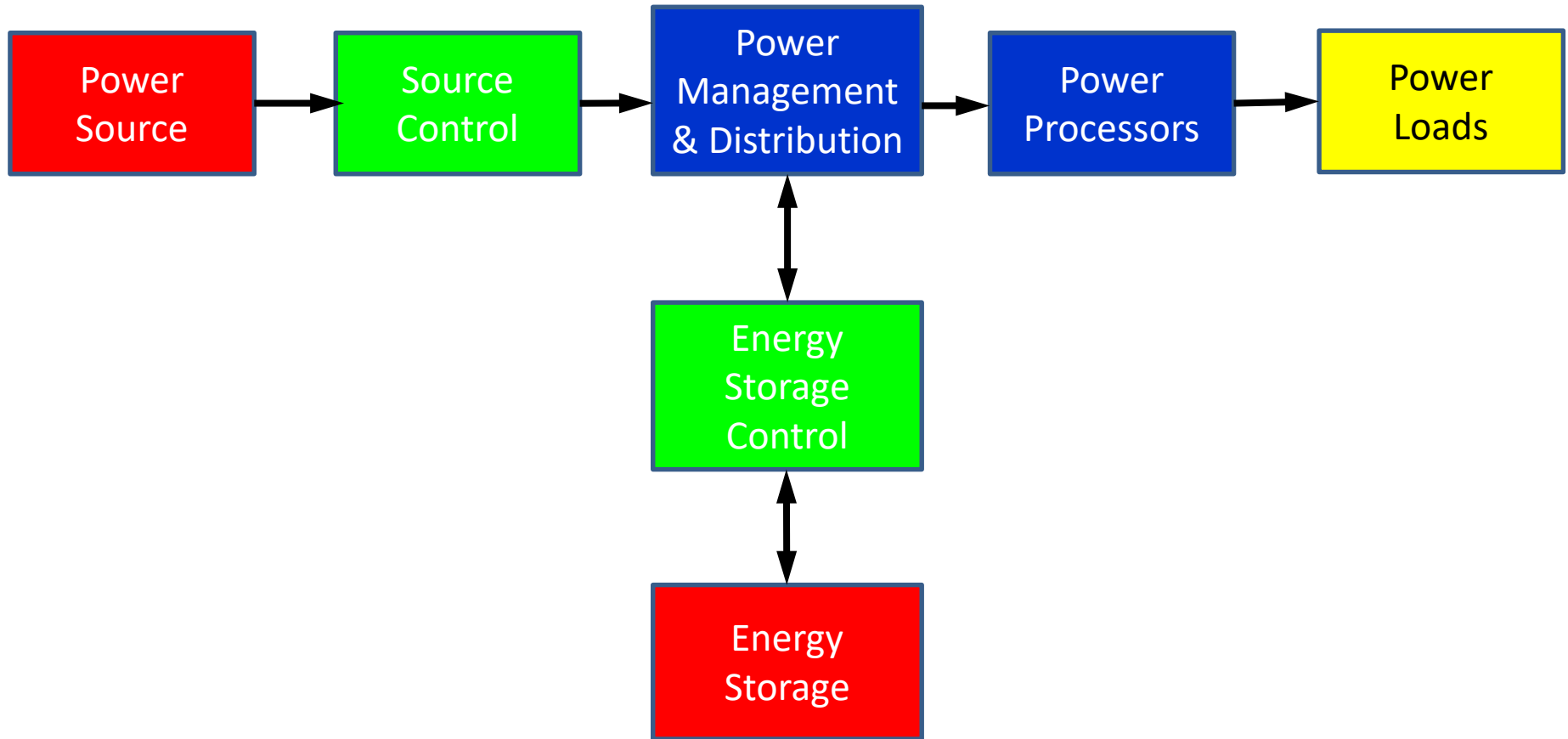
Brandstofcel

Zonne-energie

Radio-isotoop Thermische Generator

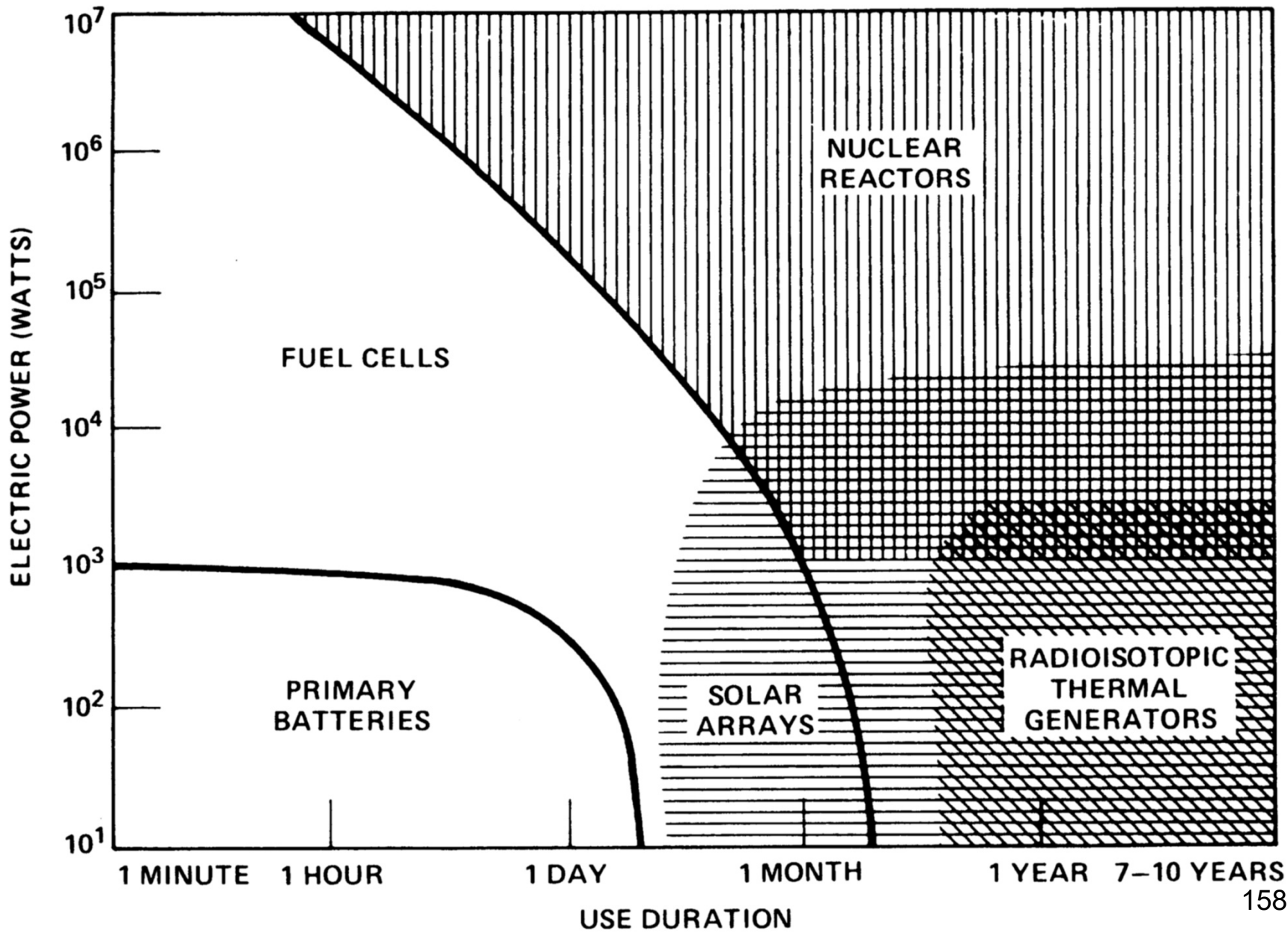


Sub-systeem voor energievoorziening: functies

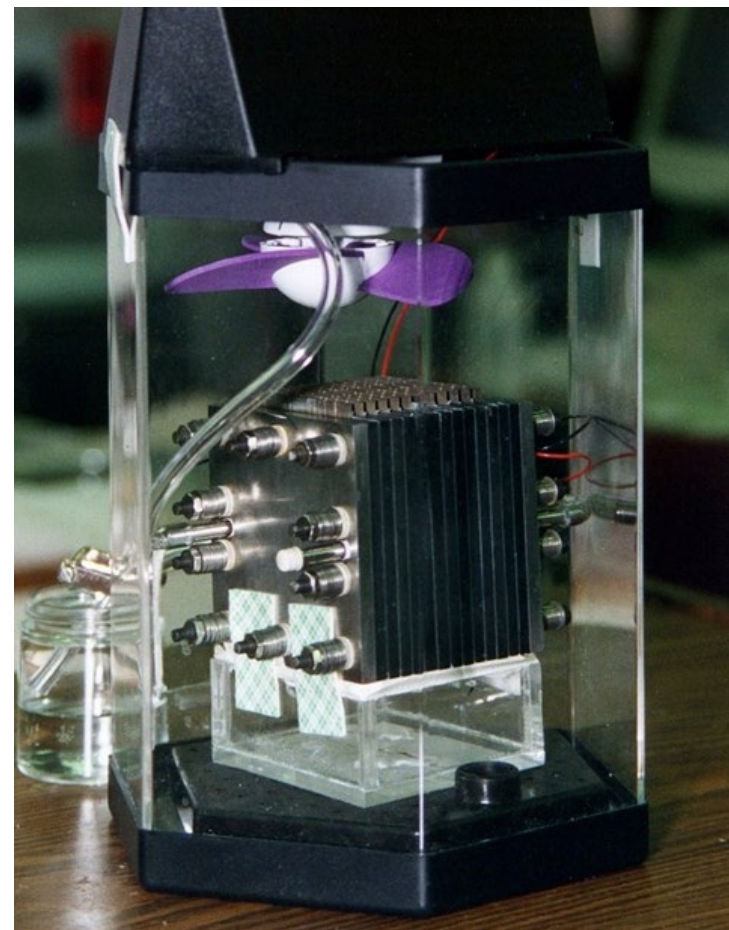
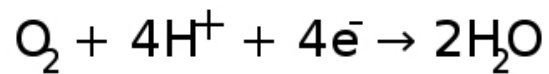
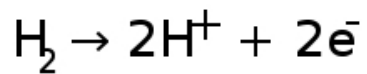
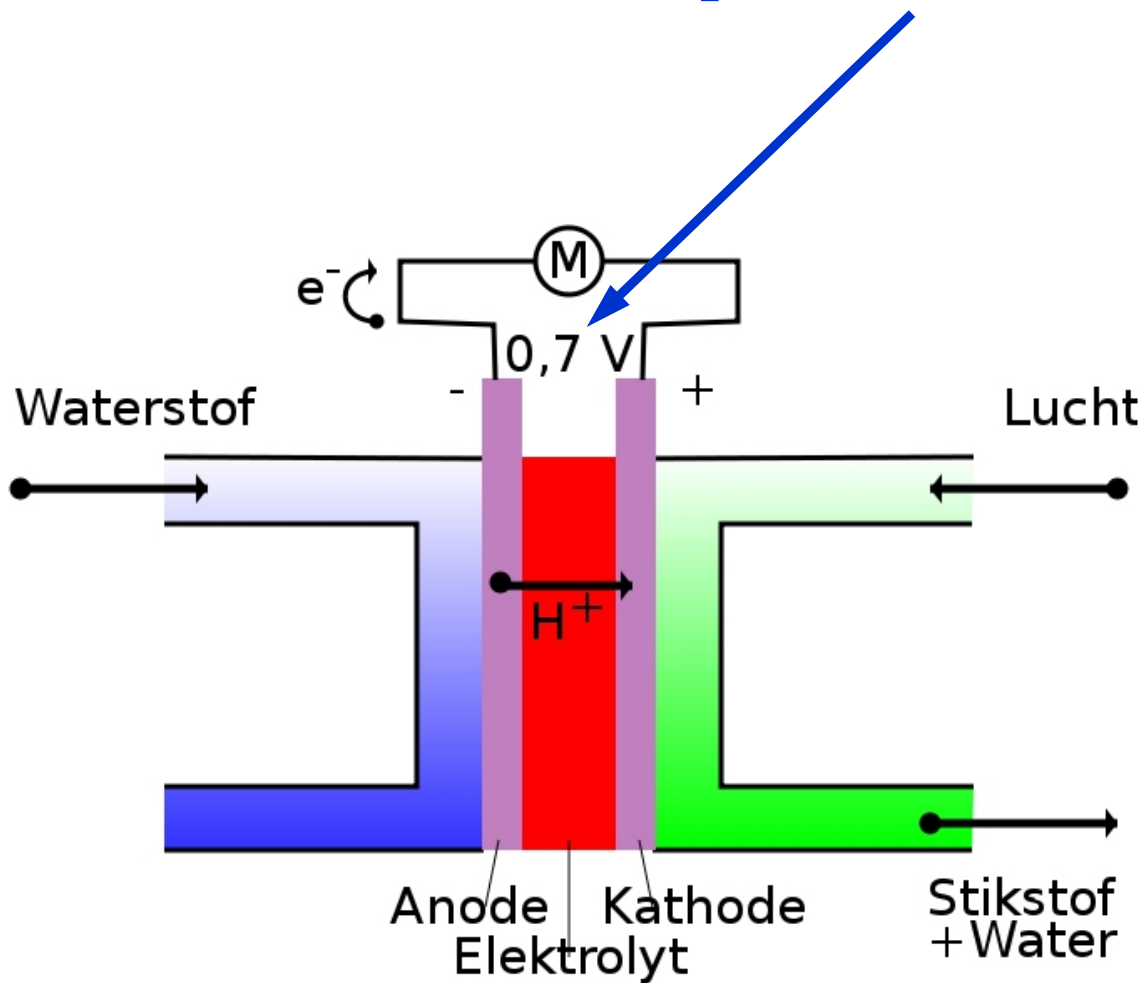


Sub-systeem voor energievoorziening: ontwerp

- Eisenspecificaties:
 - Missie levensduur
 - Elektrisch vermogensprofiel voor het ruimtevaartuig, gemiddeld vermogen
- Selectie en dimensionering van de energiebron:
 - Selectie: brandstofcellen of zonnecellen voor banen om de aarde en de binnenplaneten, RTGs voor de buitenplaneten
 - Dimensionering: End Of Life (EOL) eis en configuratie trade-offs
- Selectie en dimensionering van de energieopslagcapaciteit:
 - Duur en frequentie perioden van zonne-eclips door de aarde
 - Type batterij
- Energie regeling en Controle
 - Traceer piekbelasting momenten
 - Thermische regeling
 - Bewaking kwaliteit (ruis, storing, stabiliteit) van de satelliet bus-spanningen



Principe van een brandstofcel



Zonne-energie

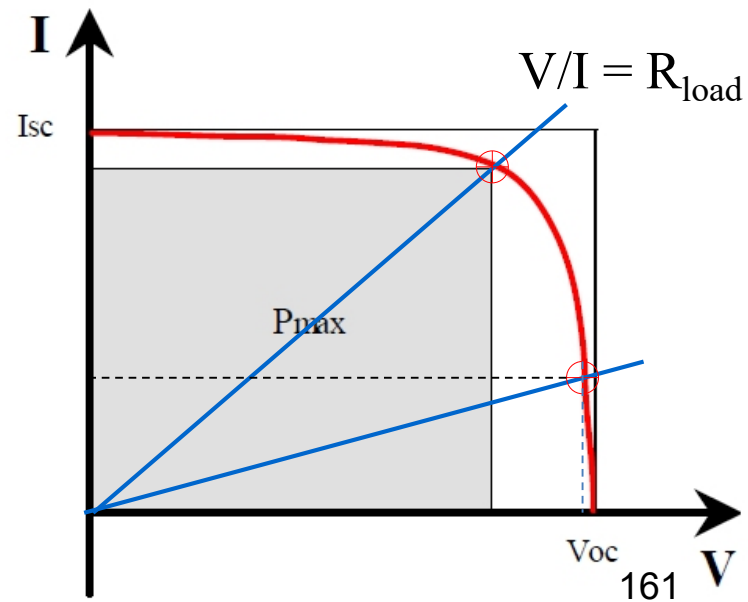
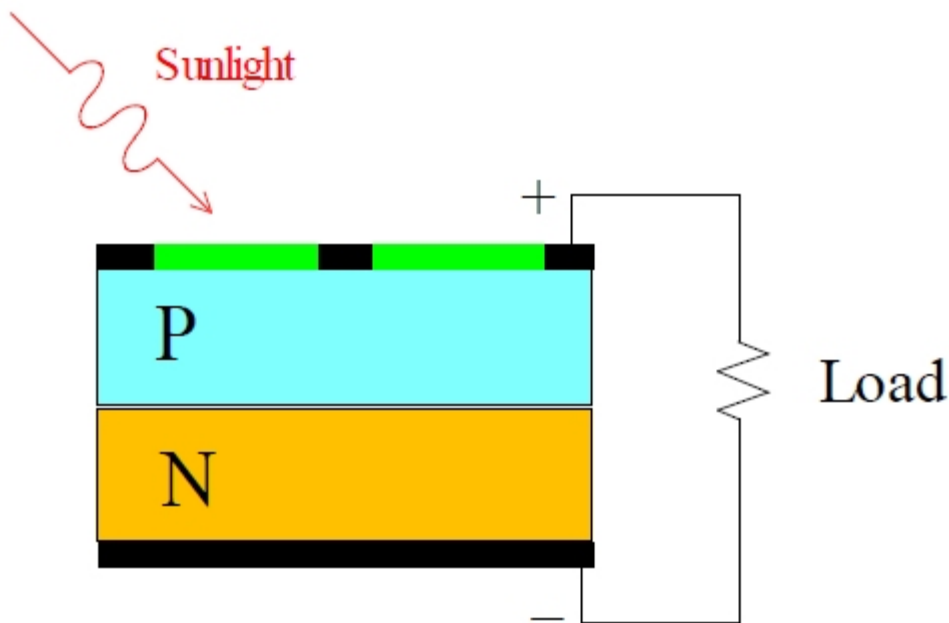
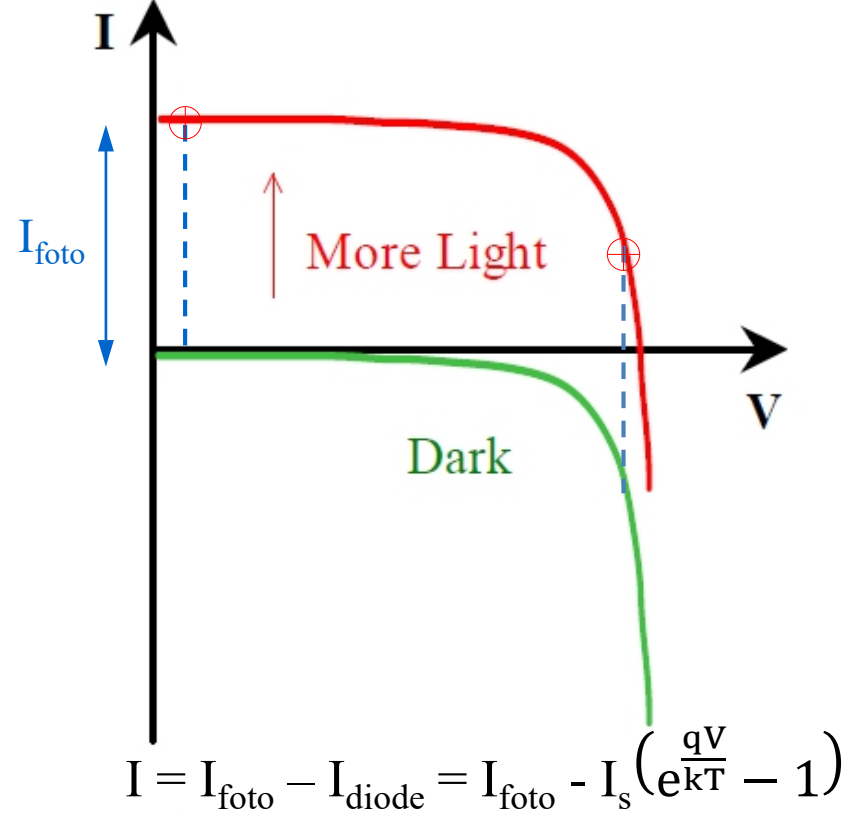
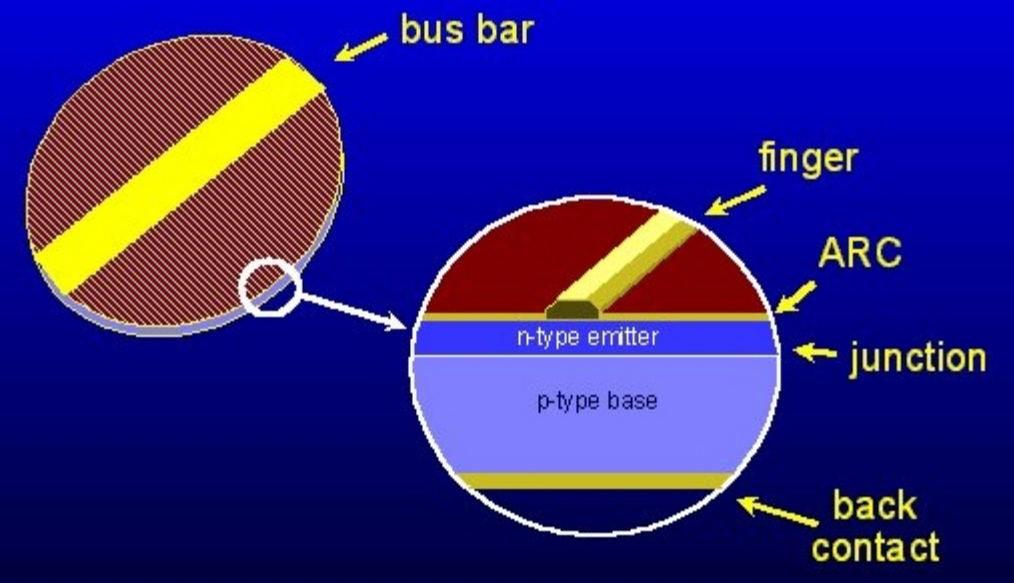
Zonneconstante P_{zon} :

Totale stralingsvermogen van de Zon dat loodrecht invalt op een eenheid van oppervlak geplaatst op de gemiddelde afstand tussen de Zon en de Aarde buiten de aardse dampkring.

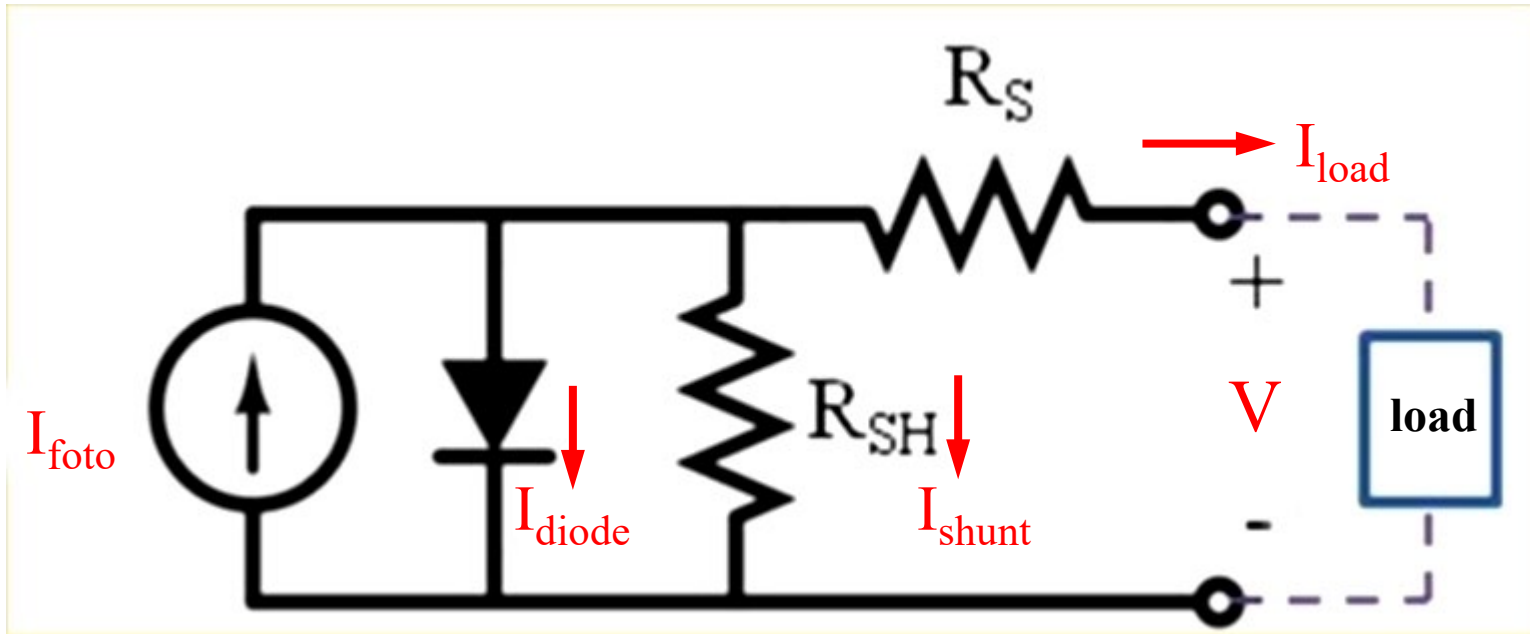
$$P_{\text{zon}} = 1358 \text{ W/m}^2$$

P_{zon} varieert gedurende het jaar tussen 1310 en 1400 W/m^2 , maximaal bij het perihelion en minimaal bij het aphelion.

The silicon solar cell

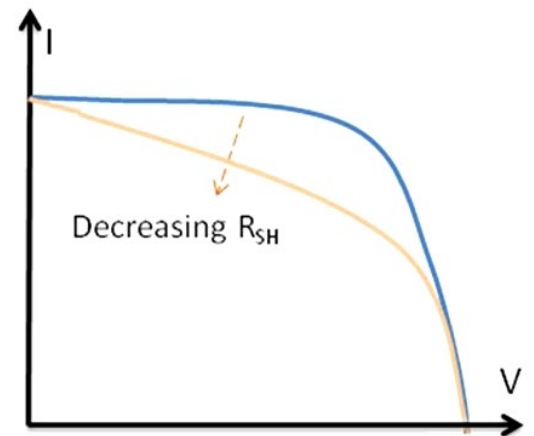
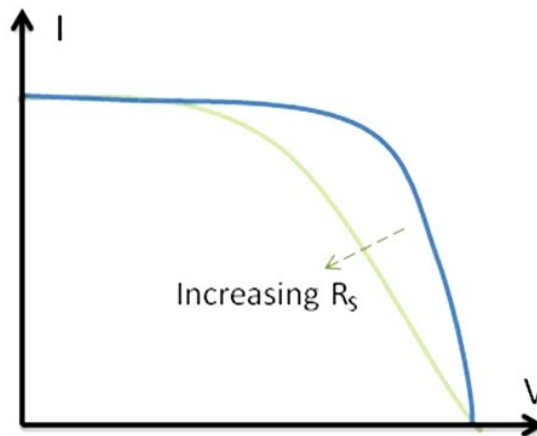
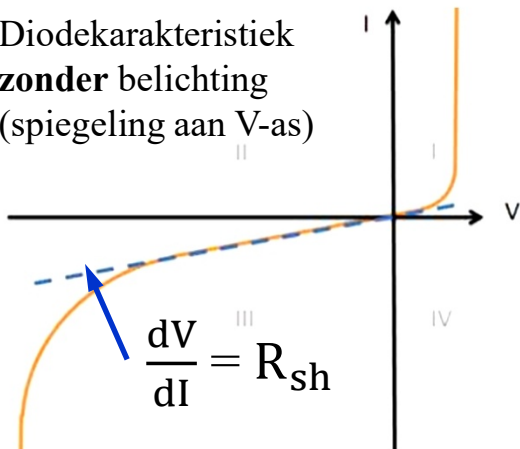


Zonnecel: eenvoudig vervangingschema



$$I_{\text{load}} = I_{\text{foto}} - I_{\text{diode}} - I_{\text{shunt}} = I_{\text{foto}} - I_s \left(e^{\frac{q(V+IR_S)}{kT}} - 1 \right) - \frac{V + IR_S}{R_{\text{sh}}}$$

Diodekarakteristiek
zonder belichting
(spiegeling aan V-as)



Verliesfactoren in zonnepanelen

- ❖ Omzettingsrendement in halfgeleidermateriaal:
 - Silicium (Si) $\approx 0,14$
 - Galliumarsenide (GaAs) $\approx 0,19$
 - Indiumfosfide (InP) $\approx 0,18$
 - Multi-junctie GaAs/Si $\approx 0,29$

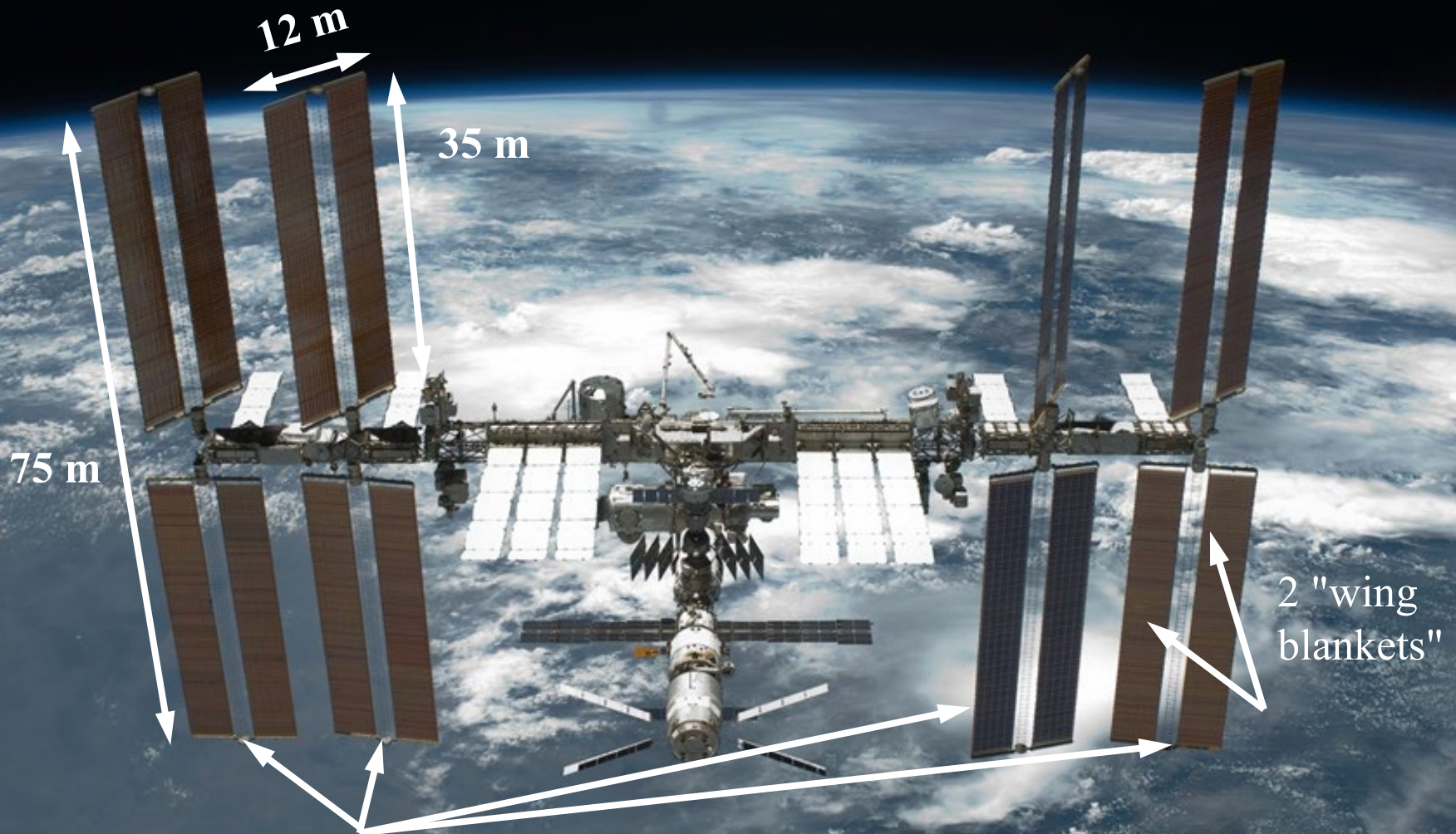
- ❖ Inherente verliezen ($\approx 0,8$):
 - Montagestructuur en assemblage verliezen
 - Verliezen door temperatuursvariaties

- ❖ Projectieverliezen ($\cos \theta$):
 - Invalshoek tussen de Zon-vector en de normaal-vector op het paneel

- ❖ Verliezen gedurende levensduur
 - Thermische cycli
 - Inslag micrometeoriten
 - uitgassing en oppervlaktecontaminatie
 - stralingsbeschadiging
 - $L = (1 - \text{verlies/jaar})^{\text{satellietlevensduur}}$

ISS bij vertrek van Endeavour op 30 mei 2011 (STS 134)

Vermogen geleverd door complete set zonnepanelen ≈ 270 kW



Totale set bestaat uit 4 "array wing pairs"

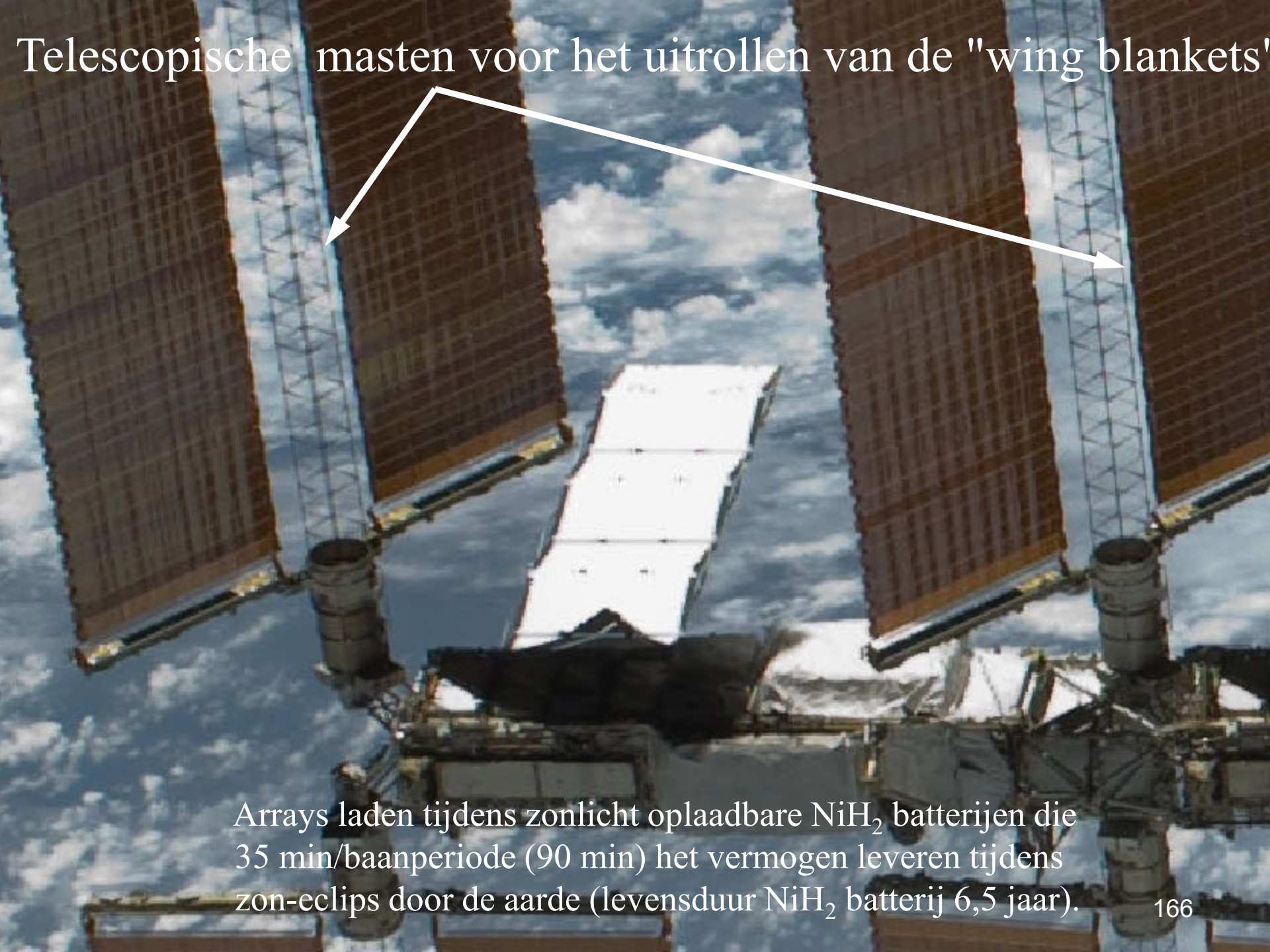
Array wing: ≈ 33000 cellen (8 x 8 cm), effectief oppervlak 375 m², ≈ 33 kW

ISS solar arrays: stowed configuration



Wing blanket in opgevouwen toestand (harmonica)

Past in box van 4,5 m lang x 0,5 m hoog



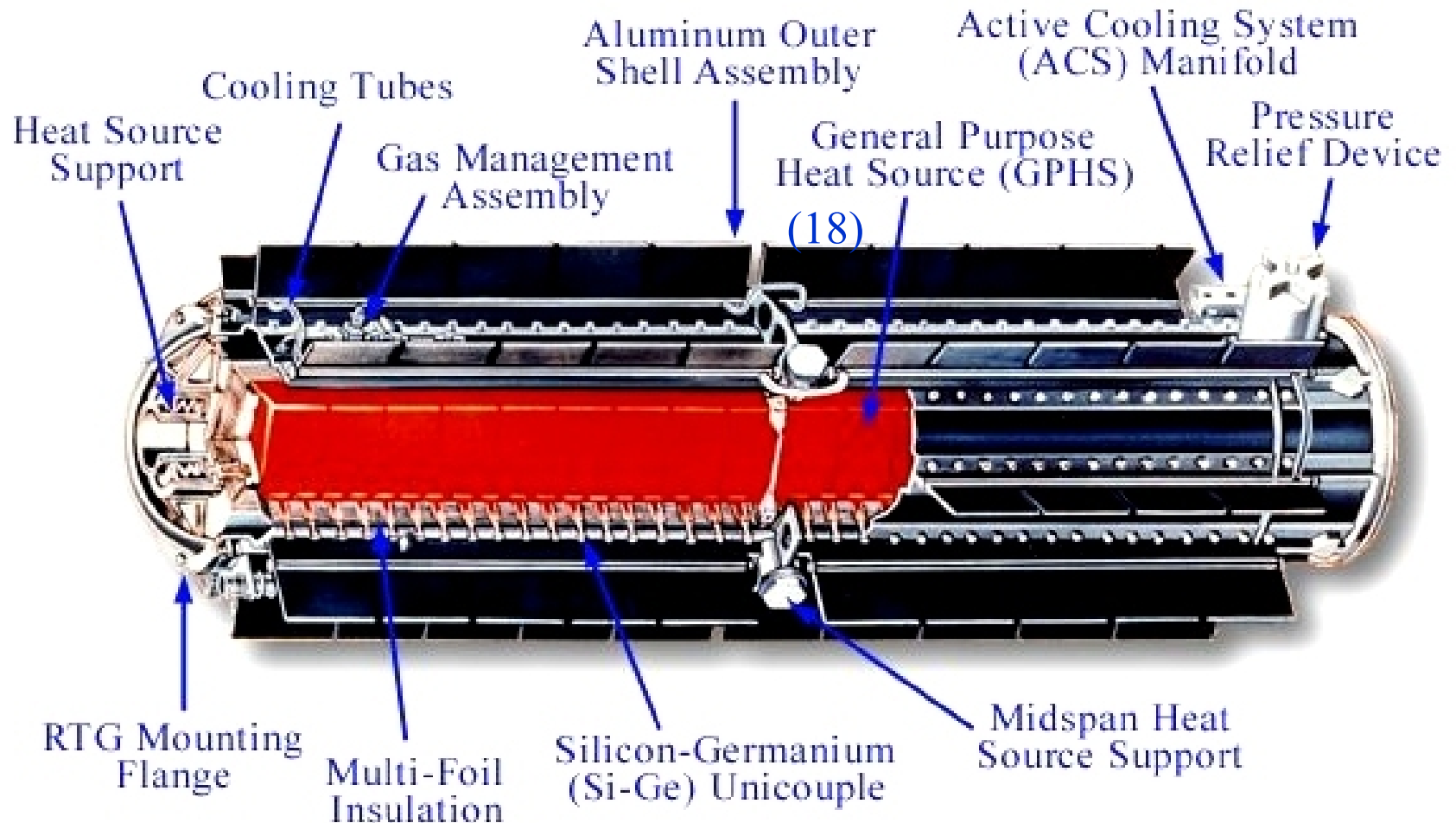
Telescopische masten voor het uitrollen van de "wing blankets"

Arrays laden tijdens zonlicht oplaadbare NiH_2 batterijen die 35 min/baanperiode (90 min) het vermogen leveren tijdens zon-eclips door de aarde (levensduur NiH_2 batterij 6,5 jaar).

Radioisotoop Thermo-electrische Generator (RTG)

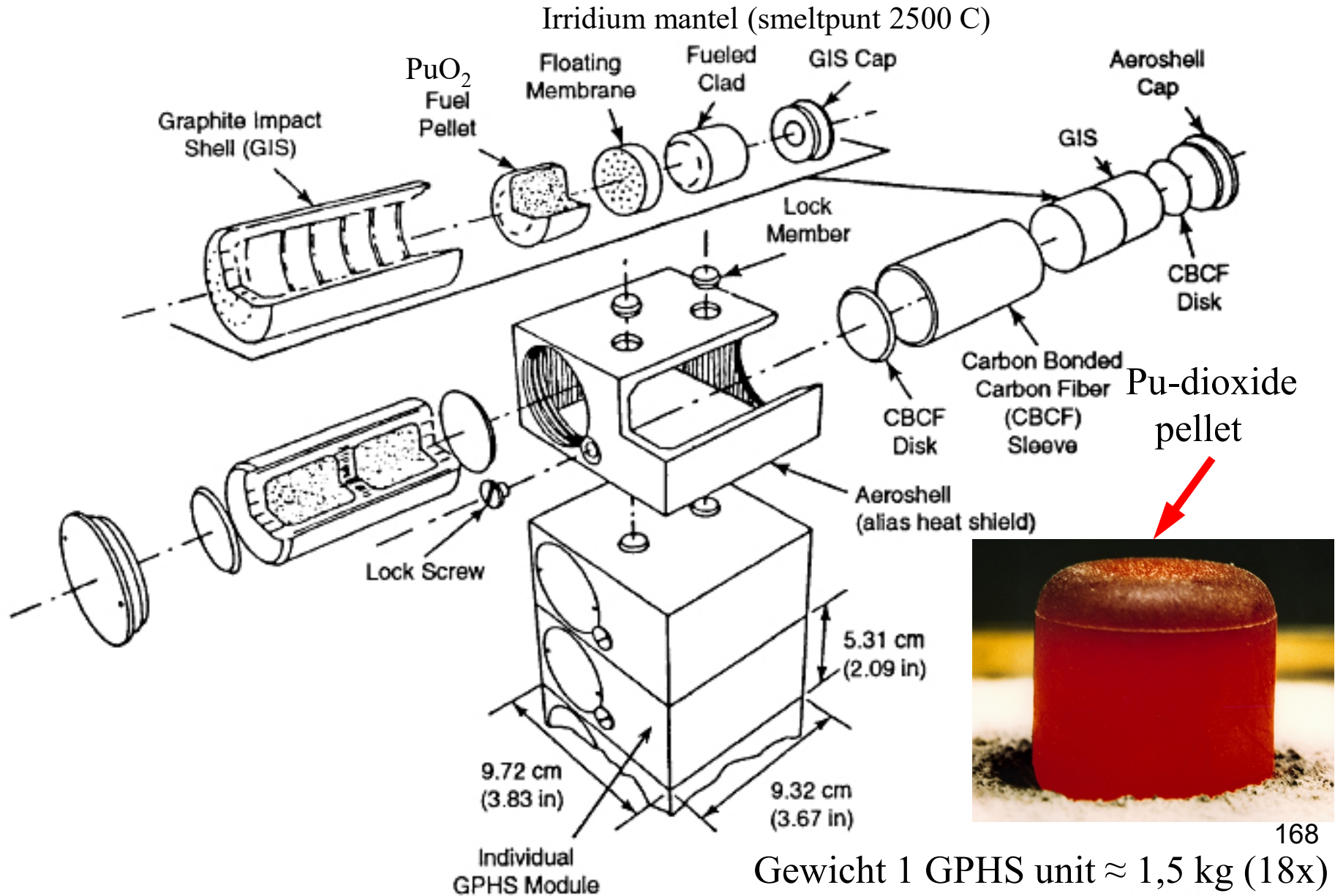
o.a. Pionier ,Voyager, Ulysses, Galileo, Cassini, Pluto/Kuiper Belt fly-by

Warmtebron: radioactief verval $^{238}\text{Pu} \rightarrow \alpha \rightarrow ^{234}\text{U}$, hw. tijd 87,8 jaar,
Thermisch vermogen 4300 W \rightarrow elektrisch vermogen 300 W ($\epsilon \approx 7\%$)

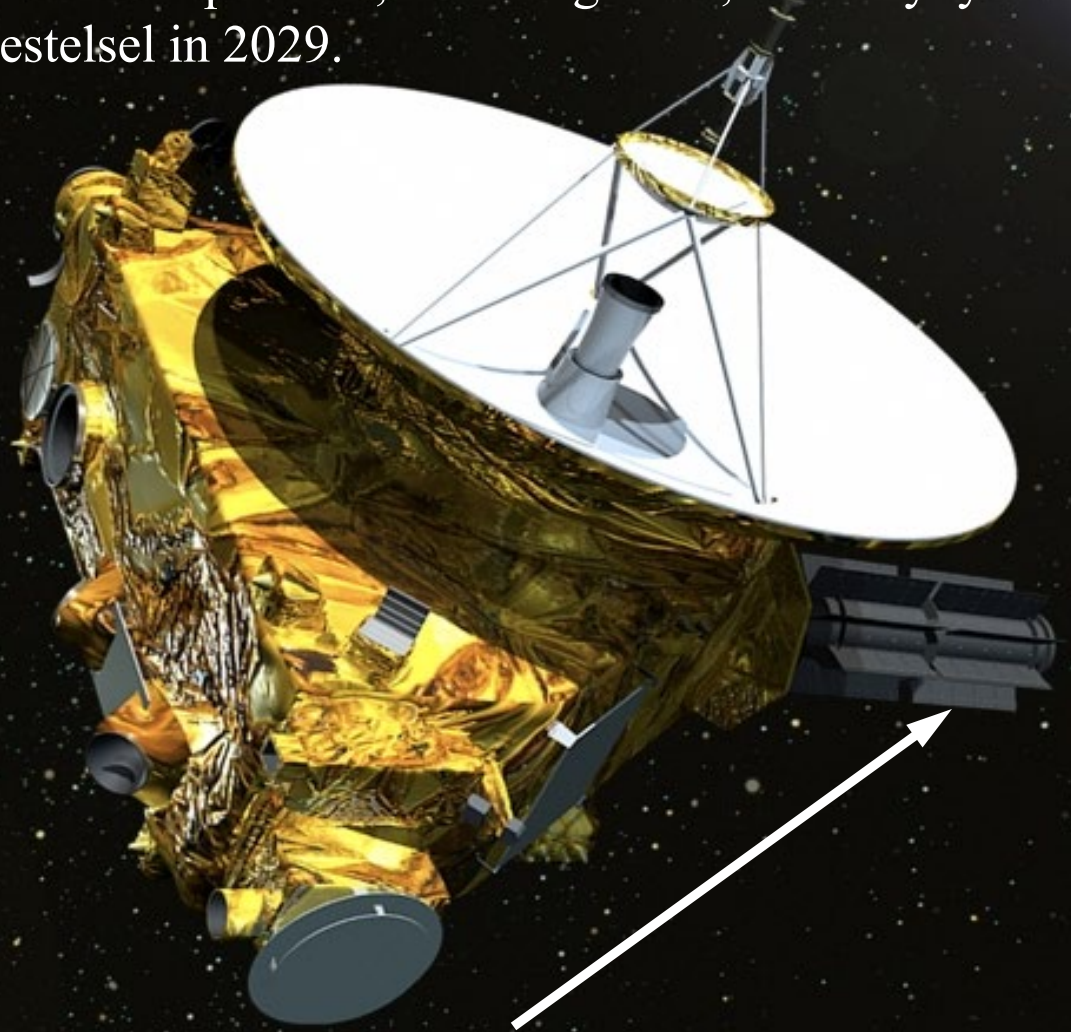


(Thermoelectric devices, Seebeck effect in thermocouple)

Opbouw General Purpose Heat Source element in RTG



New Horizons naar Pluto/Charon en Kuiper Belt, lancering 2006, Pluto flyby 2015, Kuiper Belt 2019. Verlaat zonnestelsel in 2029.



RTG New Horizons:
240 W, 30V bij lancering in januari 2006
verlies 5%/4 jaar → 210 W tijdens flyby
Pluto systeem, ≈ 11 kg PuO_2 , geen batterijen.

New Horizons: Integrated System Test in the clean room



Juno mission naar Jupiter (lancering augustus 2011), zonnepanelen 60 m².
Grootste array ooit voor Deep Space.

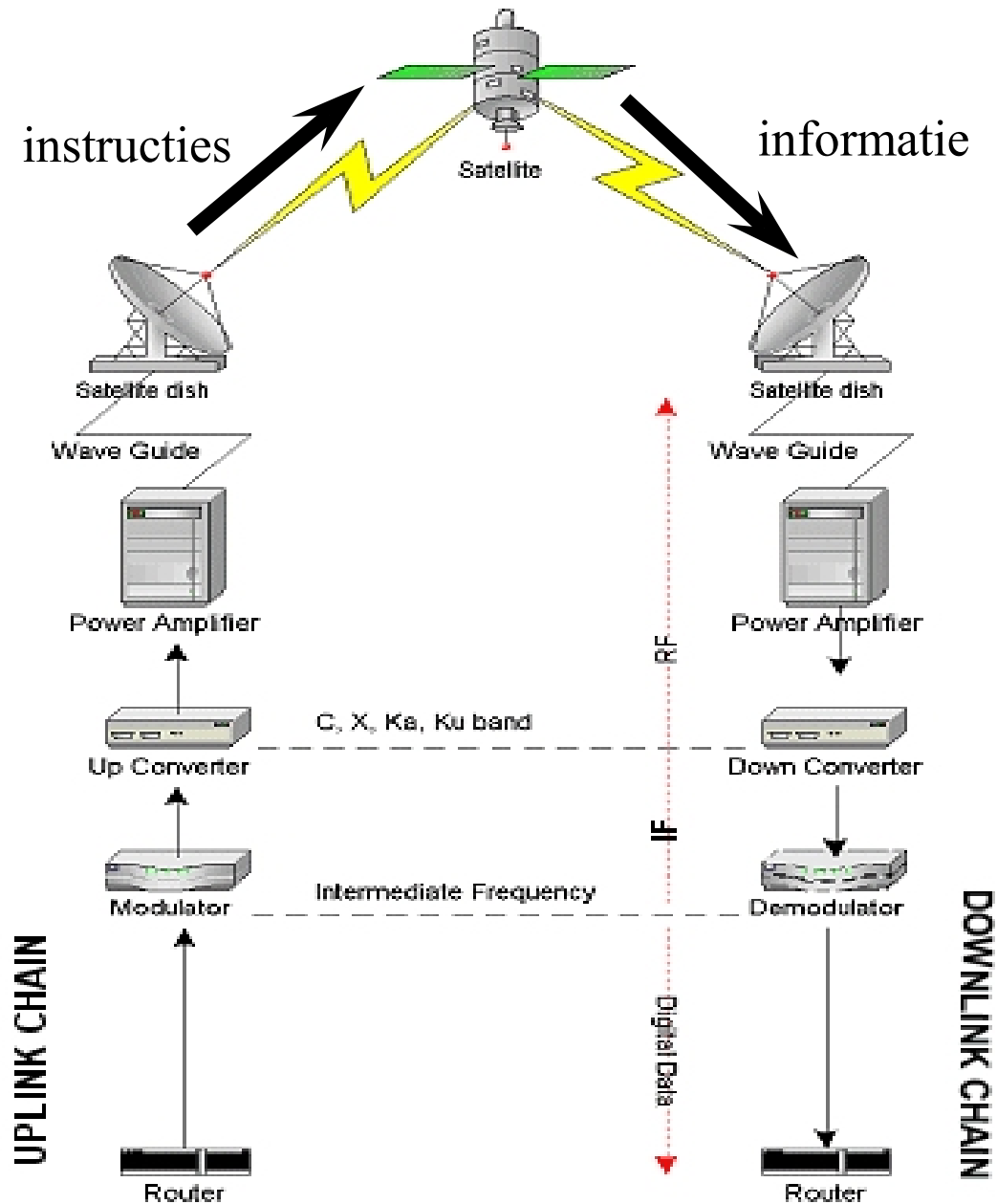


Stralingsvermogen Zon: bij Jupiter 4% t.o.v. Aarde.
Electrisch vermogen ≈ 500 W \downarrow 400 W EOL, in aardbaan ≈ 13 kW.

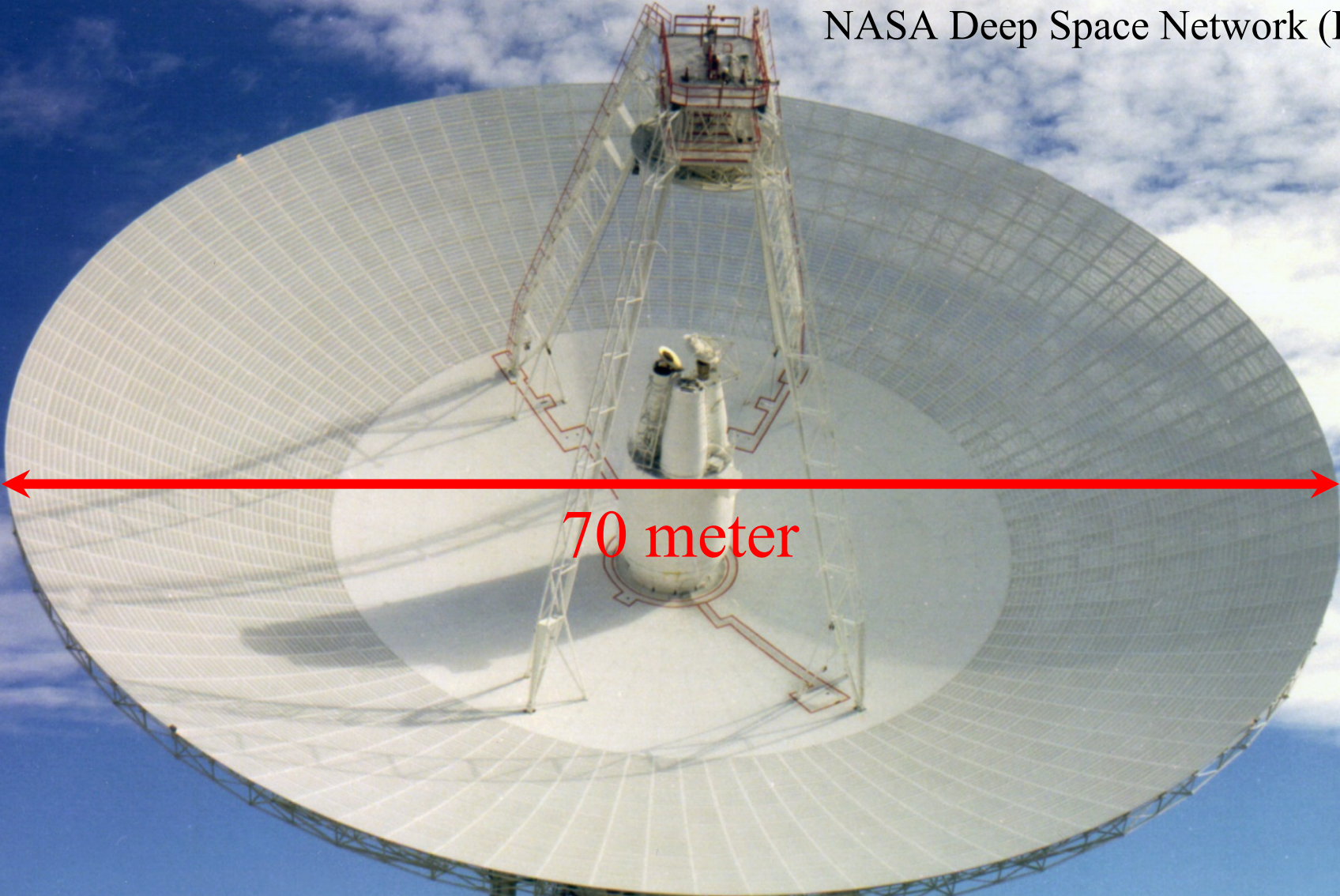
Operatie/Exploitatie

- Grondstation
 - Up link : Commando's en Instructies
 - Down link : Gegevensstroom
- Gegevensopslag,-bewerking,-archivering
- Gebruikersaansluiting
- Training

Telemetrie/Telecommando keten



NASA Deep Space Network (DSN)



Goldstone Mojave desert